

Thèse
présentée à
l'Université de Provence
pour obtenir le grade de
docteur ès sciences physiques

par

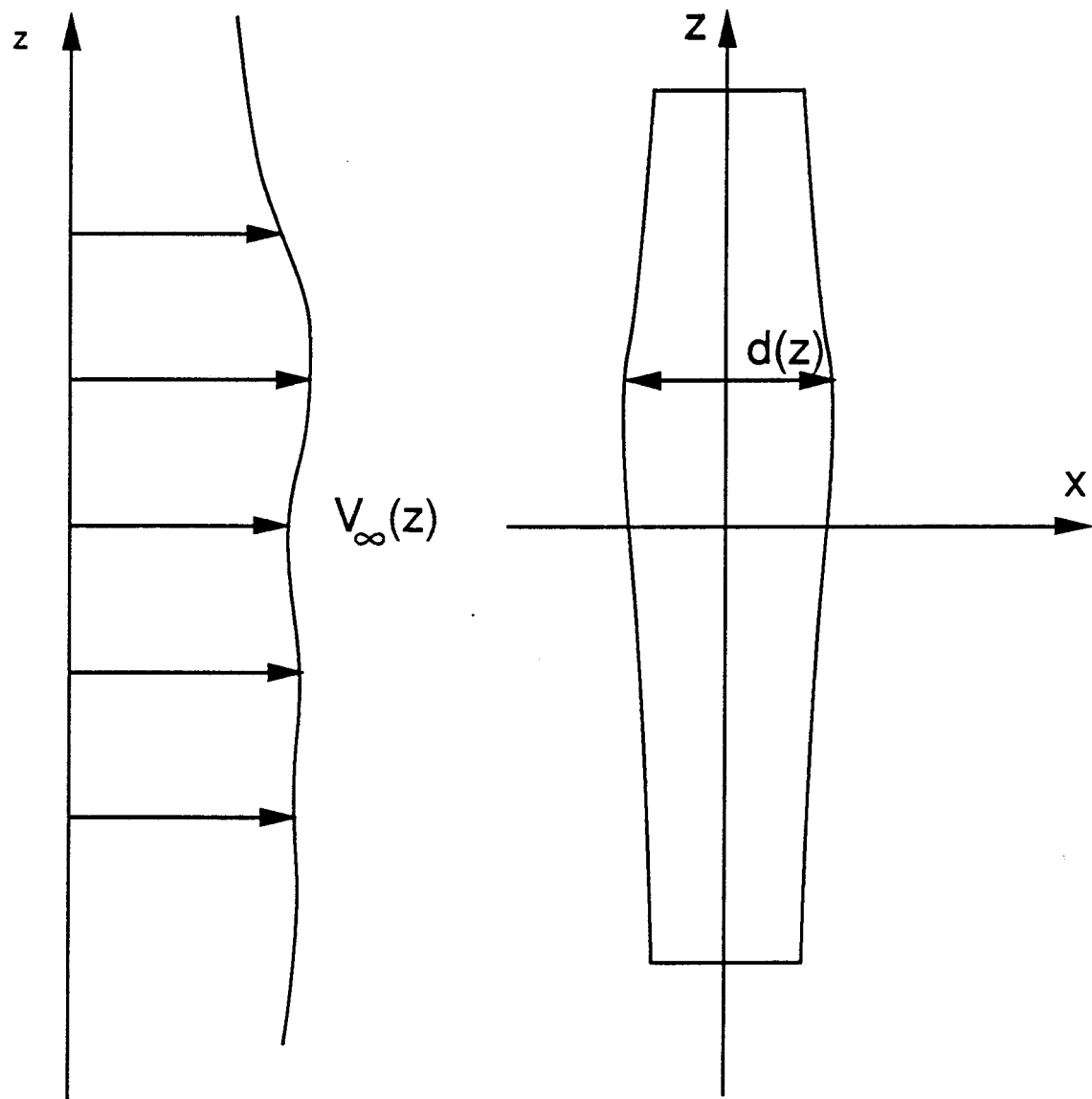
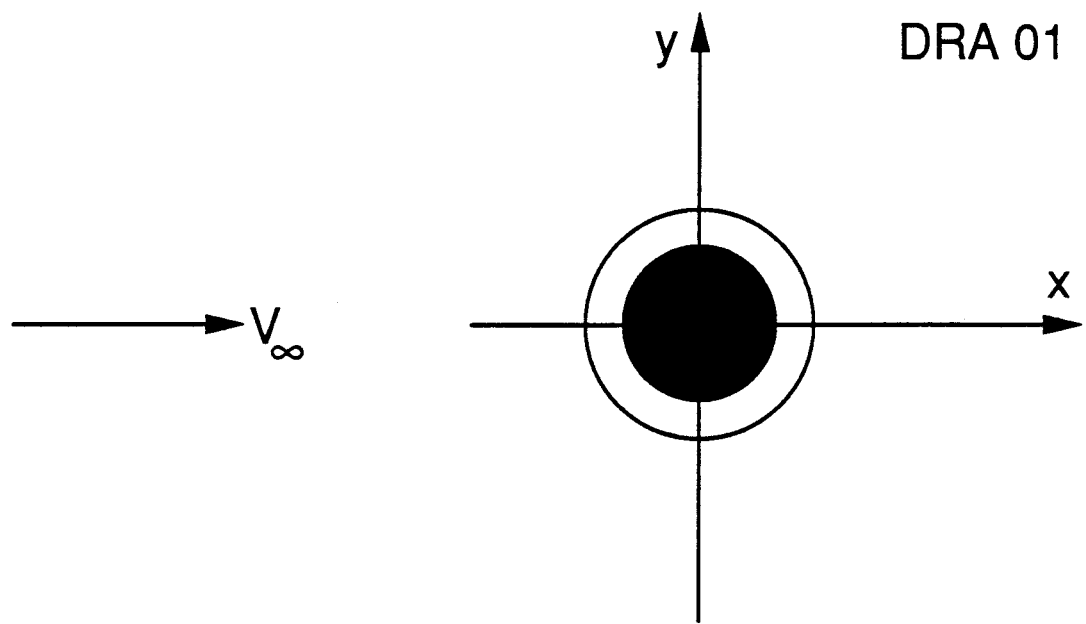
Pierre Albarède

**SELF-ORGANIZATION IN THE
3D WAKES OF BLUFF BODIES**

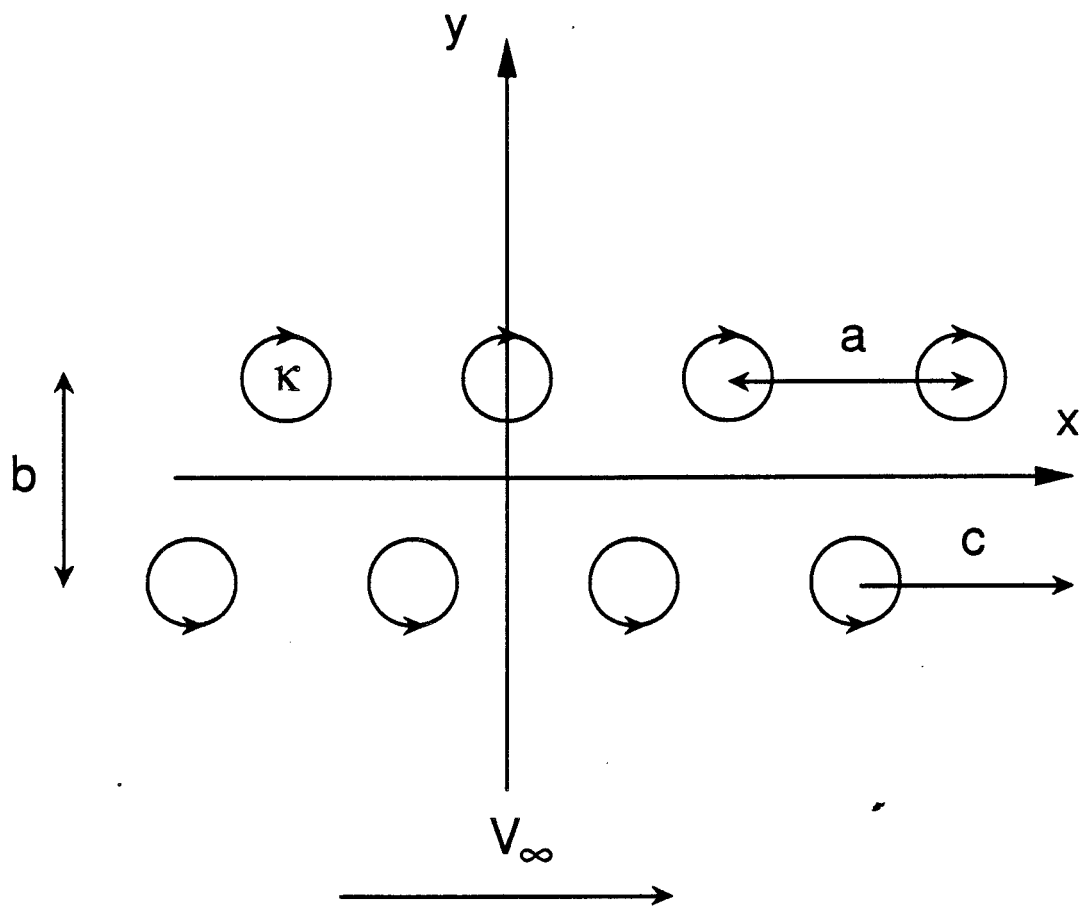
**AUTO-ORGANISATION DANS
LE SILLAGE 3D D'UN
OBSTACLE NON PROFILE**

tome 3: figures

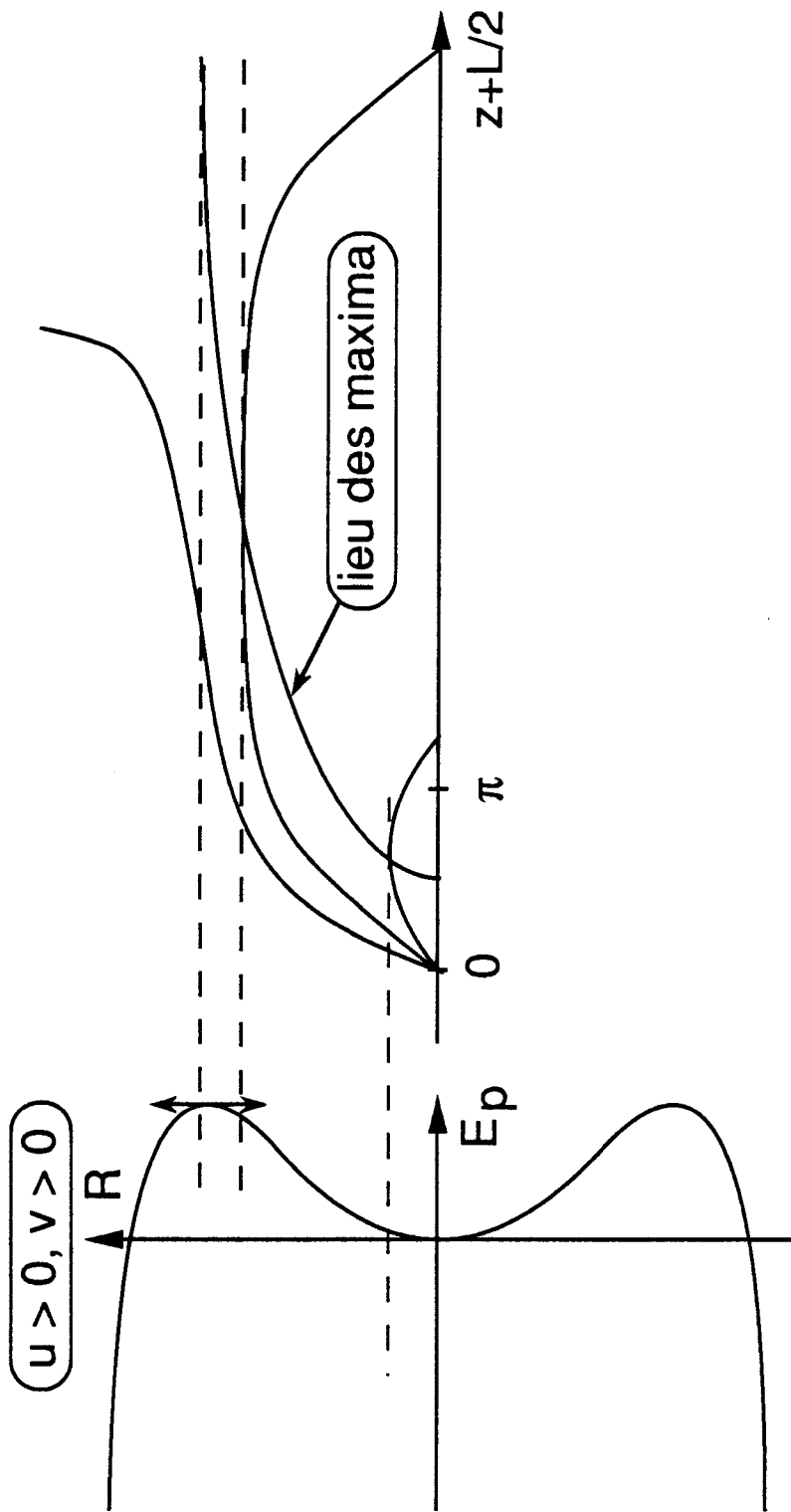
DRA 01 - 04
EXP 01 - 19
NUM 01 - 23
HT 01 - 21



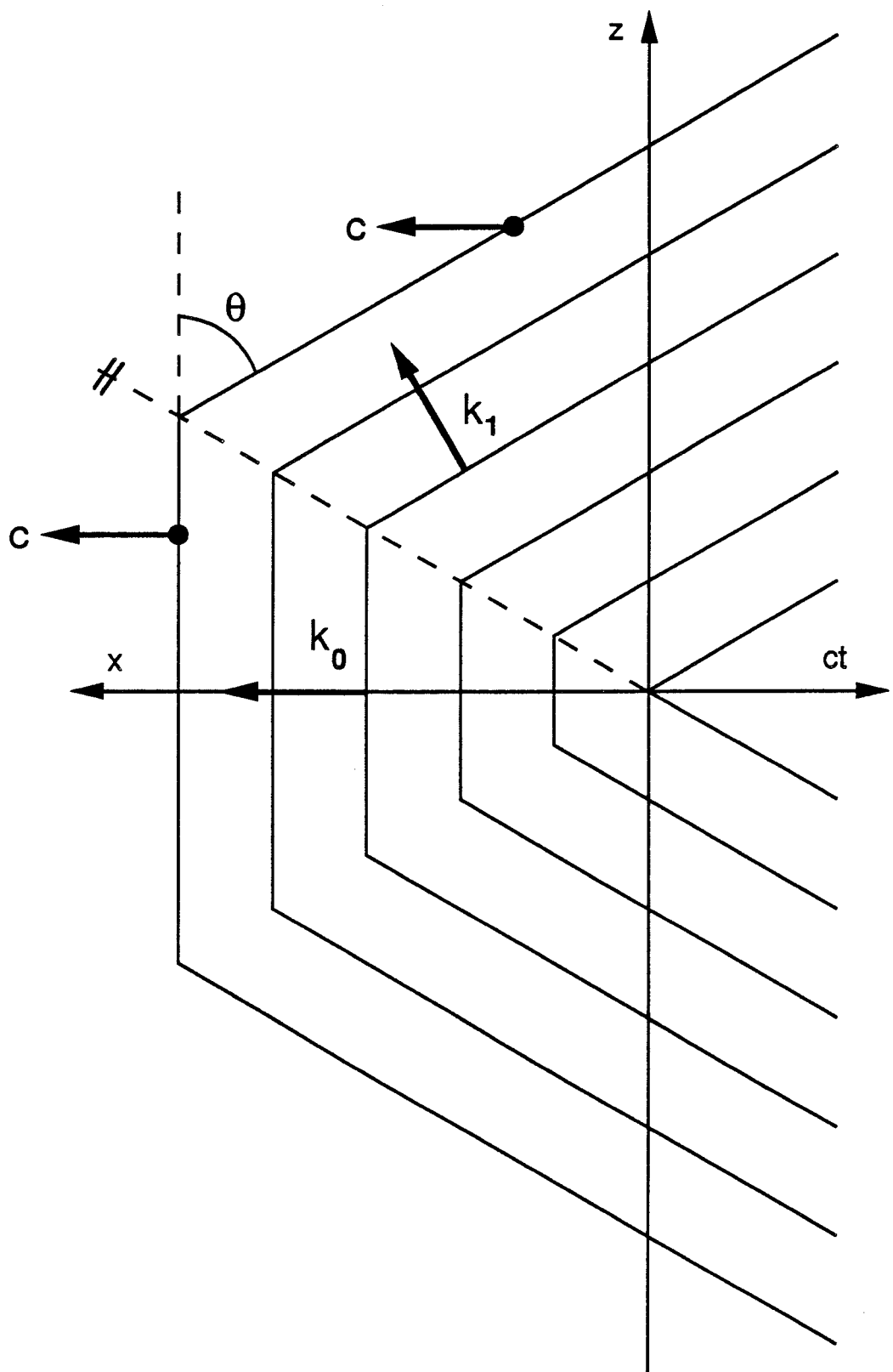
DRA 02



DRA 03



DRA 04



EXP 01: critical Reynolds number Re_1 versus $L_R = L/d$

Constant $L = 10$ cm, variable d , end plate fetch $F = 15$ cm, no blockage correction for Re . Data from Mathis (ref.).

EXP 02, EXP 03:

critical Reynolds number Re_1 versus $q_1 R^2 = (\pi/(L/d))^2$

Constant $L = 10$ cm, variable d , end plate fetch $F = 15$ cm, no blockage correction for Re . Data from Mathis (ref.).

EXP 01: nombre de Re critique Re_1 en fonction de $L_R = L/d$

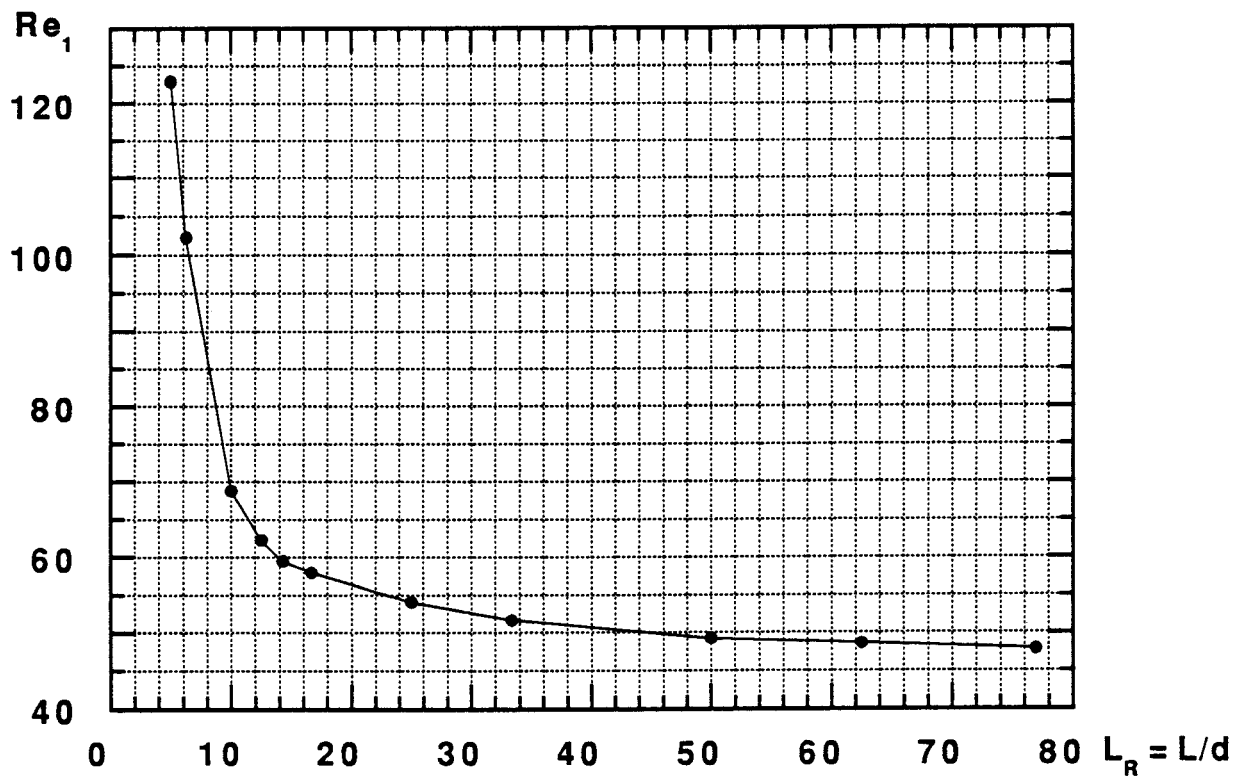
Longueur constante $L = 10$ cm, d variable, fetch des plaques de bout $F = 15$ cm, pas de correction de l'effet de blocage sur Re . Données de Mathis (réf.).

EXP 02, EXP 03:

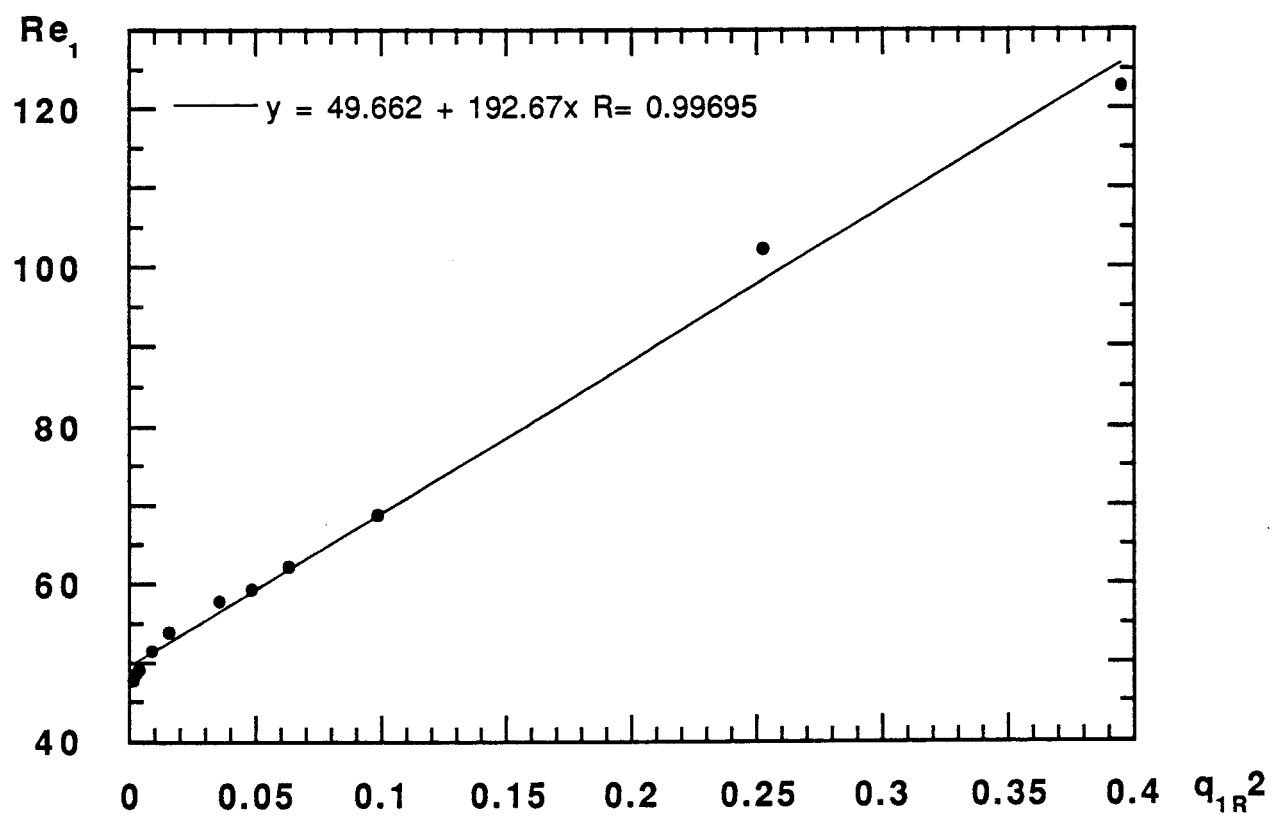
nombre de Re critique Re_1 en fonction de $q_1 R^2 = (\pi/(L/d))^2$

Longueur constante $L = 10$ cm, d variable, fetch des plaques de bout $F = 15$ cm, pas de correction de l'effet de blocage sur Re . Données de Mathis (réf.).

EXP 01



EXP 02



EXP 04: critical Reynolds number Re_1 versus $q_1 R^2 = (\pi/(L/d))^2$

Variable L, constant d = 1.6 mm, end plate fetch F = 20 mm.

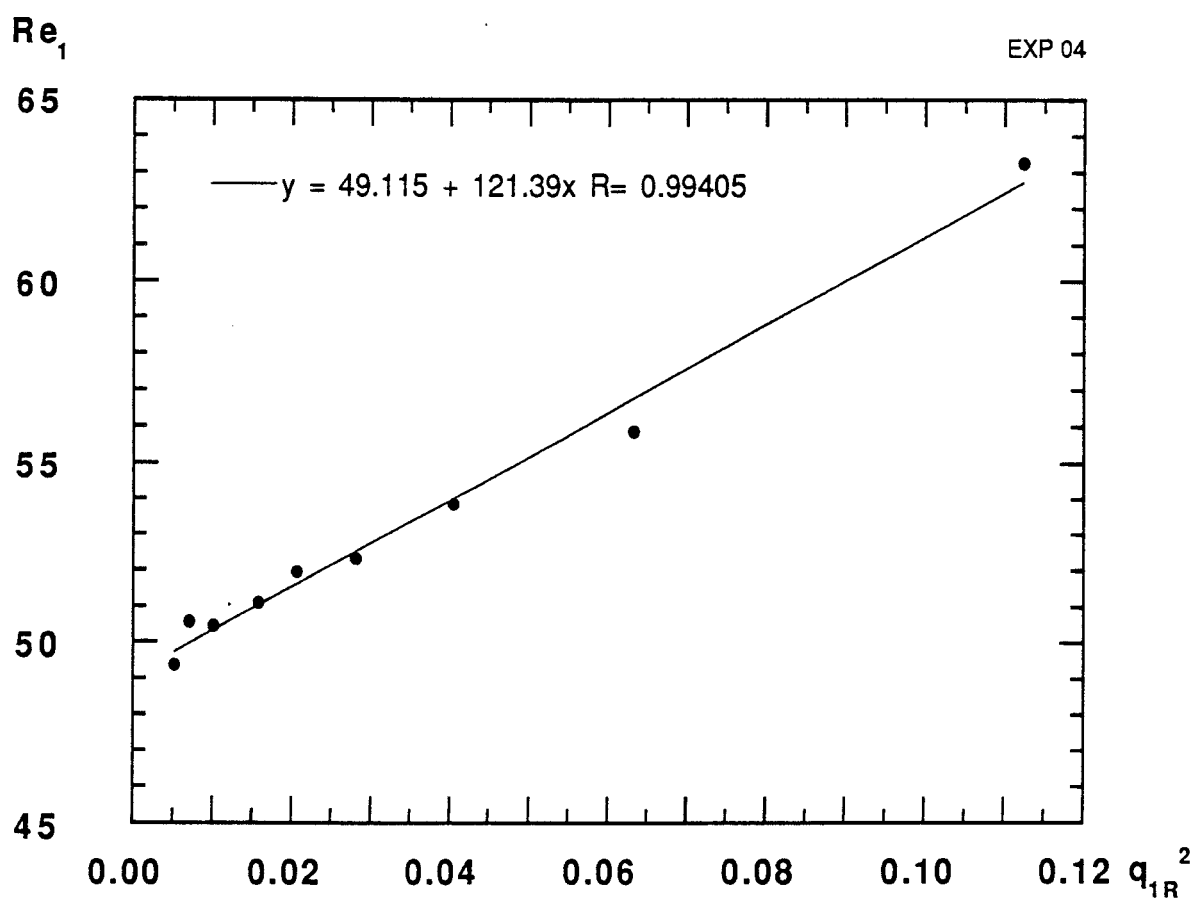
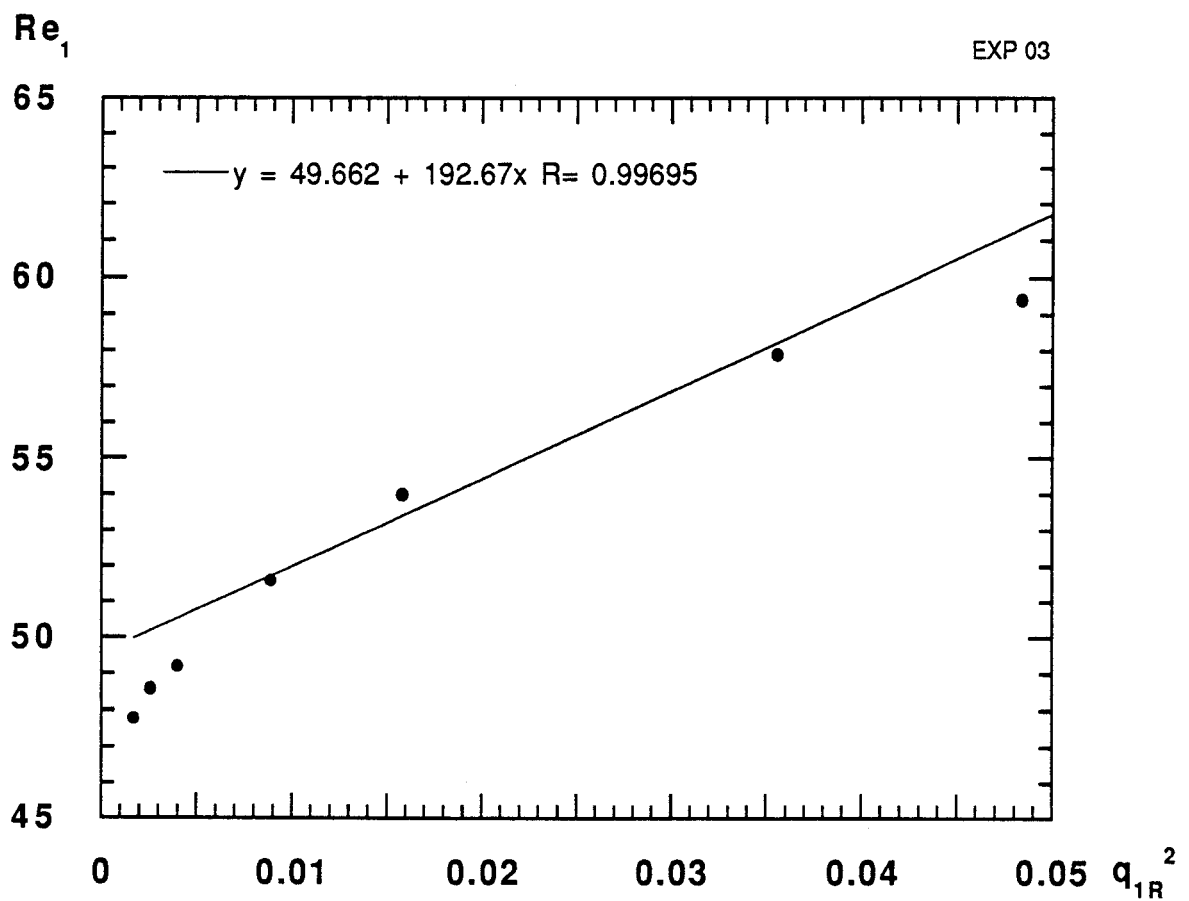
Data from Albarède (28/2/90).

EXP 04:

nombre de Reynolds critique Re_1 en fonction de $q_1 R^2 = (\pi/(L/d))^2$

L variable, constant d = 1.6 mm, fetch des plaques de bout F = 20 mm.

Données d'Albarède (28/2/90).



EXP 05: critical Reynolds number Re_1 versus $q_1 R^2 = (\pi/(L/d))^2$

Variable L, constant d = 1.6 mm, end plate fetch F = 20 mm. Here, each threshold is determined by extrapolating a (linear) energy-Re relation.

Data from Albarède (28/2/90).

EXP 06, EXP 07, EXP 08:

**time trajectories in the plane (energy, frequency),
following an instant velocity shift**

Constant L = 10 cm, variable d, end plate fetch F = 15 cm. Re-Re₁ = 6.5, 8., 22.6, Re₁ = 58, 69, 102. Data from Provansal (ref. 2).

EXP 05:

nombre de Reynolds critique Re_1 en fonction de $q_1 R^2 = (\pi/(L/d))^2$

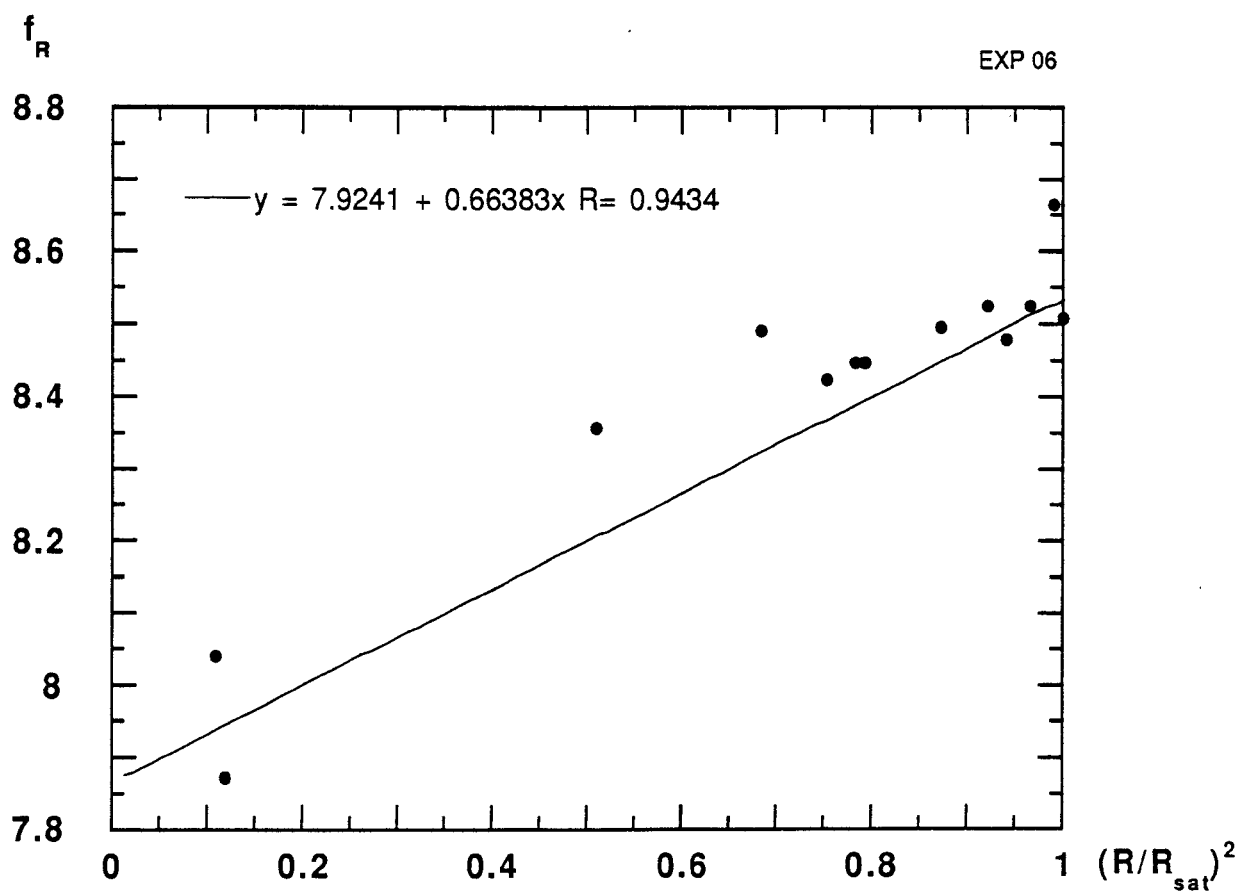
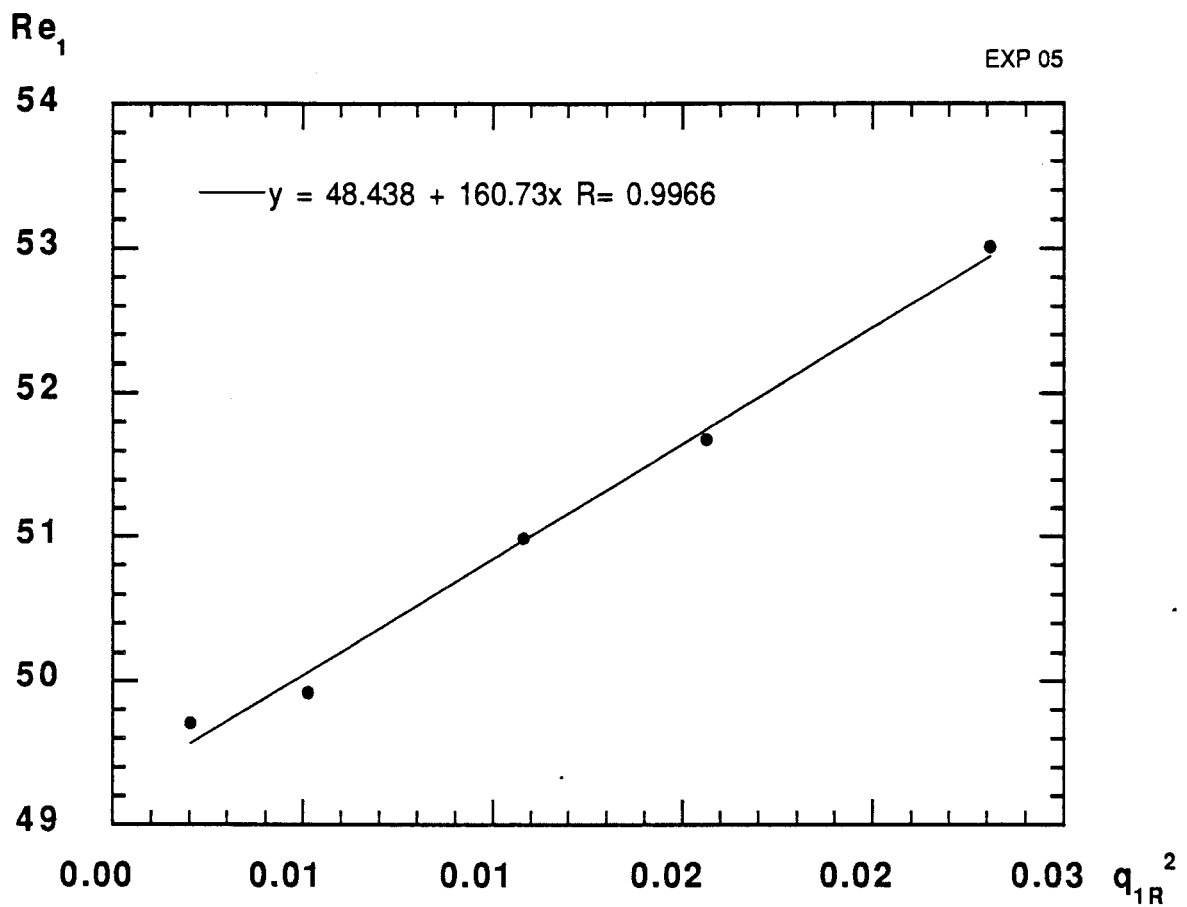
L variable, constant d = 1.6 mm, fetch des plaques de bout F = 20 mm. Ici, chaque seuil est déterminé par l'extrapolation de la relation (linéaire) énergie-Re.

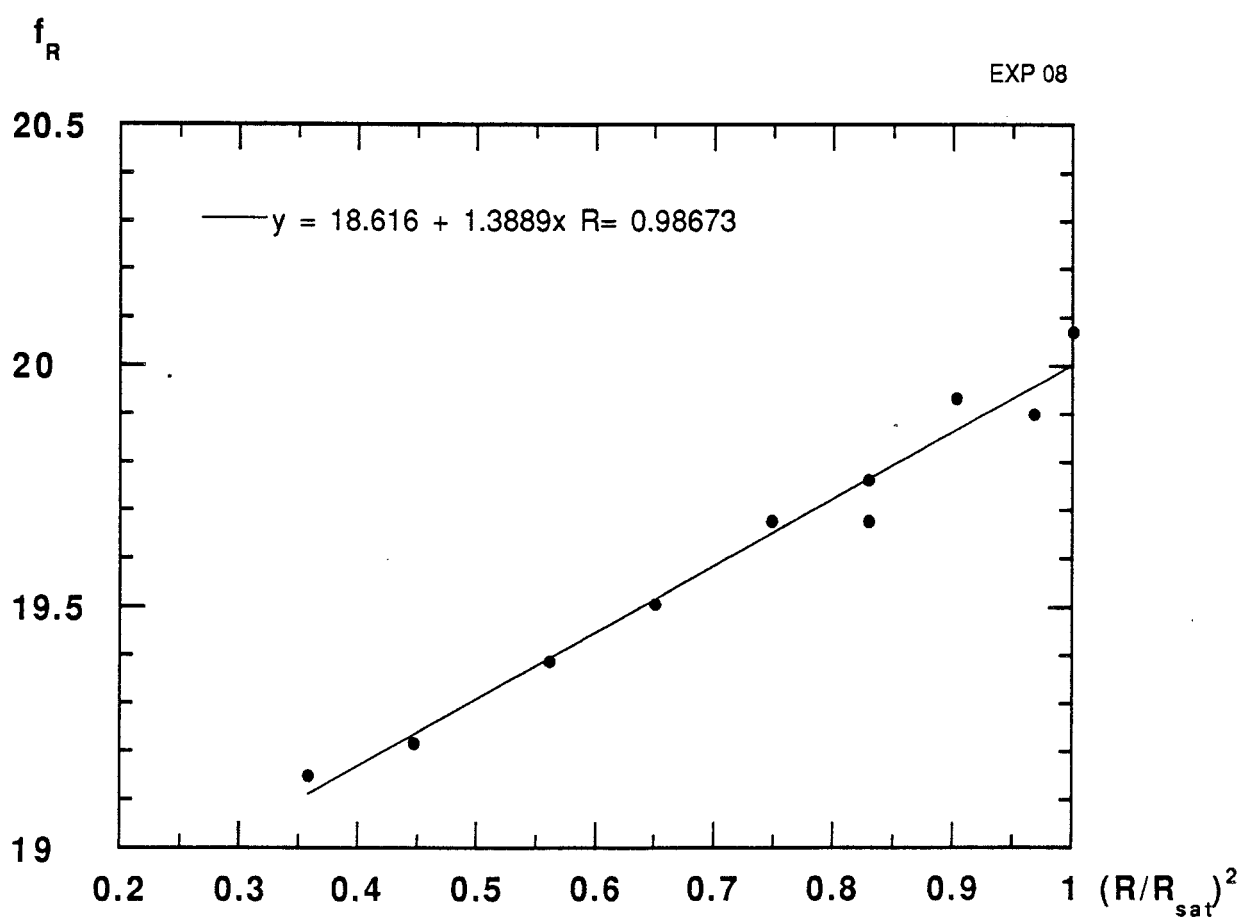
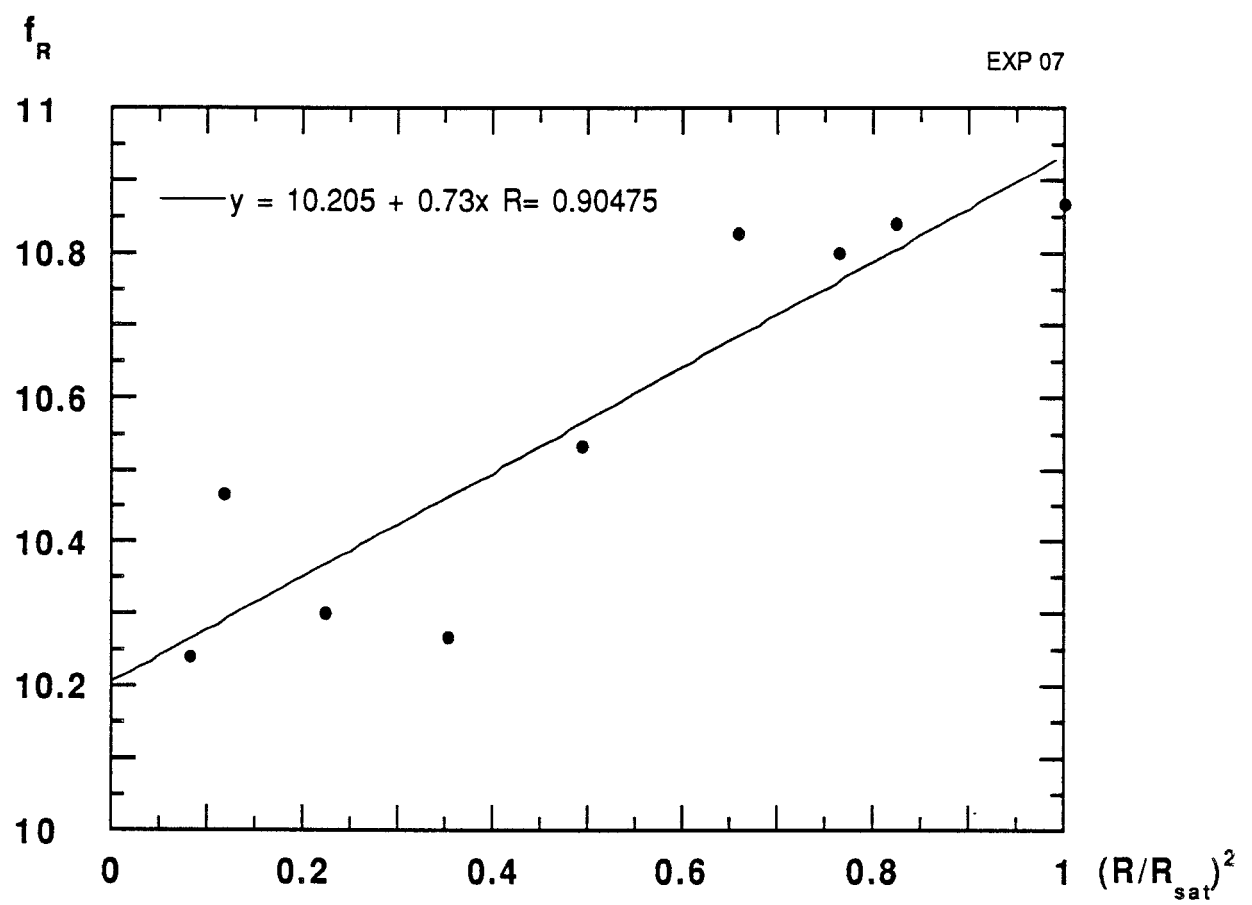
Données d'Albarède (28/2/90).

EXP 06, EXP 07, EXP 08:

**trajectoires temporelles dans le plan (énergie, fréquence),
à la suite d'une variation instantanée de vitesse**

Longueur constante L = 10 cm, d variable, fetch des plaques de bout F = 15 cm. Re-Re₁ = 6.5, 8., 22.6, Re₁ = 58, 69, 102. Données de Provansal (réf. 2).





**EXP 09: the first mode quasi-linear frequency versus
 $q_1 R^2 = (\pi/(L/d))^2$ at $Re = 55$**

Variable L, constant d = 1.6 mm, end plate fetch F = 20 mm.

Data from Albarède (5/3/90).

EXP 10: onset frequency versus $q_1 R^2 = (\pi/(L/d))^2$

Variable L, constant d = 1.6 mm, end plate fetch F = 20 mm. Each onset frequency is determined by extrapolating the frequency-Re relation.

Data from Albarède (7/3/90).

**EXP 09: fréquence quasi-linéaire du premier mode en fonction de
 $q_1 R^2 = (\pi/(L/d))^2$ à $Re = 55$**

L variable, constant d = 1.6 mm, fetch des plaques de bouts F = 20 mm.

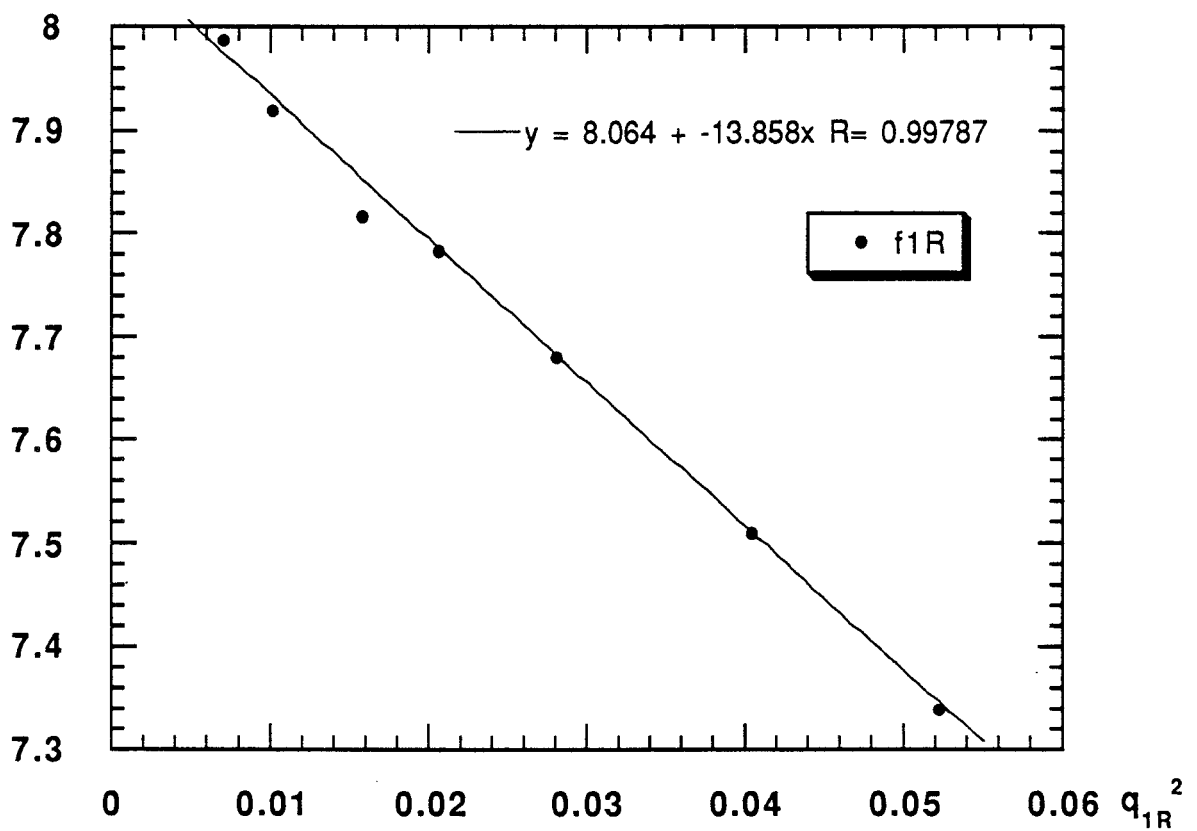
Données d'Albarède (5/3/90).

EXP 10: fréquence au seuil en fonction de $q_1 R^2 = (\pi/(L/d))^2$

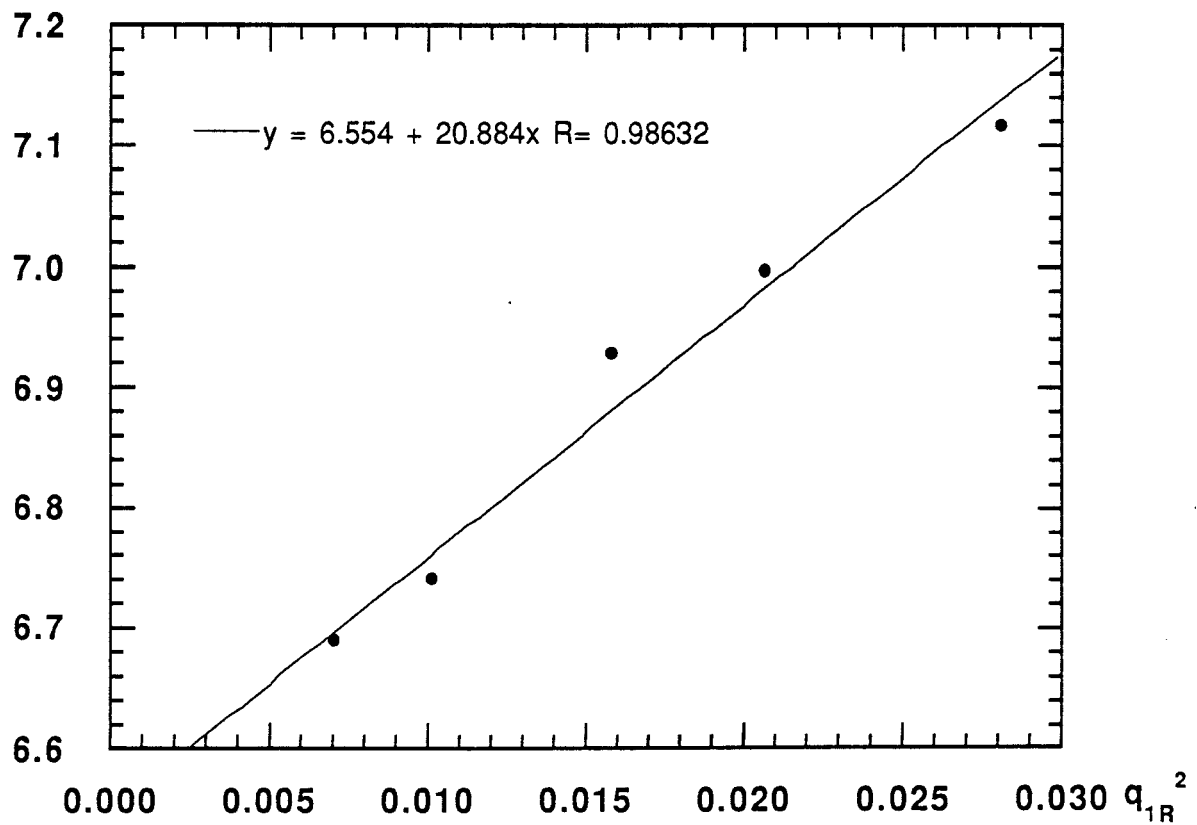
L variable, constant d = 1.6 mm, fetch des plaques de bouts F = 20 mm. Chaque fréquence au seuil est déterminée par extrapolation de la relation fréquence-Re.

Données d'Albarède (7/3/90).

EXP 09

 f_{1cR}

EXP 10



EXP 11: $\lambda_0 f_0^2$ versus Re at high aspect ratio $L_R = L/d$

This quantity is identified to $4\pi \mu_r (c_1 - c_2)$, through the symmetry law, in formula (4.2.\$6). Data from Williamson (ref. 2).

EXP 12: first and second mode critical Reynolds numbers versus $L_R = L/d$

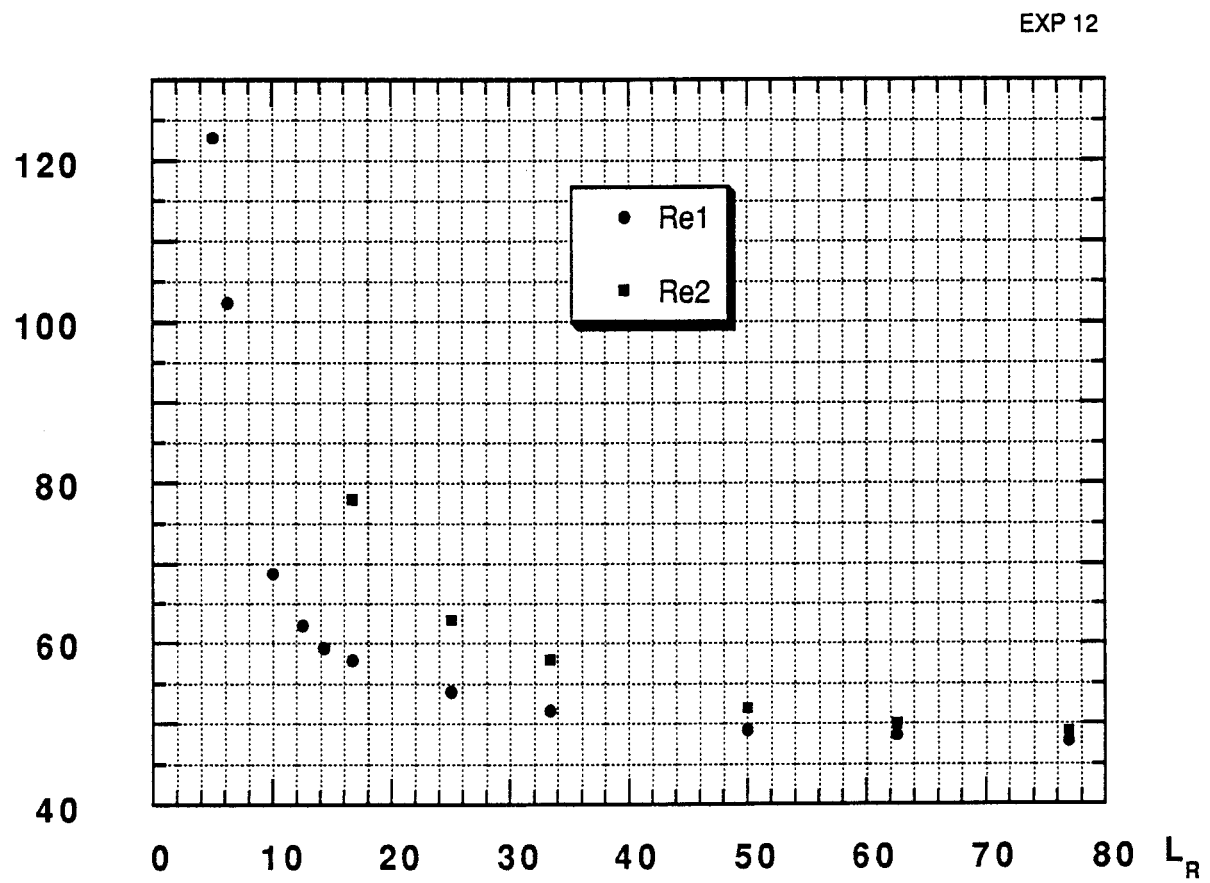
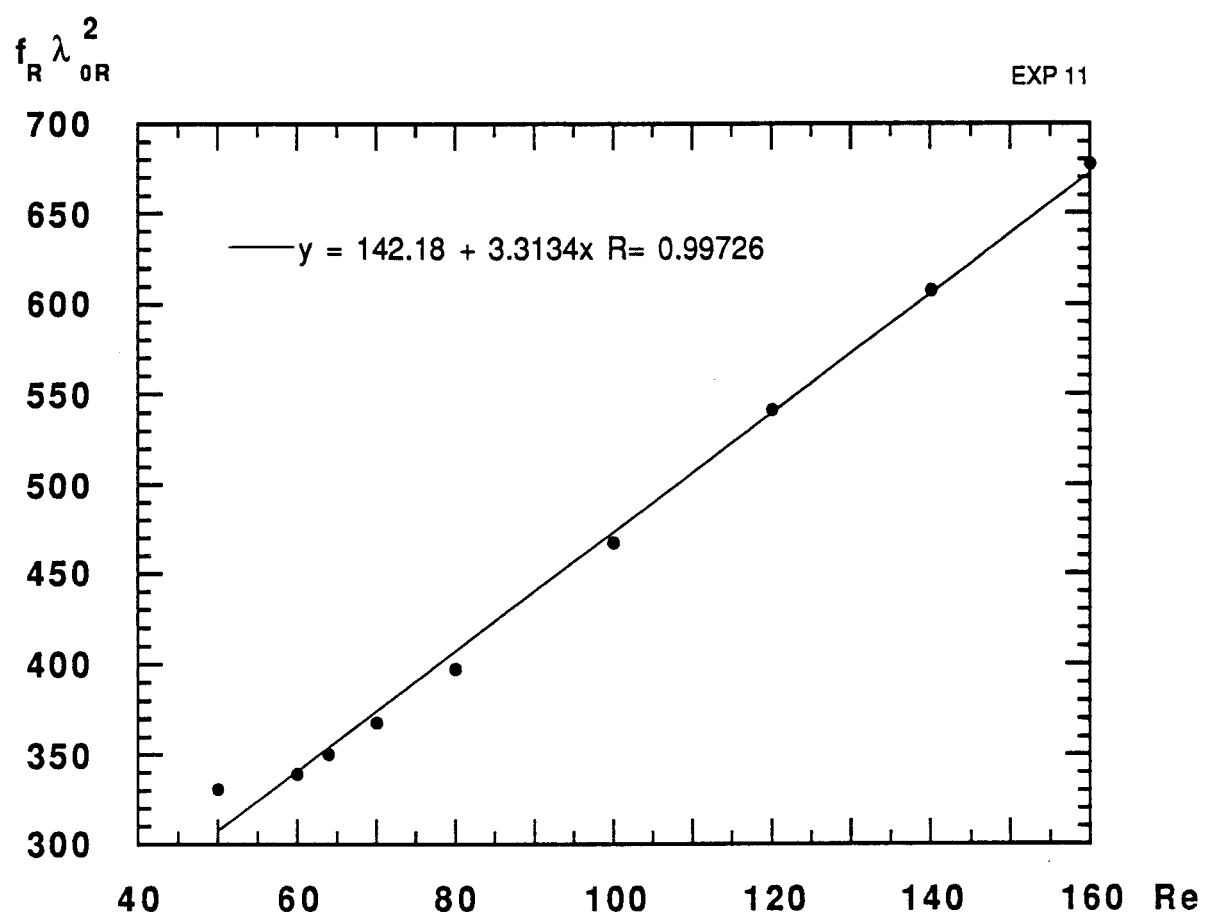
Constant $L = 10$ cm, variable d , end plate fetch $F = 15$ cm, no blockage correction for Re. Data from Mathis (ref.).

EXP 11: $\lambda_0 f_0^2$ en fonction de Re à grand rapport d'aspect $L_R = L/d$

Cette quantité est identifiée à $4\pi \mu_r (c_1 - c_2)$, par l'intermédiaire de la loi de symétrie, dans la formule (4.2.\$6). Données de Williamson (réf. 2).

EXP 12: nombres de Reynolds critiques des premier et deuxième modes en fonction de $L_R = L/d$

Longueur constante $L = 10$ cm, d variable, fetch des plaques de bout $F = 15$ cm, pas de correction de l'effet de blocage sur Re. Données de Mathis (réf.).



EXP 13: second mode critical Reynolds numbers versus

$$q_2 R^2 = (2\pi/(L/d))^2$$

Constant L = 10 cm, variable d, end plate fetch F = 15 cm, no blockage correction for Re. Data from Mathis (ref.).

EXP 14: first mode critical $q_1 R^2 = (\pi/(L/d))^2$ and

second mode critical $q_2 R^2 = (2\pi/(L/d))^2$ versus Re

The line labeled "expected" is the linear theory prediction (for both modes) with $\mu_r = 32 \nu$ and $Re_0 = 48.4$ (drawn from EXP 05). The markers represent miscellaneous experimental results. Variable L, constant d = 1.6 mm, end plate fetch F = 20 mm. Data from Albarède (3, 6, 7/3/90).

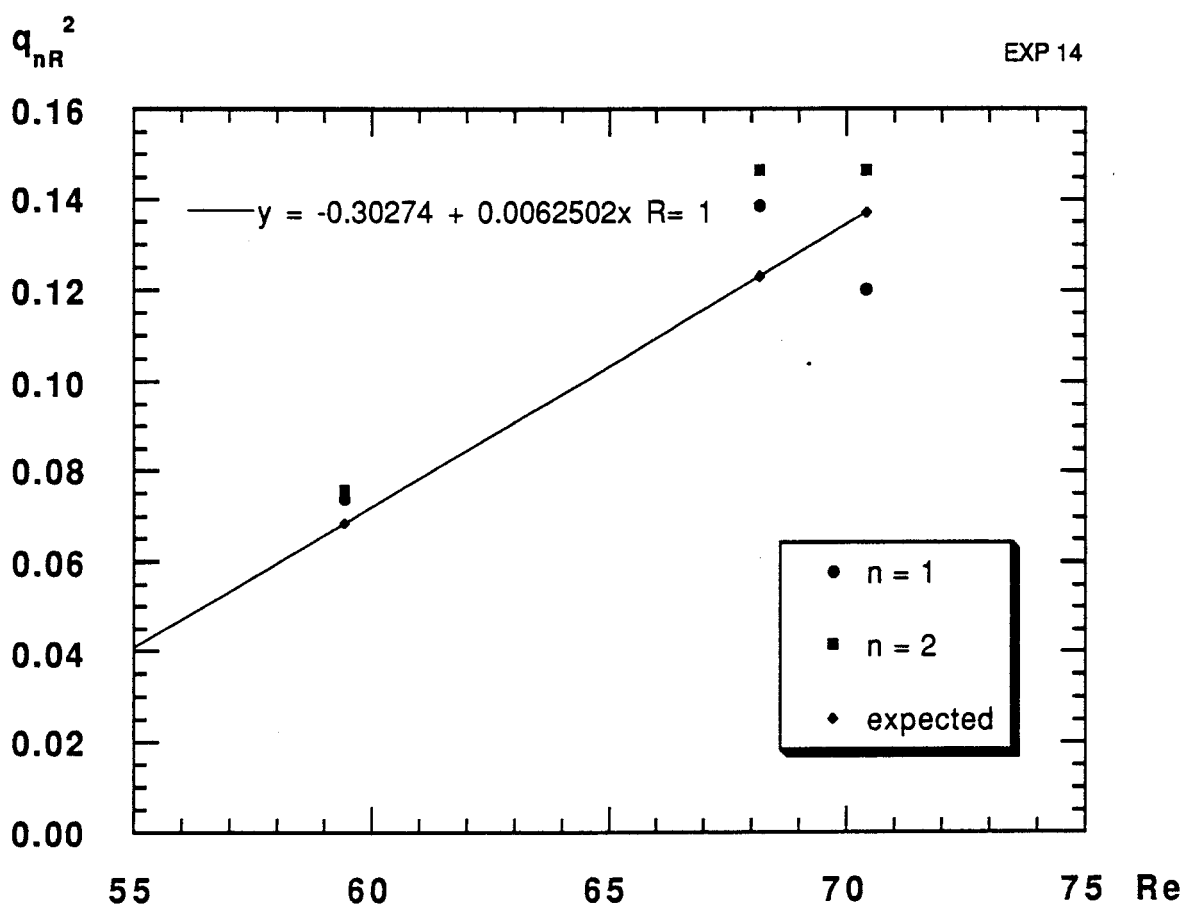
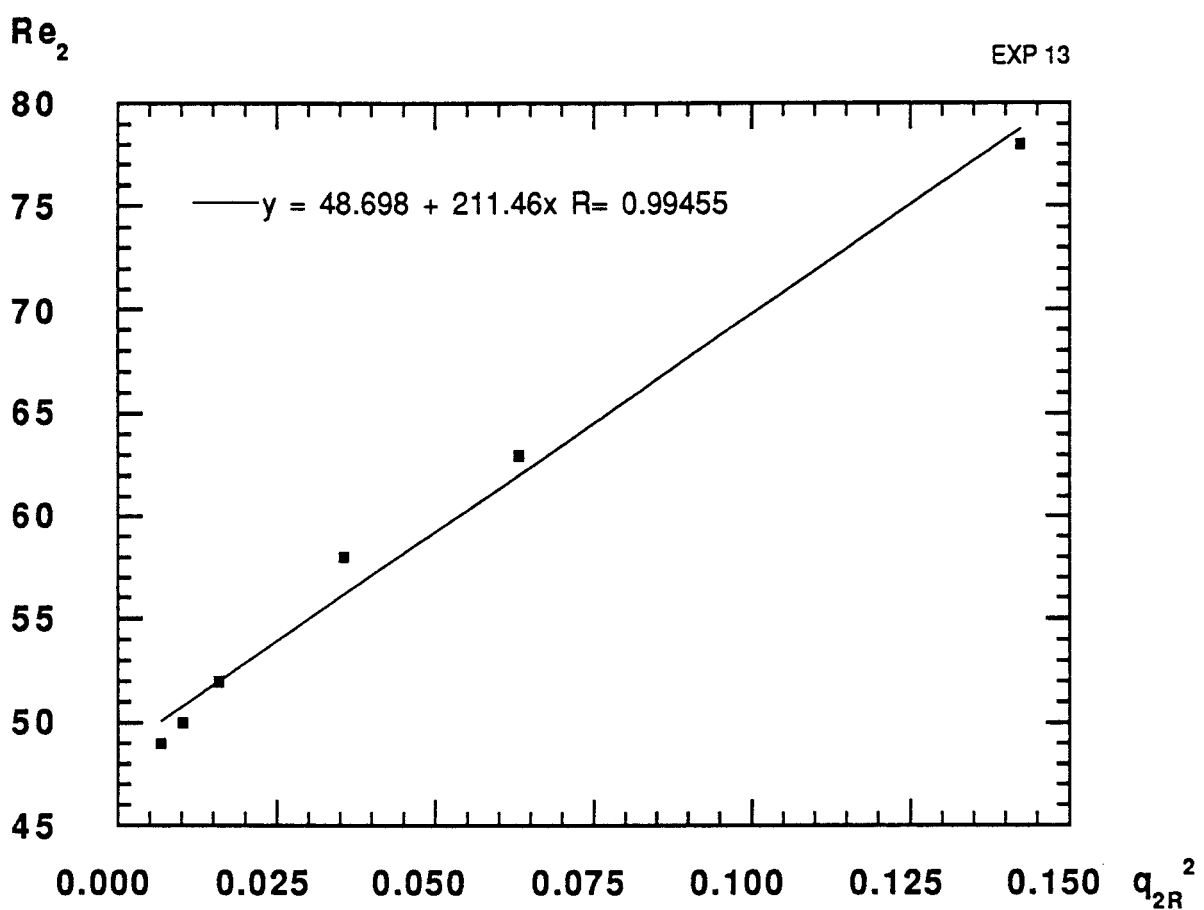
EXP 13: nombre de Reynolds critique du deuxième mode en fonction de $q_2 R^2 = (2\pi/(L/d))^2$

Longueur constante L = 10 cm, d variable, fetch des plaques de bout F = 15 cm, pas de correction de l'effet de blocage pour Re. Données de Mathis (réf.).

EXP 14: $q_1 R^2 = (\pi/(L/d))^2$ au seuil du premier mode et

$q_2 R^2 = (2\pi/(L/d))^2$ au seuil du deuxième mode en fonction de Re

La ligne étiquetée "expected" est prédite par la théorie linéaire (commune aux deux modes) avec $\mu_r = 32 \nu$ et $Re_0 = 48.4$ (tirés de EXP 05). Les marqueurs représentent différents résultats expérimentaux. L variable, constant d = 1.6 mm, fetch des plaques de bout F = 20 mm. Données d'Albarède (3, 6, 7/3/90).



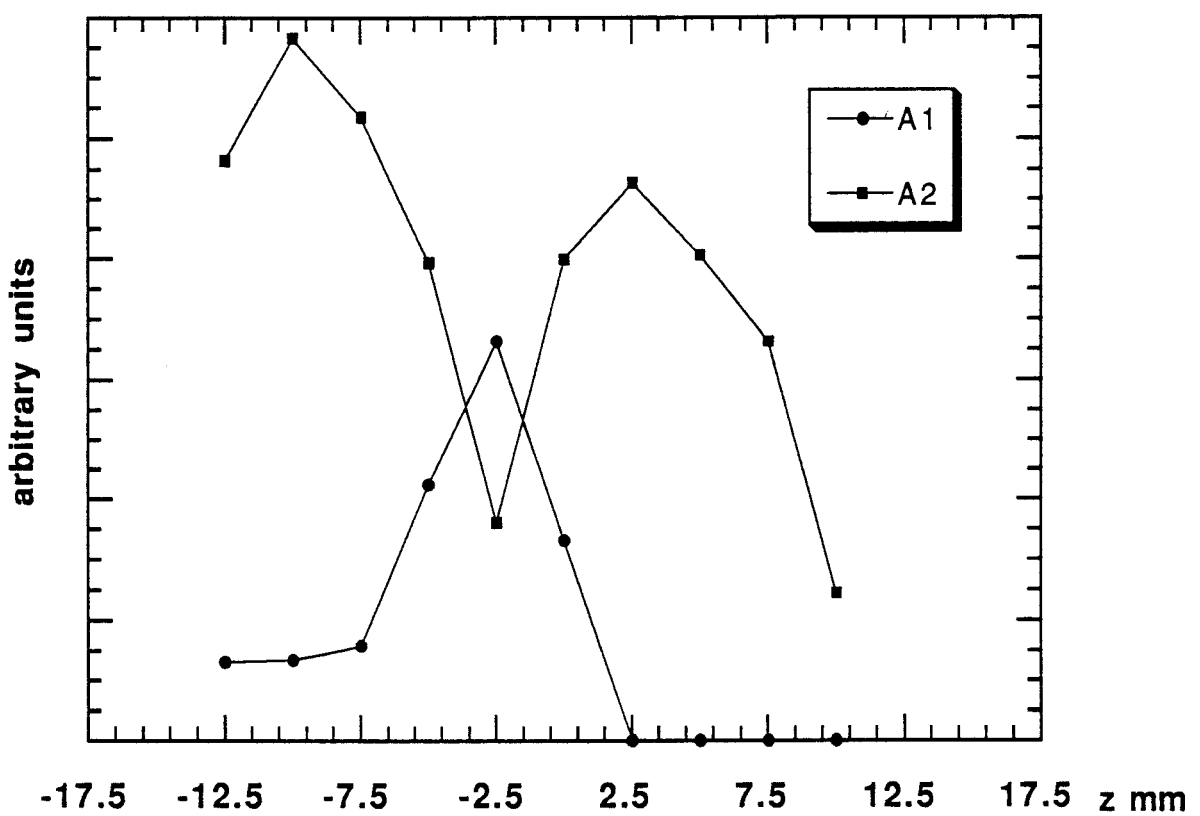
EXP 15: amplitude modulus of first and second modes at $L \approx 1.3 L_2$

L_2 is the critical length of the second mode. The first mode is, of course, globally stronger when $L \rightarrow L_2^+$ and dominates in the bulk when $L \rightarrow \infty$, but it is globally weaker in this intermediary situation. It might go unnoticed in a flow visualization. $d = 1.6$ mm, end plate fetch $F = 20$ mm, $Re = 70$. Data from Albarède (7/3/90).

EXP 15: module de l'amplitude des premier et deuxième modes pour $L \approx 1.3 L_2$

L_2 est la longueur critique du deuxième mode. Le premier mode est, bien sûr, globalement le plus intense quand $L \rightarrow L_2^+$ et domine sauf près des bouts quand $L \rightarrow \infty$, mais il est globalement le plus faible dans cette situation intermédiaire. Il pourrait passer inaperçu dans une visualisation de l'écoulement. $d = 1.6$ mm, fetch des plaques de bout $F = 20$ mm, $Re = 70$. Données d'Albarède (7/3/90).

EXP 15



EXP 16: frequencies of both modes versus $L_R = L/d$

For $L_R > 30$, the second mode splits apart into incoherent end cells. The experiment cannot be continued for $L_R > 45$ because the wind tunnel wall boundary layers interfere. Variable L, constant $d = 1.6$ mm, end plate fetch $F = 20$ mm, $Re = 70$. Data from Albarède (7/3/90).

EXP 17: frequencies of both modes versus $q_1 R^2 = (\pi/(L/d))^2$

For $L_R > 30$, the second mode splits apart into incoherent end cells. The experiment cannot be continued for $L_R > 45$ because the wind tunnel boundary layers interfere. Compared with the situation of EXP 09, the first mode frequency is lowered by energy loss, in agreement with $c_2 < 0$. Variable L, constant $d = 1.6$ mm, end plate fetch $F = 20$ mm, $Re = 70$. Data from Albarède (7/3/90).

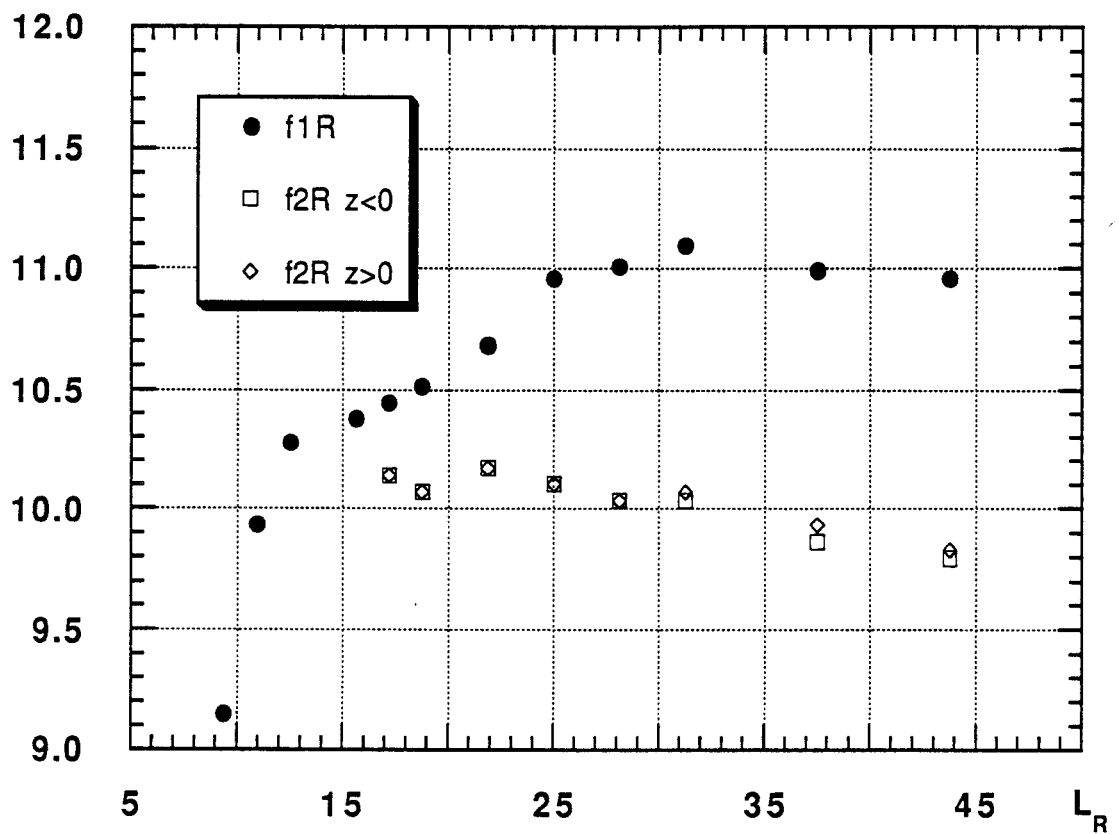
EXP 16: fréquence des deux modes en fonction de $L_R = L/d$

Pour $L_R > 30$, le second mode se divise en cellules incohérentes. L'expérience ne peut pas être poursuivie pour $L_R > 45$ parce que les couches limites des parois de la soufflerie se font sentir. L variable, constant $d = 1.6$ mm, fetch des plaques de bout $F = 20$ mm, $Re = 70$. Données d'Albarède (7/3/90).

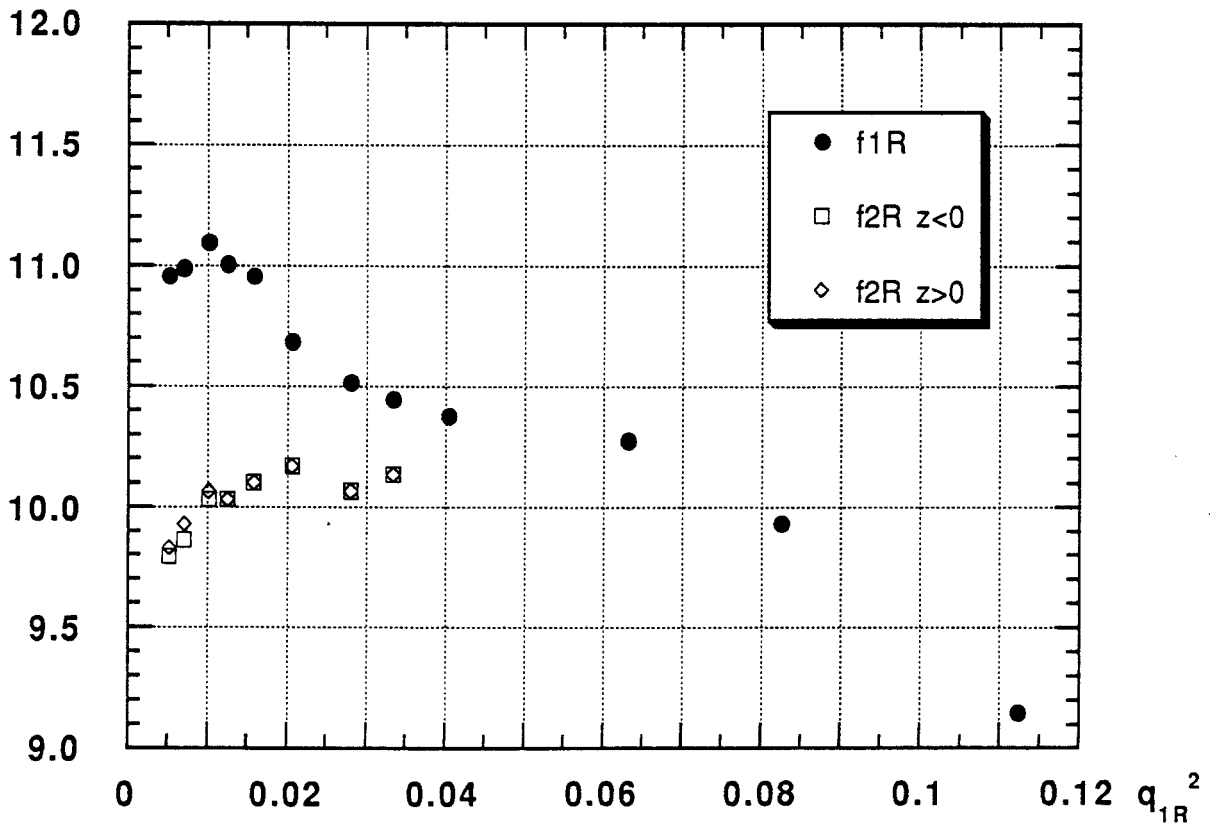
EXP 17: fréquence des deux modes en fonction de $q_1 R^2 = (\pi/(L/d))^2$

Pour $L_R > 30$, le second mode se divise en cellules incohérentes. L'expérience ne peut pas être poursuivie pour $L_R > 45$ parce que les couches limites des parois de la soufflerie se font sentir. Par rapport à EXP 09, le premier mode voit sa fréquence diminuée par la perte d'énergie. L variable, constant $d = 1.6$ mm, fetch des plaques de bout $F = 20$ mm, $Re = 70$. Données d'Albarède (7/3/90).

EXP 16



EXP 17



EXP 18: the wave-number versus Re in Williamson's transition

Translation of angle and x-wave-length measurements in terms of z-wave-number. Data from Williamson (ref. 2).

EXP 19: the wave-number (using Kuramoto rescaling) versus Re in Williamson's transition

Translation of angle and x-wave-length measurements in terms of z-wave-number. Scaling based on $\mu_r = 32 v$, $k = 0.2 d^2/v$, $Re_0 = 49$. $q > 1$ is theoretically impossible. Data from Williamson (ref. 2).

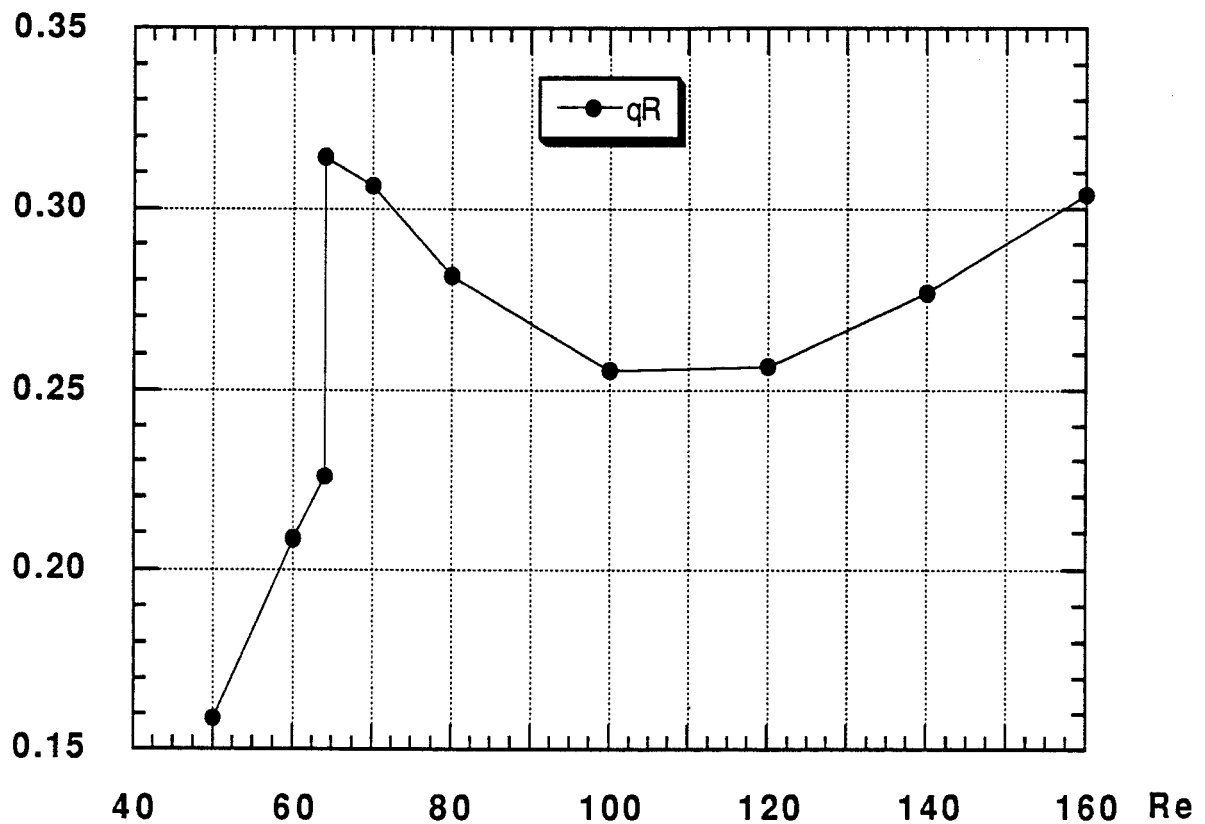
EXP 18: le nombre d'onde en fonction de Re au cours de la transition de Williamson

Traduction des mesures d'angle et de longueur d'onde suivant x en termes de nombre d'onde suivant z. Données de Williamson (réf. 2).

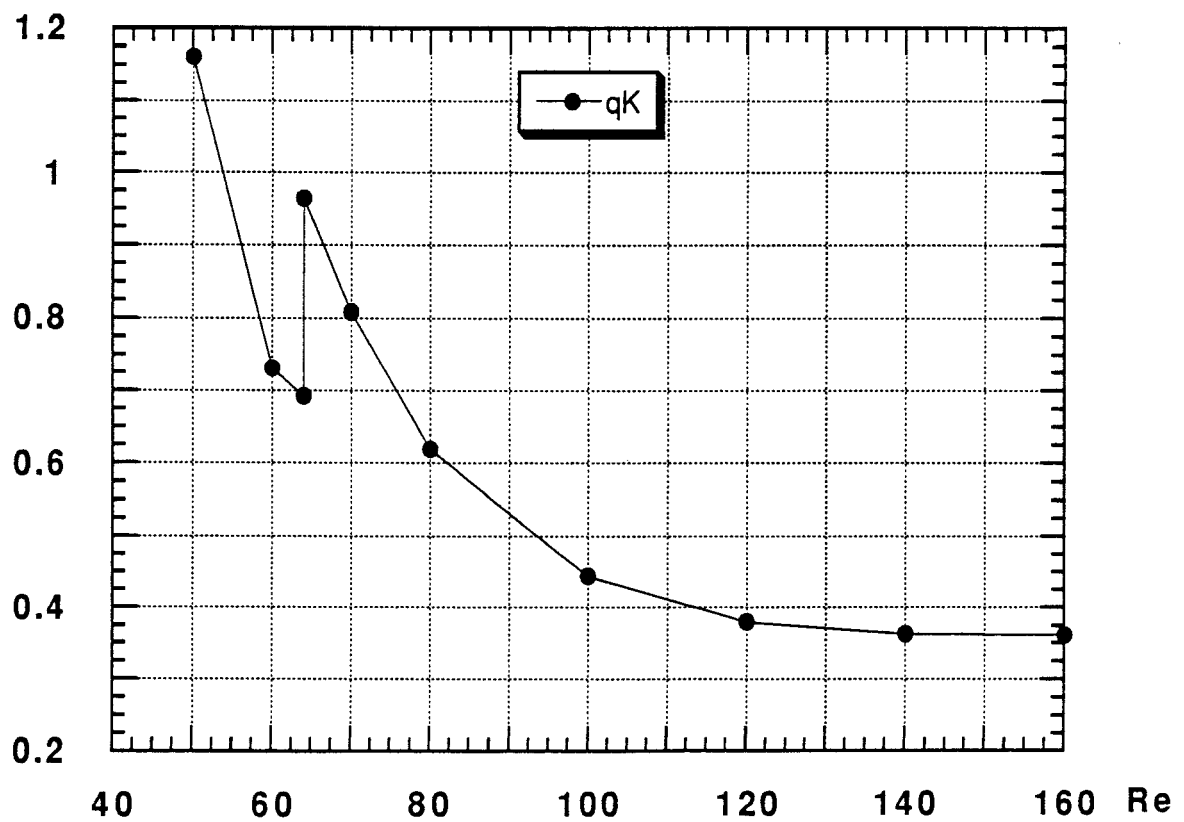
EXP 19: le nombre d'onde (en échelle de Kuramoto) en fonction de Re au cours de la transition de Williamson

Le changement d'échelle de Kuramoto est basé sur $\mu_r = 32 v$, $k = 0.2 d^2/v$, $Re_0 = 49$. $q > 1$ est théoriquement impossible. Données de Williamson (réf. 2).

EXP 18



EXP 19

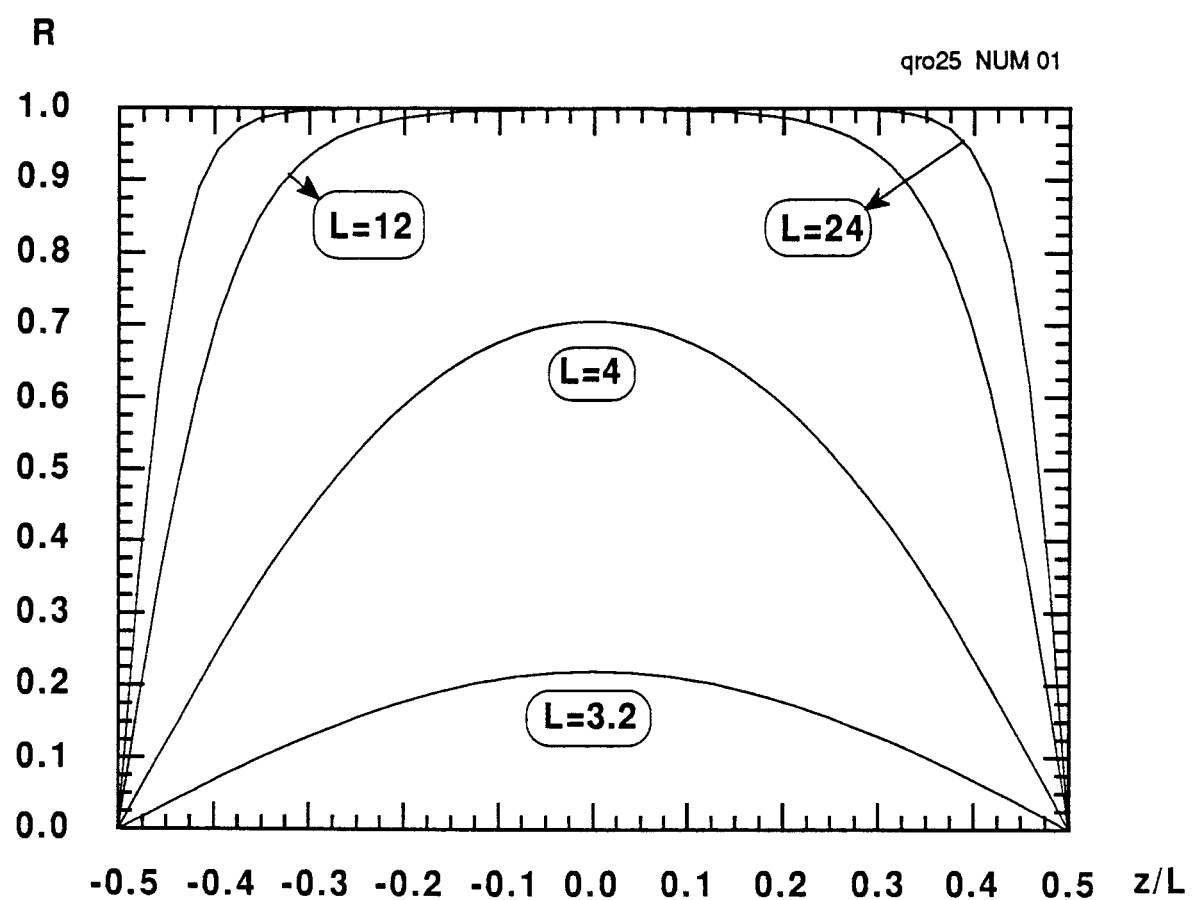


**NUM 01: highly non-linear behaviour of the non-dispersive
Ginzburg-Landau equation**

ω and $q(z)$ are zero. $R(z/L)$ is plotted for $L = 3.2, 4, 12, 24$,
 $c_0 = -1, c_1 = -1, c_2 = -1, dt = 0.4, 0.2, 0.1, 0.2, pmax = 48$.

**NUM 01: comportement hautement non-linéaire de l'équation de
Ginzburg-Landau non-dispersive**

ω et $q(z)$ sont nuls. $R(z/L)$ est tracée pour $L = 3.2, 4, 12, 24$,
 $c_0 = -1, c_1 = -1, c_2 = -1, dt = 0.4, 0.2, 0.1, 0.2, pmax = 48$.



NUM 02 to NUM 07: highly non-linear behaviour of the dispersive Ginzburg-Landau equation

$q(z)$, $R(z)$ and the plane wave test function, $\text{test} = q^2 + R^2 - 1$, are plotted with

$c_1 = 0$, $c_2 = -0.5$ and

NUM 02: $L = 3.2$, $c_0 = 0$, $dt = 0.4$, $pmax = 48$

- numerical pulsation $\omega = 0.018242$
- (3.3.1.\$11) pulsation $\omega_1 = 0.018085$
- (3.3.1.\$30) pulsation $\omega = 0.018061$

NUM 03: $L = 4$, $c_0 = -0.000$, $dt = 0.2$, $pmax = 48$, $\omega - c_0 = 0.189729$

NUM 04: $L = 12$, $c_0 = -0.441$, $dt = 0.2$, $pmax = 48$, $\omega - c_0 = 0.442675$

NUM 05: $L = 24$, $c_0 = -0.459$, $dt = 0.5$, $pmax = 48$, $\omega - c_0 = 0.467916$

NUM 06: $L = 48$, $c_0 = -0.476$, $dt = 0.5$, $pmax = 96$, $\omega - c_0 = 0.474310$

NUM 07: $L = 96$, $c_0 = -0.476$, $dt = 0.5$, $pmax = 192$, $\omega - c_0 = 0.474658$

NUM 02 à NUM 07: comportement hautement non-linéaire de l'équation de Ginzburg-Landau dispersive

$q(z)$, $R(z)$ et la fonction test de l'onde plane, $\text{test} = q^2 + R^2 - 1$, sont tracées pour $c_1 = 0$, $c_2 = -0.5$ et

NUM 02: $L = 3.2$, $c_0 = 0$, $dt = 0.4$, $pmax = 48$

- pulsation numérique $\omega = 0.018242$
- pulsation donnée par (3.3.1.\$11) $\omega_1 = 0.018085$
- pulsation donnée par (3.3.1.\$30) $\omega = 0.018061$

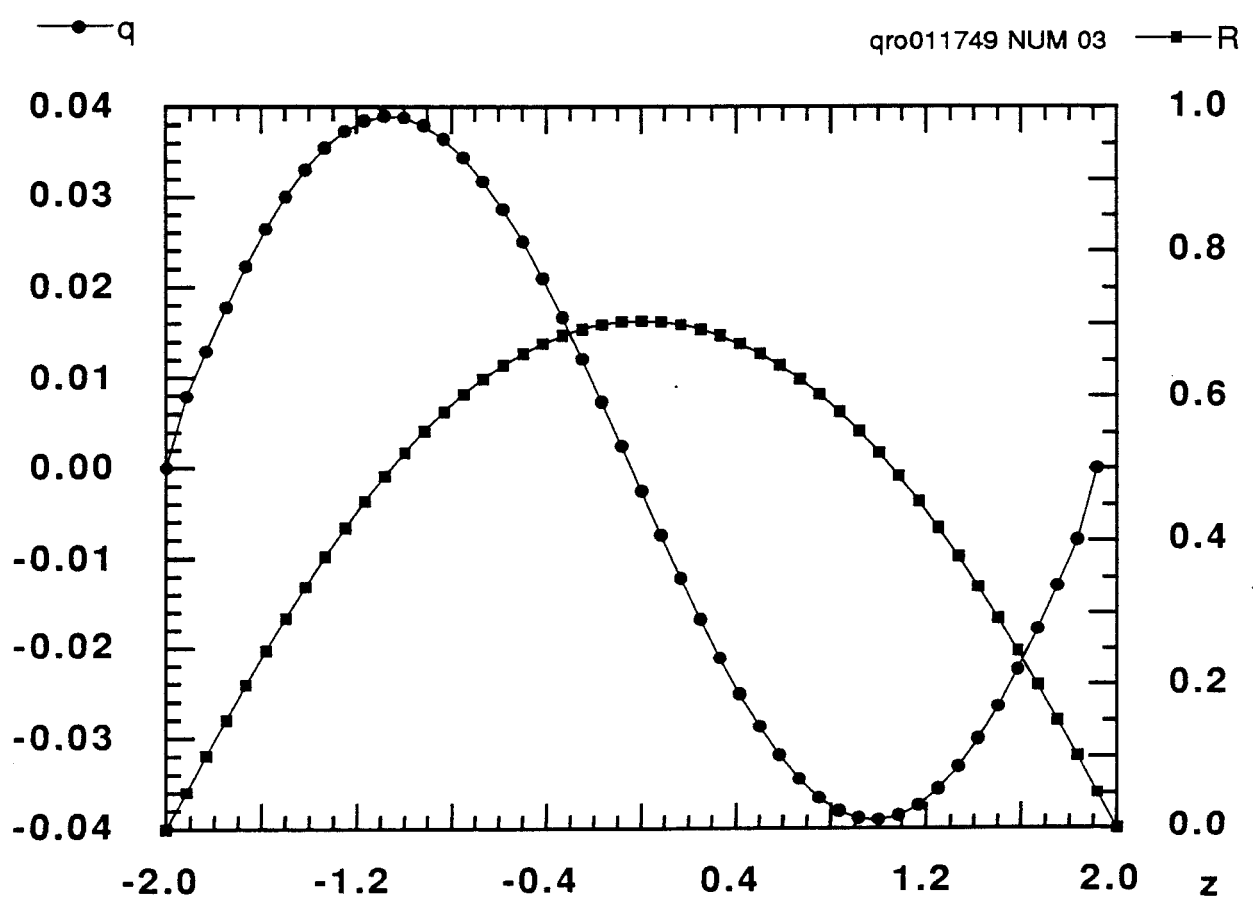
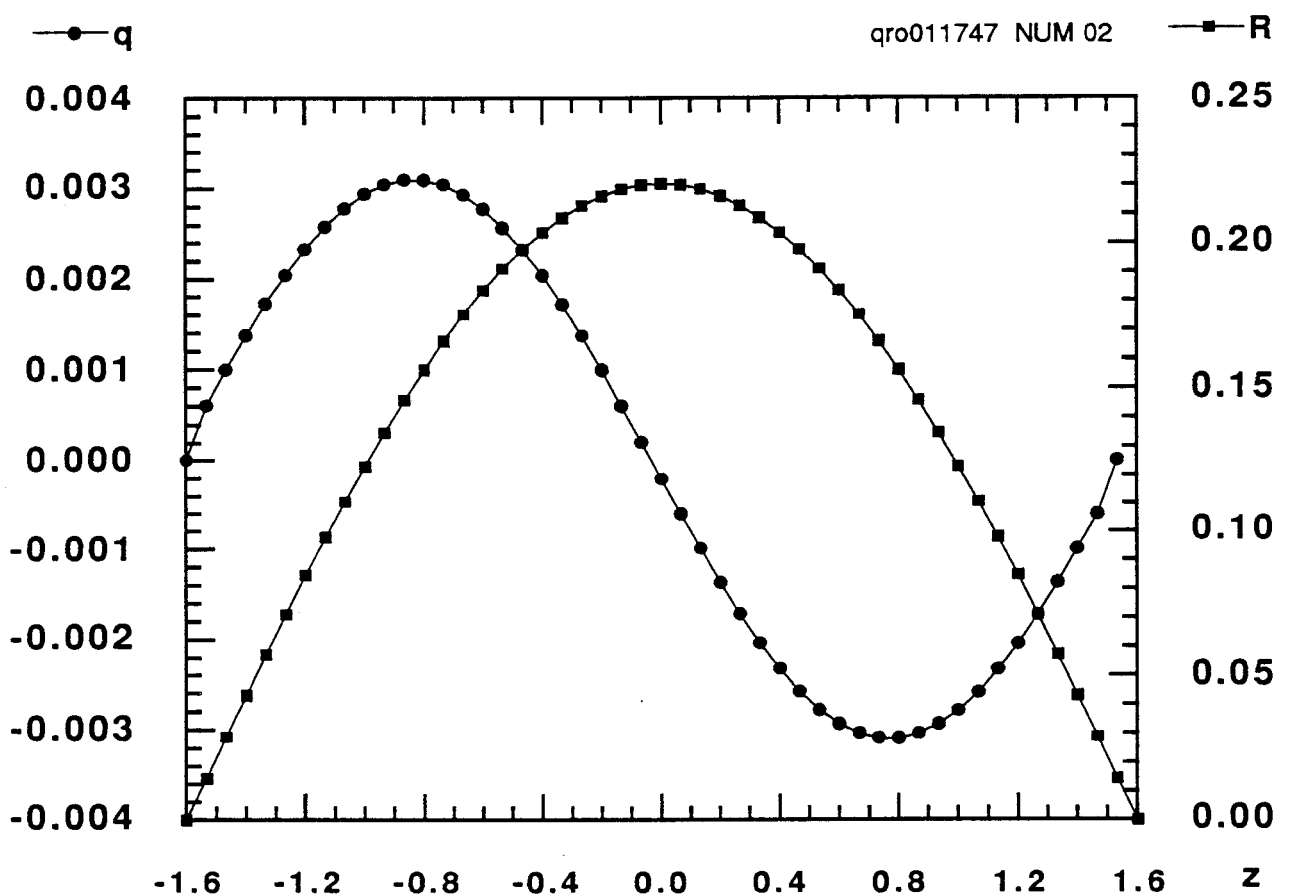
NUM 03: $L = 4$, $c_0 = -0.000$, $dt = 0.2$, $pmax = 48$, $\omega - c_0 = 0.189729$

NUM 04: $L = 12$, $c_0 = -0.441$, $dt = 0.2$, $pmax = 48$, $\omega - c_0 = 0.442675$

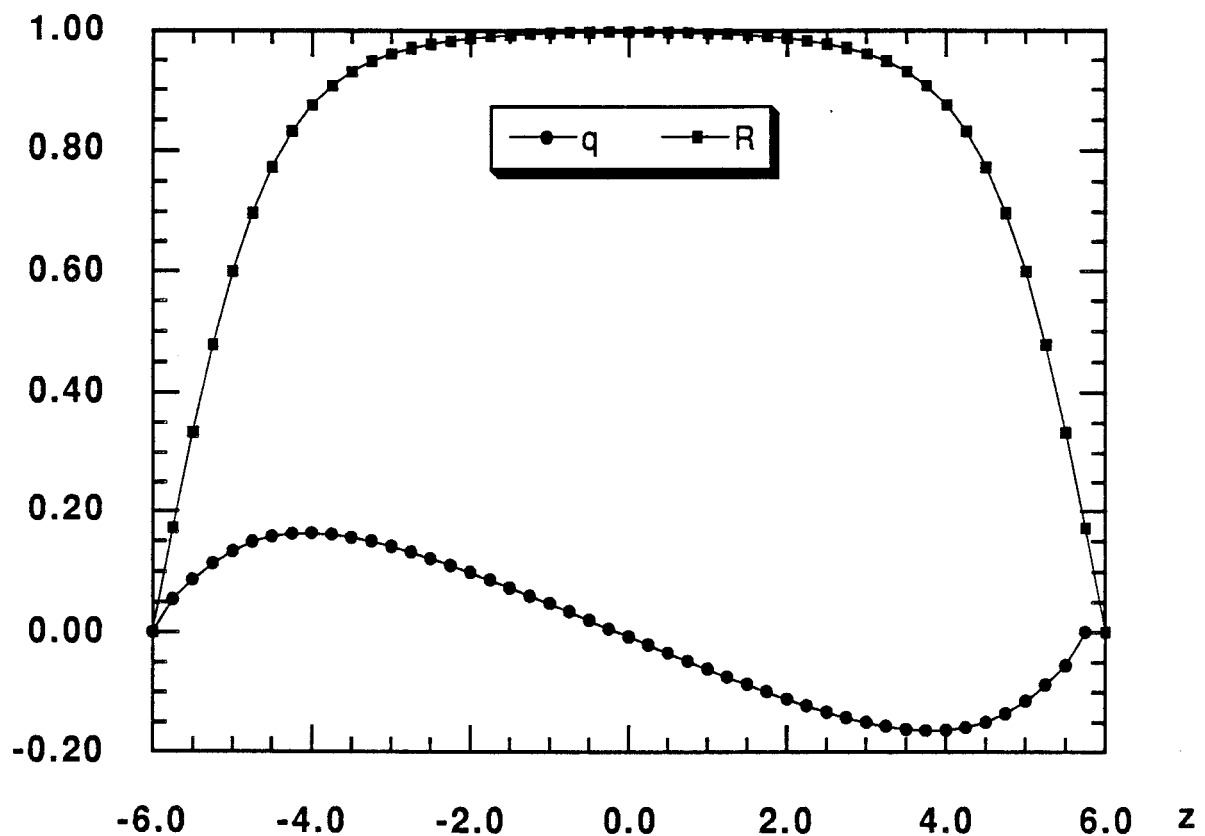
NUM 05: $L = 24$, $c_0 = -0.459$, $dt = 0.5$, $pmax = 48$, $\omega - c_0 = 0.467916$

NUM 06: $L = 48$, $c_0 = -0.476$, $dt = 0.5$, $pmax = 96$, $\omega - c_0 = 0.474310$

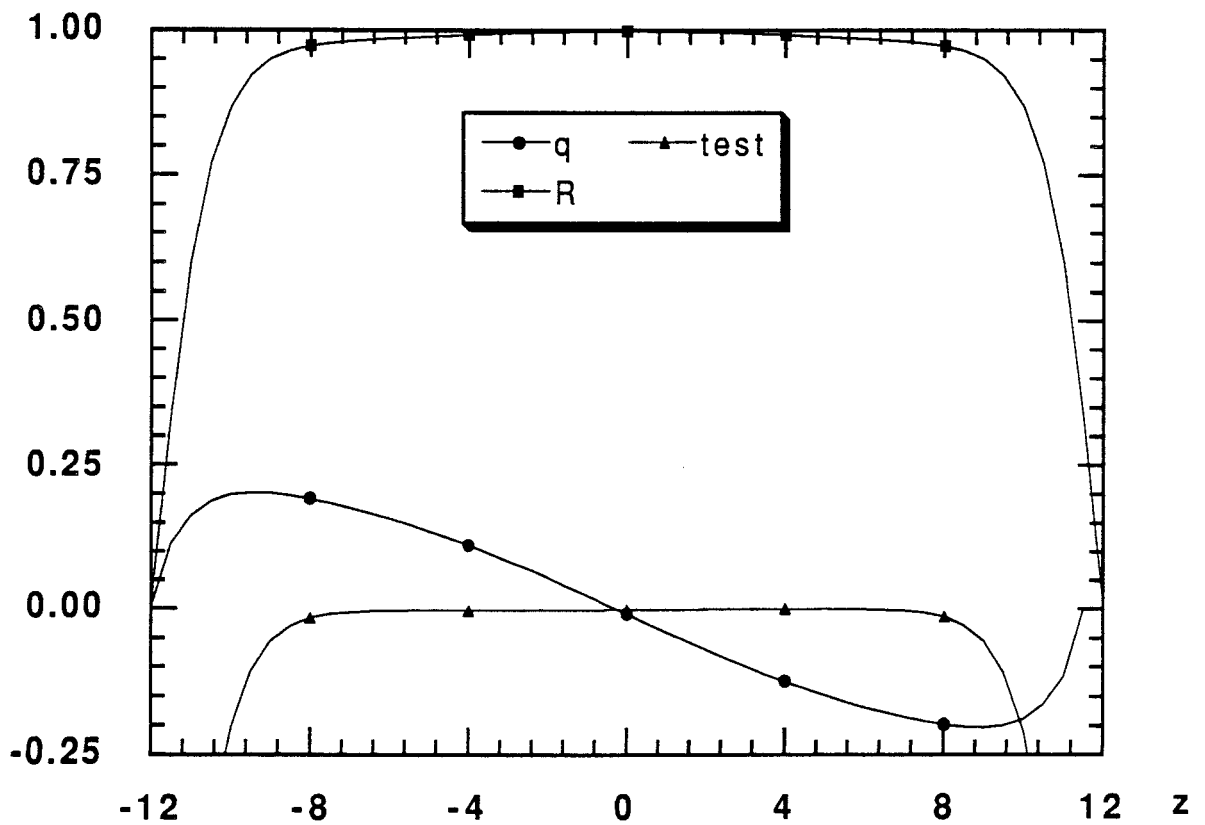
NUM 07: $L = 96$, $c_0 = -0.476$, $dt = 0.5$, $pmax = 192$, $\omega - c_0 = 0.474658$



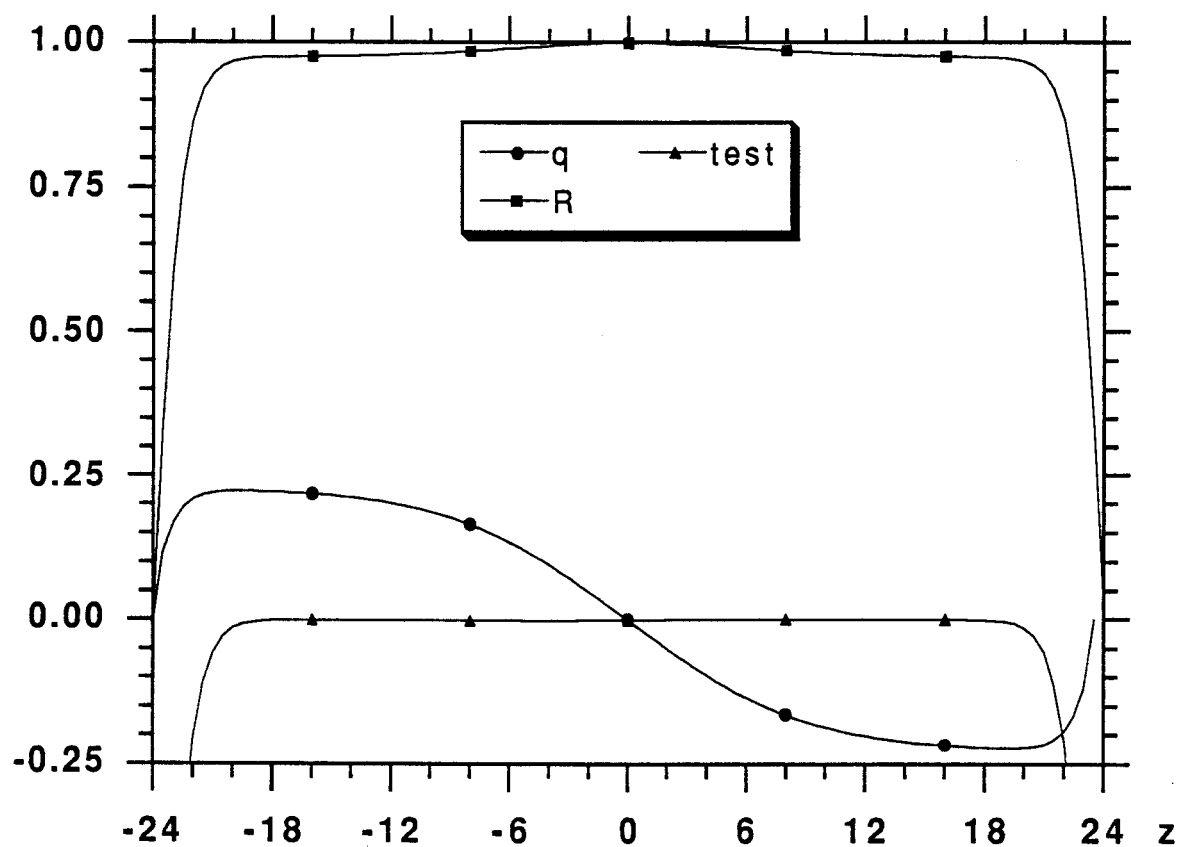
qro020036 NUM 04



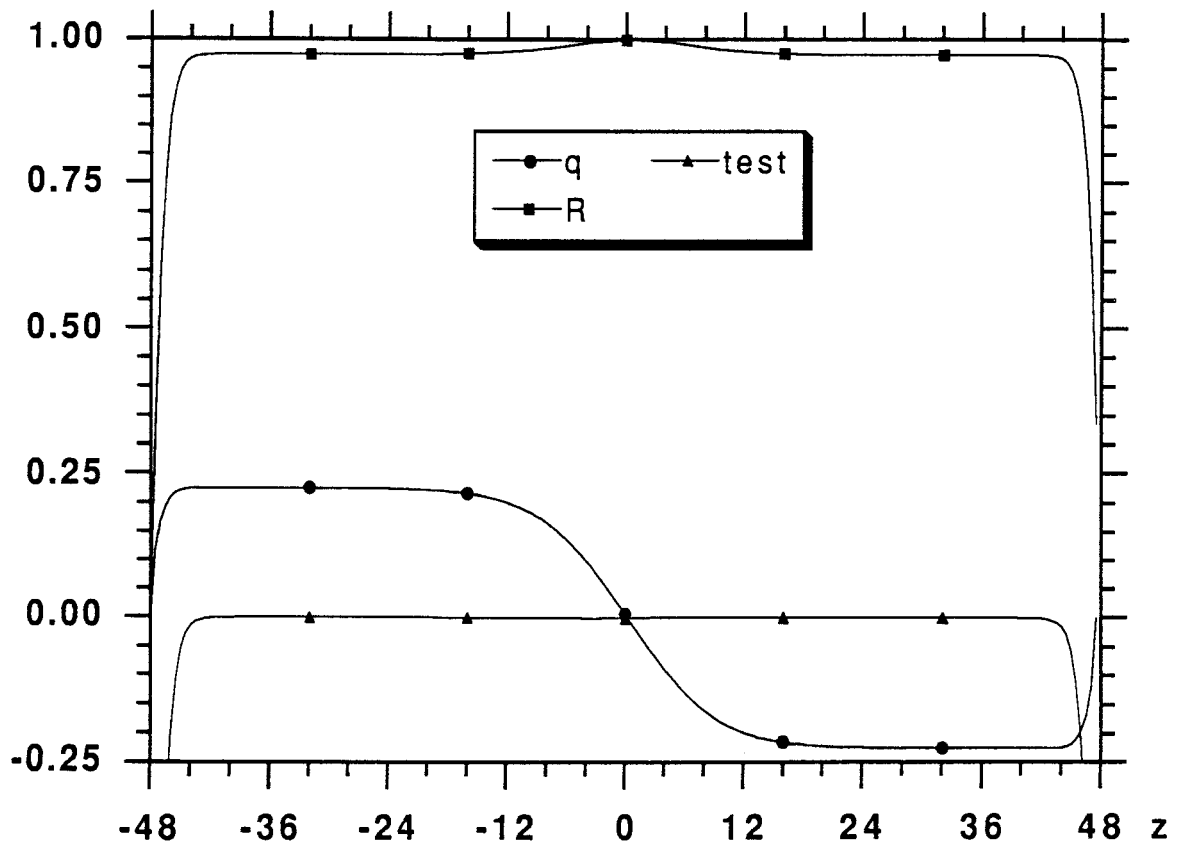
qro020028 NUM 05



qro020016 NUM 06



qro012356 NUM 07



NUM 08 to NUM 13:

quantitative follow-up of a GLCK0 model transient

The functions $t \rightarrow q(t, z_k)$, $R(t, z_k)$, $\omega(t, z_k)$ are plotted for $z_k = 8 k - 24$, $k = 1 \dots 5$ on NUM 08+k-1. In the real wake, a similar experiment could be achieved by recording the transient with 5 probes set up along the span. One can check the transient duration, the corner inward velocity ... forecast in § 3.3. and § 3.4..

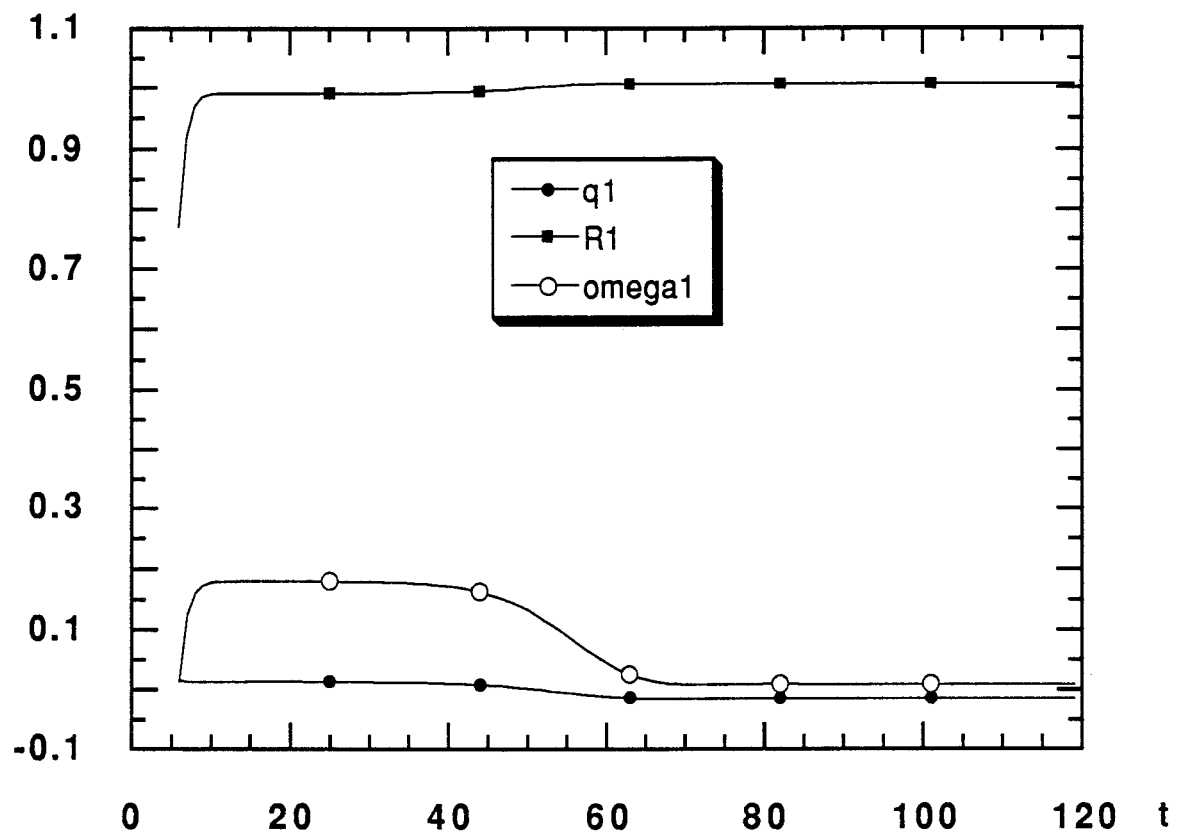
$L = 48$, $c_0 = -0.57$, $c_1 = 0.25$, $c_2 = -0.75$, $dt = 0.5$, $pmax = 96$.

NUM 08 à NUM 13: suivi quantitatif du transitoire du modèle GLCK0

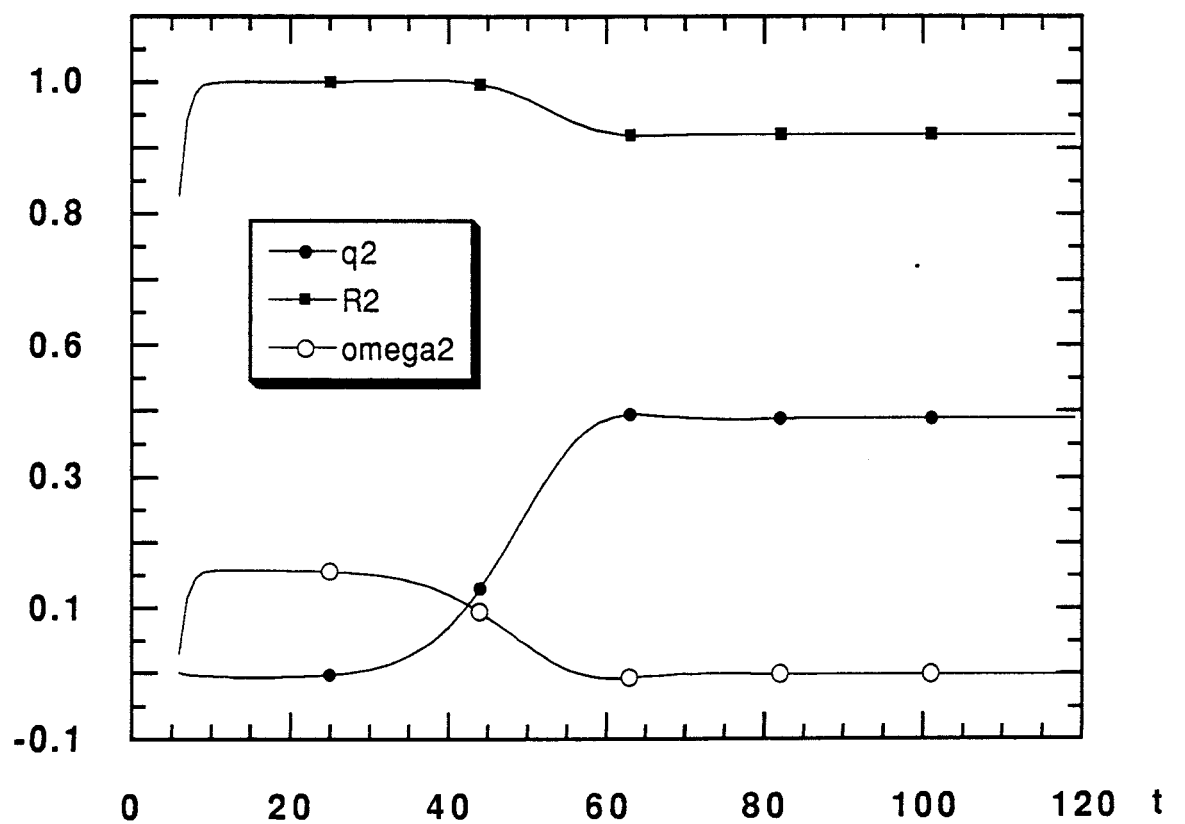
Les fonctions $t \rightarrow q(t, z_k)$, $R(t, z_k)$, $\omega(t, z_k)$ sont tracées pour $z_k = 8 k - 24$, $k = 1 \dots 5$ sur NUM 08+k-1. Dans le sillage réel, une expérience analogue pourrait être réalisée en enregistrant le transitoire au moyen de 5 sondes placées le long de l'obstacle. On peut vérifier la durée du transitoire, la vitesse de propagation du coude vers le centre... prédis aux § 3.3. et § 3.4..

$L = 48$, $c_0 = -0.57$, $c_1 = 0.25$, $c_2 = -0.75$, $dt = 0.5$, $pmax = 96$.

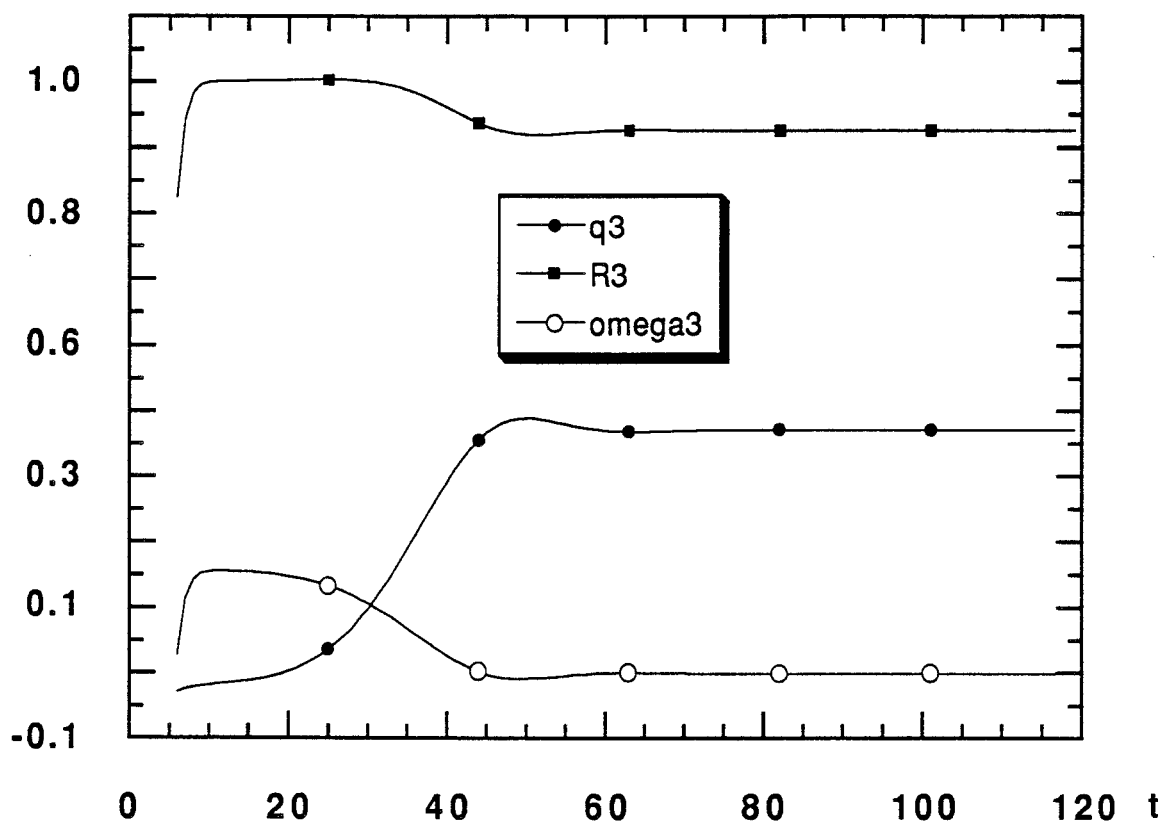
tqro022043 NUM 08



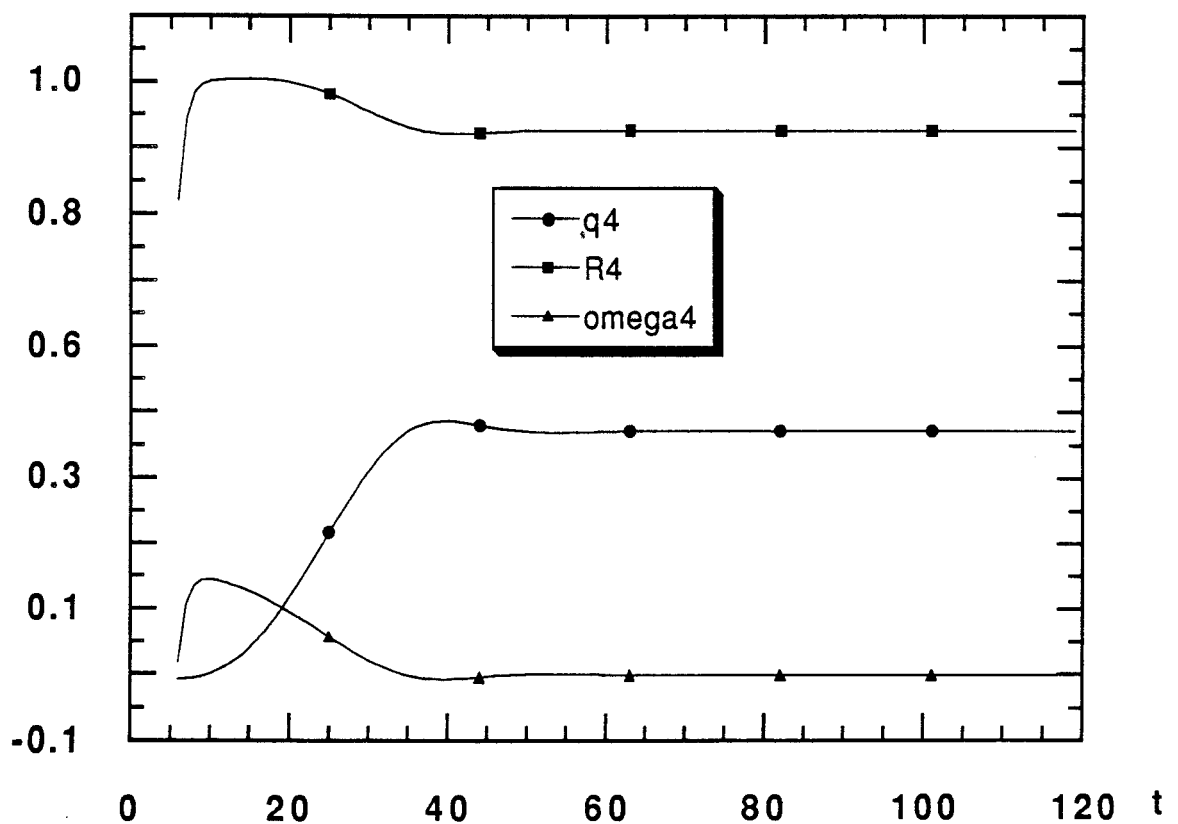
tqro022043 NUM 09



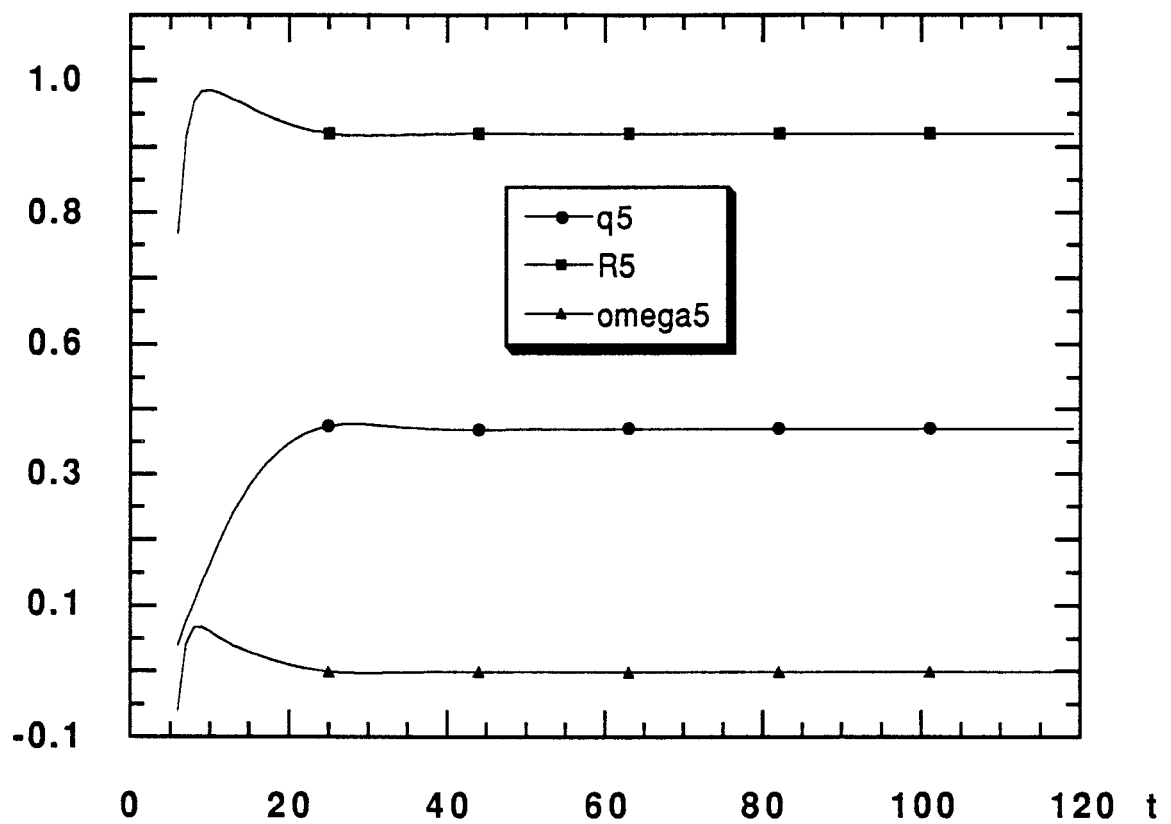
tqro022043 NUM 10



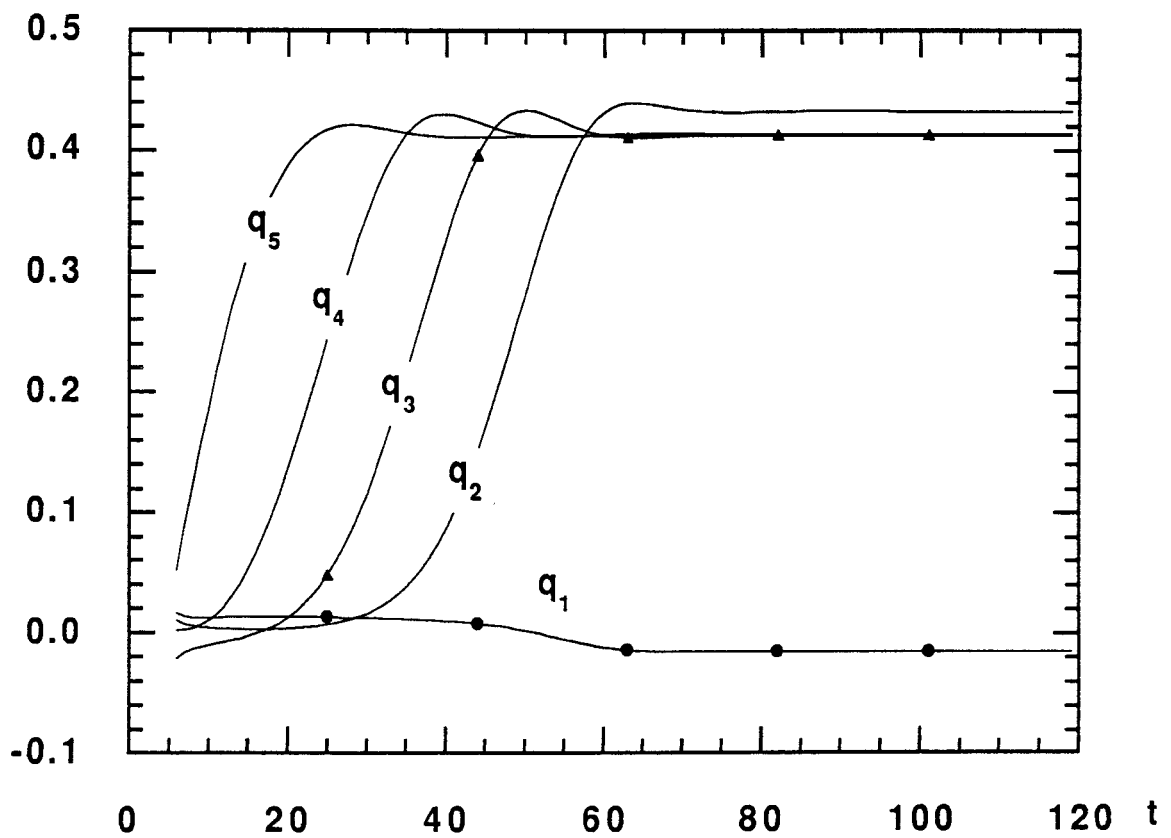
tqro022043 NUM 11



tqro022043 NUM 12



tqro022043 NUM 13



NUM 14: chevron stability diagram in the plane (c_1, c_2)

Theoretical definition: the stable region produces t-periodic asymptotic solutions, whatever the length. The unstable region is the plane minus the stable region.

Practical definition: the stable region is approximated by the values of (c_1, c_2) producing a t-periodic asymptotic solution of GLCK0 with $L = 48$, c_0 adapted (c.f. appendix A4), $dt = 0.4$, $pmax = 48$.

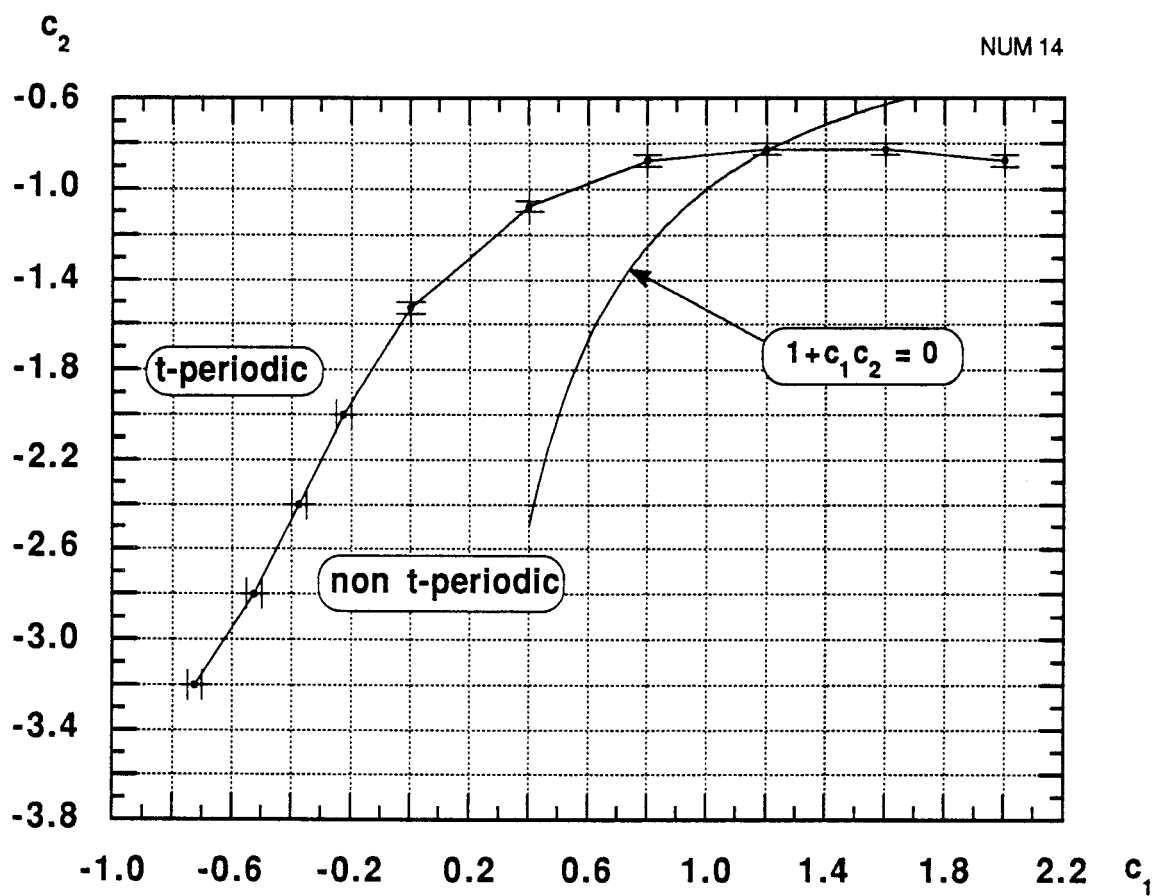
In the stable region, the high length t-asymptotic solution is the stable chevron. In the unstable region, the asymptotic solution can be the oscillating chevron, the broken chevron, the split wake...

NUM 14: diagramme de stabilité du chevron dans le plan (c_1, c_2)

Définition théorique: la région stable donne lieu à des solutions asymptotiques, quelle que soit la longueur. La région instable est le complémentaire de la région stable.

Définition pratique: la région stable est déterminée approximativement par les valeurs de (c_1, c_2) donnant une solution asymptotique t-périodique à GLCK0 avec $L = 48$, c_0 adapté (c.f. appendice A4), $dt = 0.4$, $pmax = 48$.

Dans la région stable, la solution t-asymptotique à grande longueur est le chevron stable. Dans la région instable, la solution asymptotique peut être le chevron oscillant, le chevron brisé, le sillage scindé...



NUM 15 to NUM 18: time evolution of R at stages i2, i3, i4, i5 of the chevron instability development with (c_1, c_2)

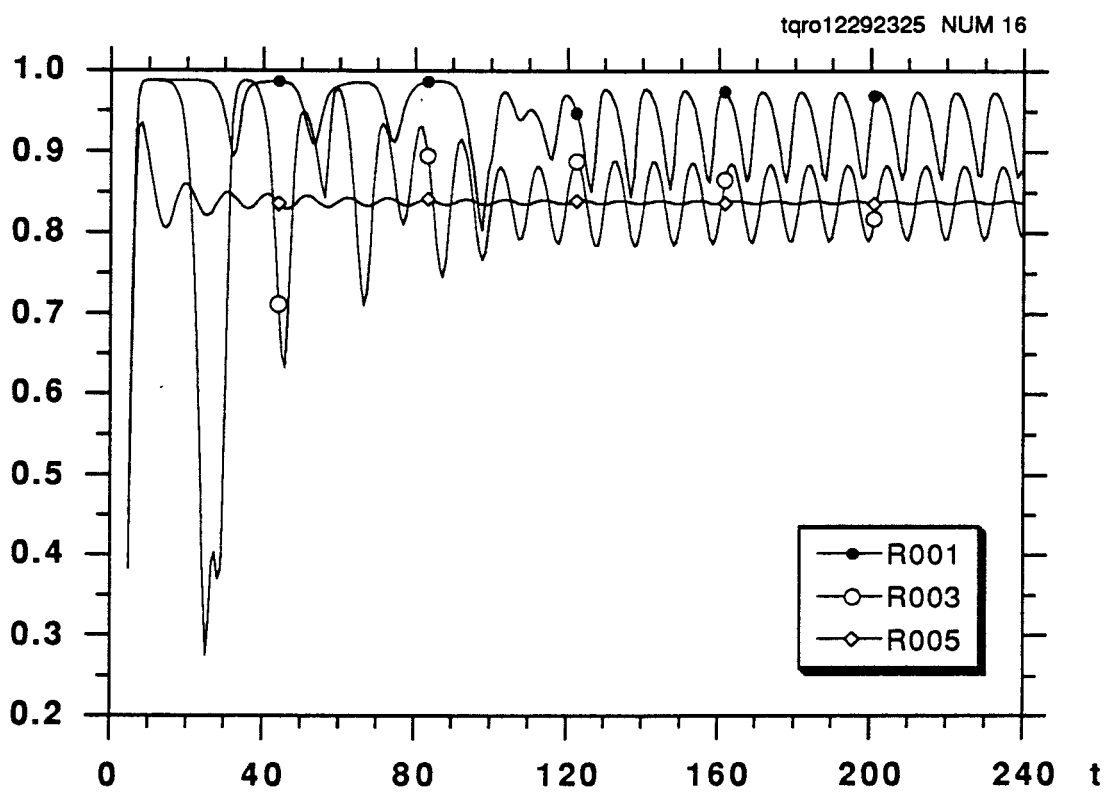
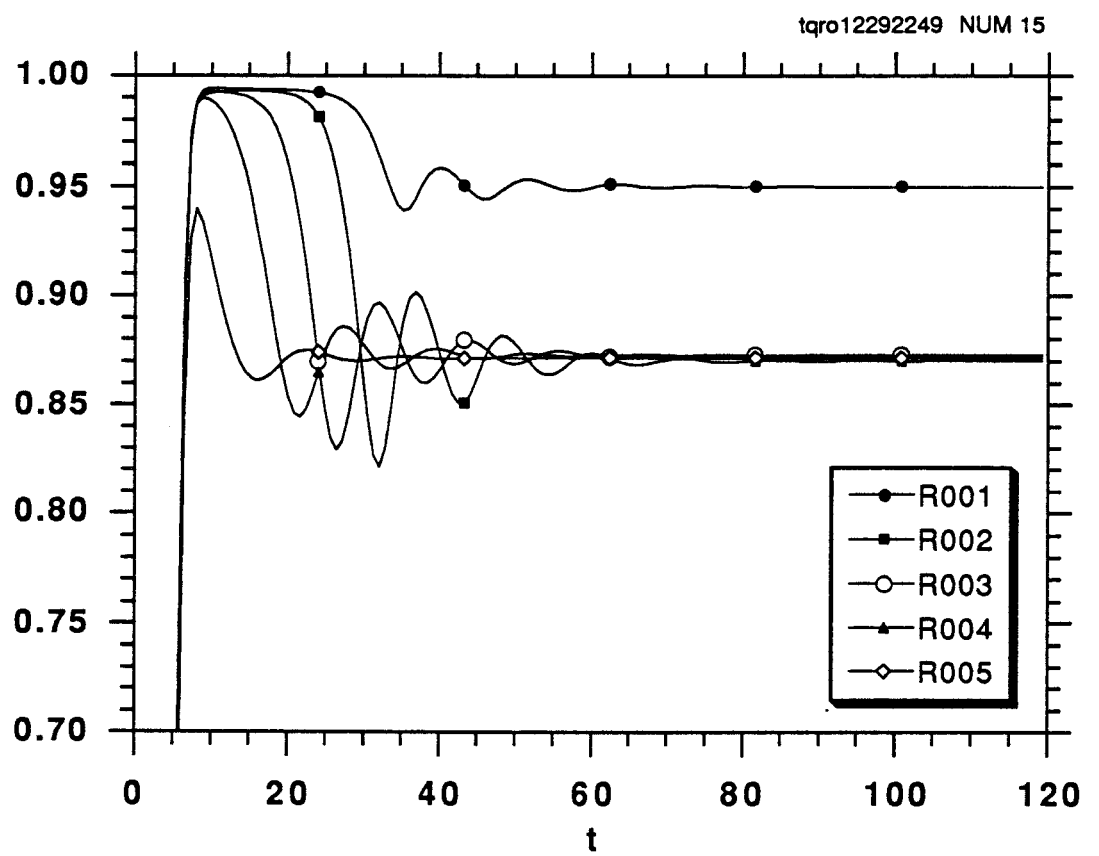
The functions $t \rightarrow R(t, z_k), \omega(t, z_k)$ are plotted for $z_k = 8 k-24$,
for some k in 1, 2, 3, 4, 5.

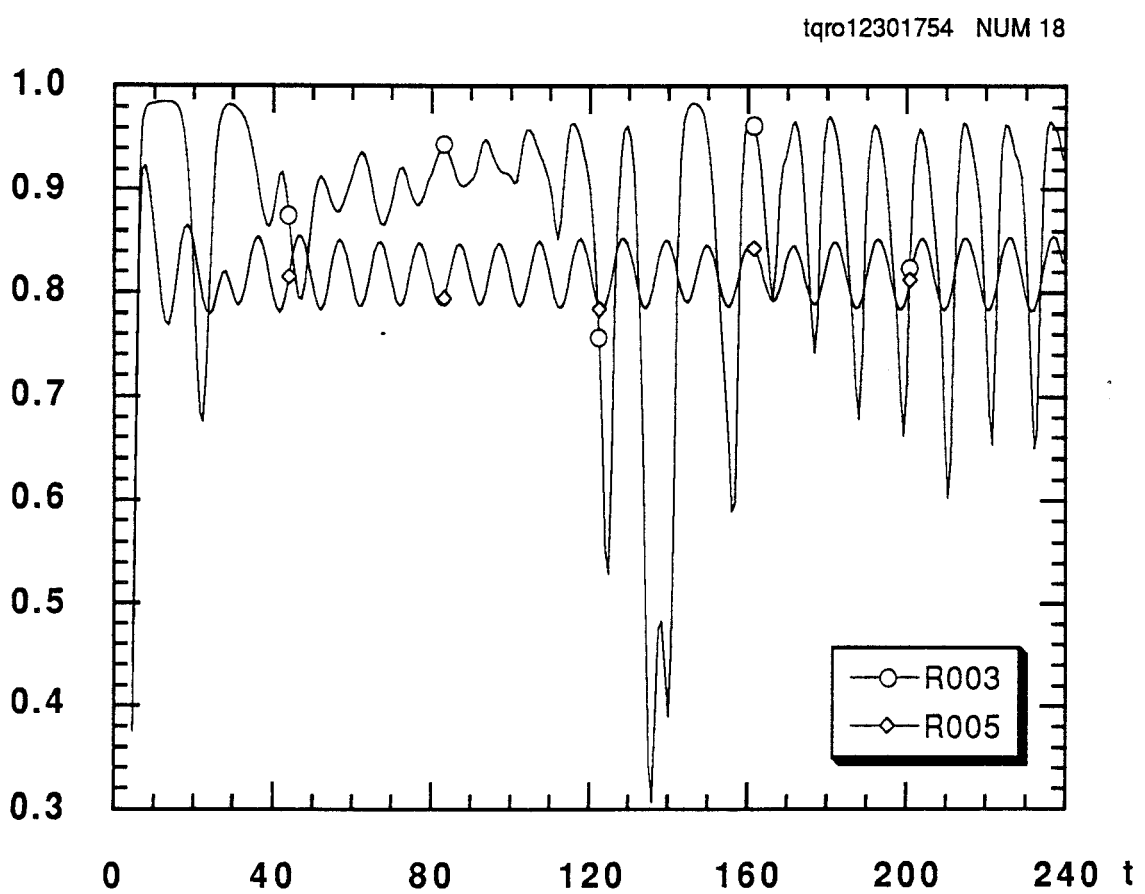
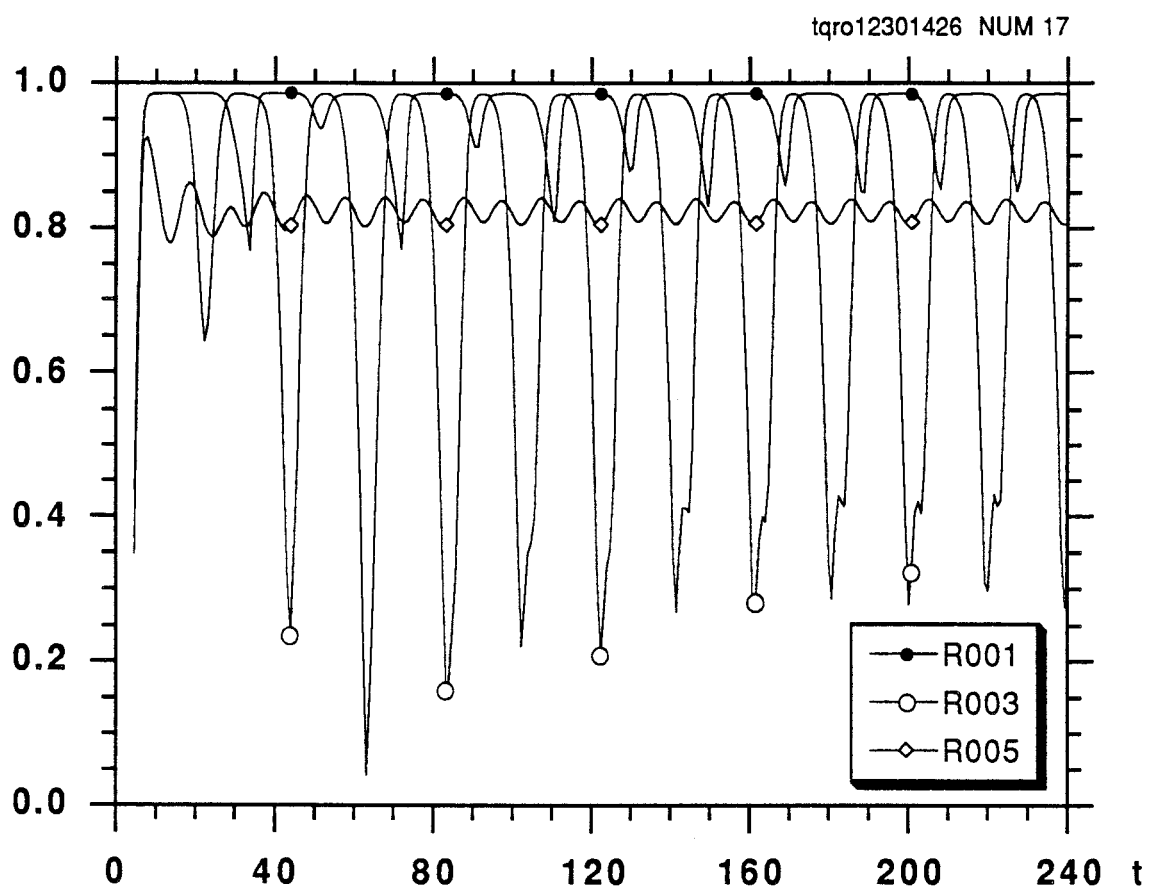
$L = 48, c_0 = -1.59, -1.46, -1.41, -1.38$ (adapted), $c_1 = -0.3, -0.175, -0.12, -0.1,$
 $c_2 = -2, dt = 0.2, pmax = 96.$

NUM 15 à NUM 18: évolution temporelle de R aux stades i2, i3, i4, i5 du développement de l'instabilité du chevron lors de la variation de (c_1, c_2)

Les fonctions $t \rightarrow R(t, z_k), \omega(t, z_k)$ sont tracées en $z_k = 8 k-24$,
où k est choisi parmi 1, 2, 3, 4, 5.

$L = 48, c_0 = -1.59, -1.46, -1.41, -1.38$ (adapté), $c_1 = -0.3, -0.175, -0.12, -0.1,$
 $c_2 = -2, dt = 0.2, pmax = 96.$







NUM 19 to NUM 22: asymptotic patterns at stages i2, i3, i4, i5 of the chevron instability development with (c_1 , c_2)

$L = 48$, c_0 adapted, $c_1 = -0.3, -0.175, -0.12, -0.1$, $c_2 = -2$, $dt = 0.2$, $pmax = 96$.

i2, i3, i4: $t = 240$

i5: $t = 80$. Because symmetry is broken near $t = 100$, I show the solution at $t = 80$ to give an idea of what could be a symmetrical asymptotic state.

NUM 19 à NUM 22:

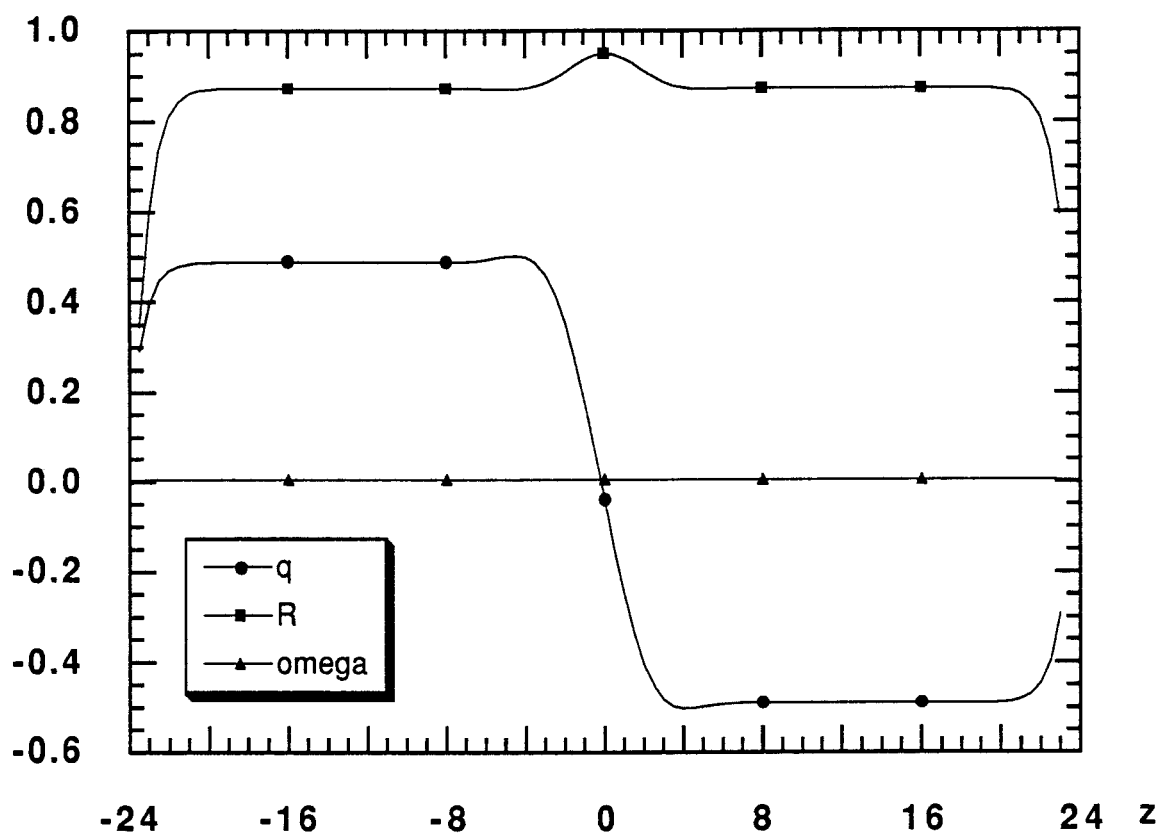
structures asymptotiques aux stades i2, i3, i4, i5 du développement de l'instabilité du chevron lors de la variation de (c_1 , c_2)

$L = 48$, c_0 adapté, $c_1 = -0.3, -0.175, -0.12, -0.1$, $c_2 = -2$, $dt = 0.2$, $pmax = 96$.

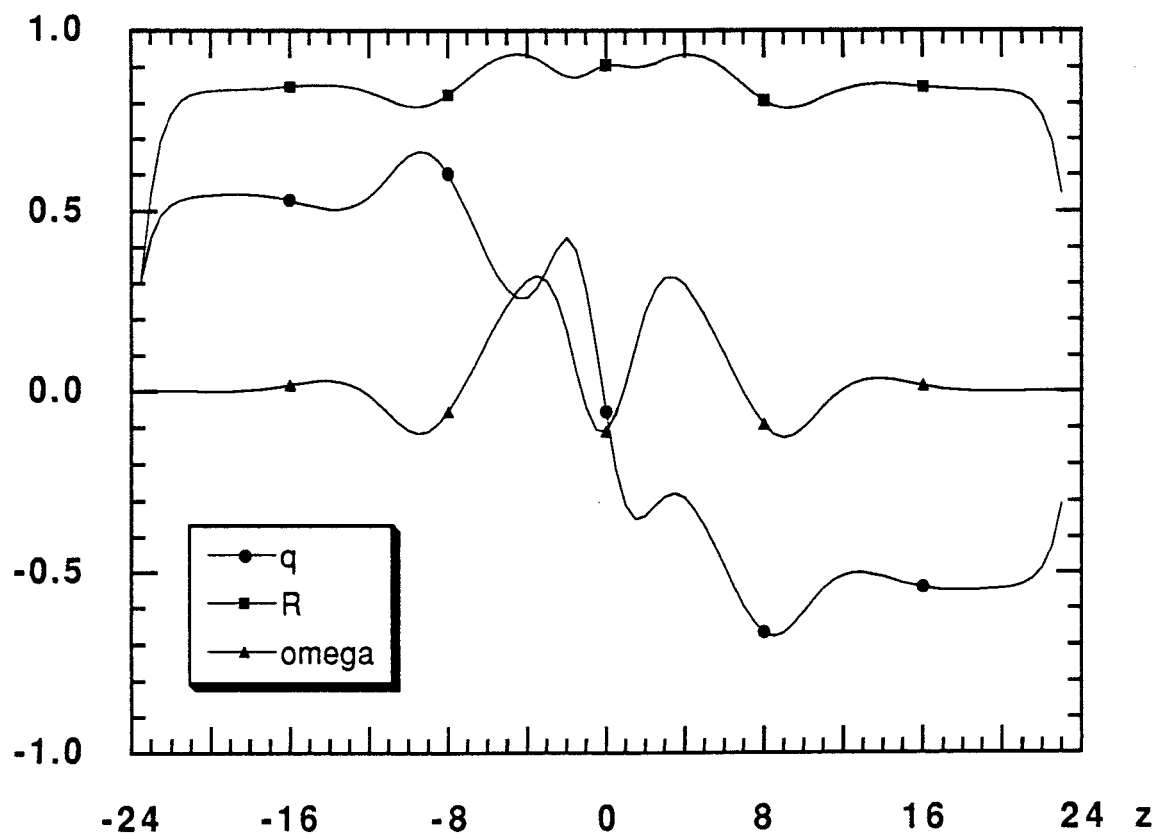
i2, i3, i4: $t = 240$

i5: $t = 80$. Comme la symétrie se brise vers $t = 100$, je donne la solution à $t = 80$, pour donner une idée de ce que pourrait être un état asymptotique symétrique.

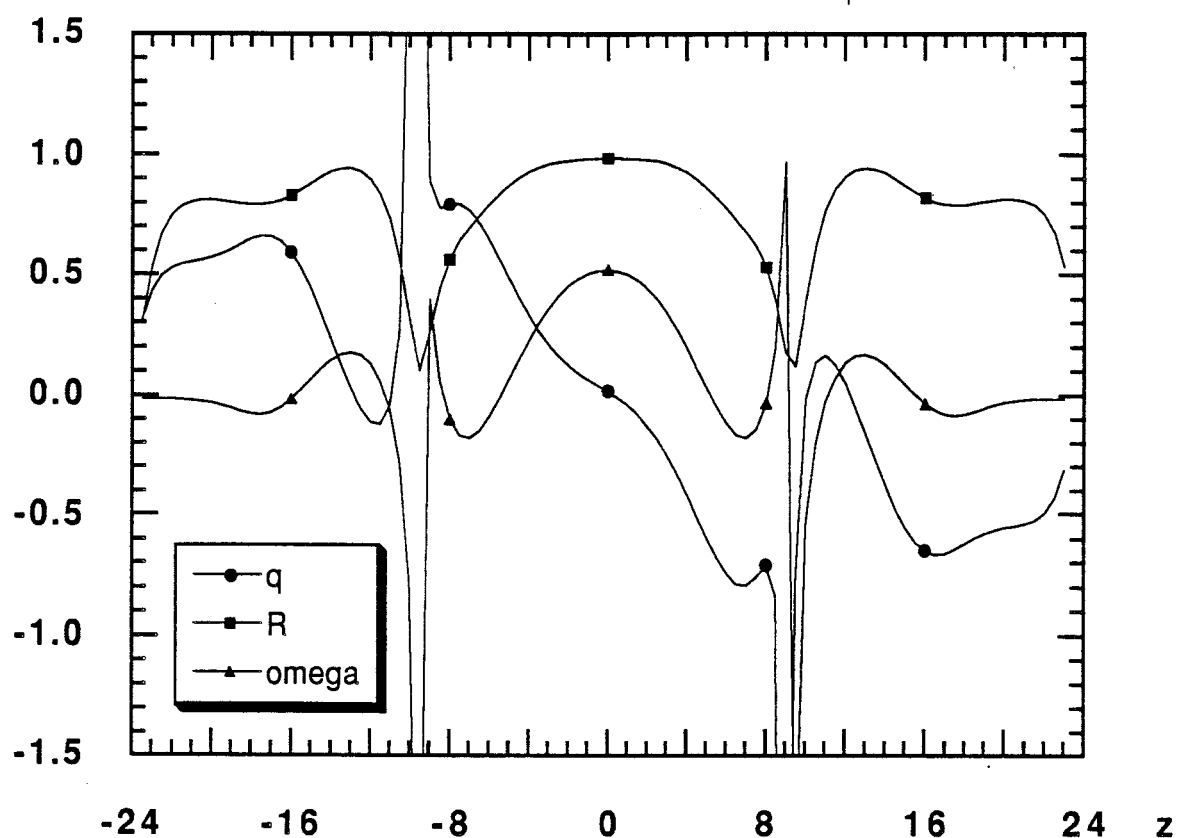
qro12292249 NUM 19



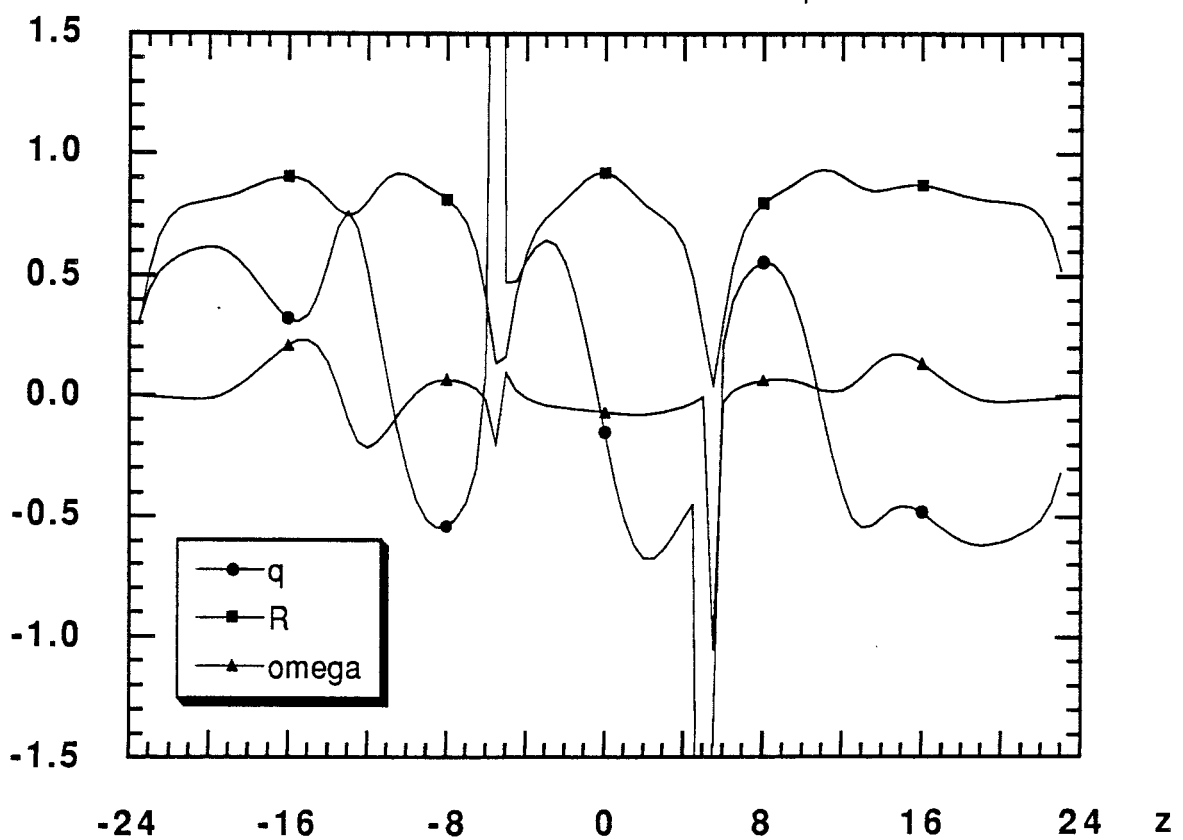
qro12292325 NUM 20



qro12301426 NUM 21



qro12301754t80 NUM 22



NUM 23: the stability of the chevron compared with the stability of plane waves

For each value of (c_1, c_2) , the chevron wave number q_∞ is compared with q_{Cl} and q_C defined as follows:

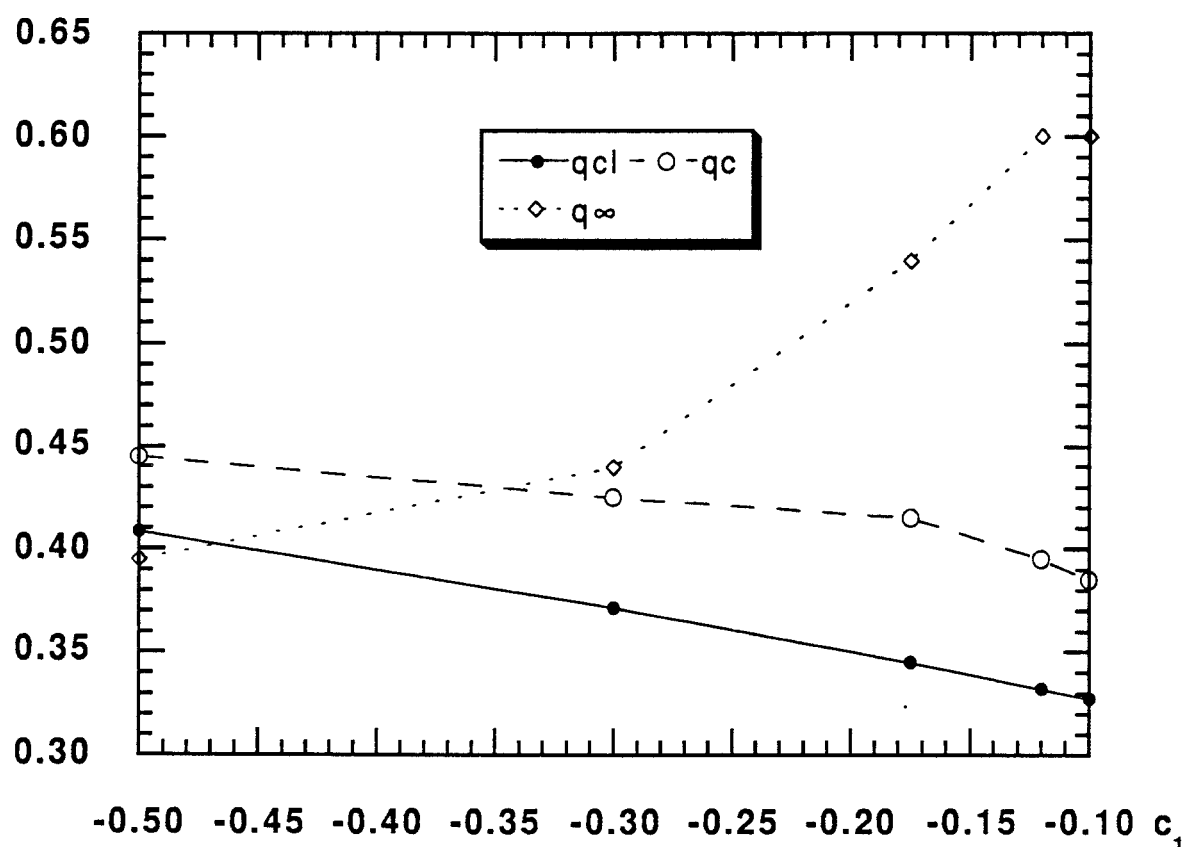
- For a wave-number greater than q_{Cl} , a plane wave is linearly unstable with respect to high wave-length perturbations.
 - For a wave-number greater than q_C , a plane wave is unstable in the numerical simulation of GLCK1 with $L = 2$ ($2\pi/q$), c_0 adapted, c_1 variable, $c_2 = -2$, $dt = 0.2$, $pmax = 96$.
-

NUM 23: stabilités comparées du chevron et des ondes planes

Pour chaque (c_1, c_2) , le nombre d'onde du chevron q_∞ est comparé à q_{Cl} et q_C ainsi définis:

- Pour un nombre d'onde plus grand que q_{Cl} , une onde plane est linéairement instable vis à vis des perturbations à grande longueur d'onde.
- Pour un nombre d'onde plus grand que q_C , une onde plane est instable dans la simulation numérique de GLCK1 avec $L = 2$ ($2\pi/q$), c_0 adapté, c_1 variable, $c_2 = -2$, $dt = 0.2$, $pmax = 96$.

NUM 23



HT 01: the chevron and its transient

Lines $\text{real}(A(t, z)\exp(i \delta c_0 t)) \in \{-1, 0, +1\}$ are drawn.

If δc_0 is such as $c_0 + \delta c_0 = \sigma_i/\sigma_r$, then the lines sketch the vortex cores (resulting from the definition (2.3.\$1) of complex amplitude A).

In the approximation of a x-progressive wave (c.f. § 4.2. and appendix A2), the coordinate t is equivalent to $-x/c$. Then, the figure can be considered also as a photograph of the vortex field: the obstacle is located to the right of the frame; the flow is coming in from the right.

The interest of introducing δc_0 is to be able to choose c_0 so as to improve the numerical precision (c.f. appendix A4), and still have a realistic representation (with $\omega > 0$).

$$L = 48, c_0 = c_2, \delta c_0 = 0.5, c_1 = 0.25, c_2 = -0.75, dt = 0.5, pmax = 96, 0 < t < 150.$$

HT 01: le chevron et son transitoire

On trace les lignes d'équation $\text{real}(A(t, z)\exp(i \delta c_0 t)) \in \{-1, 0, +1\}$.

Si δc_0 est tel que $c_0 + \delta c_0 = \sigma_i/\sigma_r$ alors ces lignes représentent les cœurs de vortex (en application de la définition (2.3.\$1) de l'amplitude complexe A).

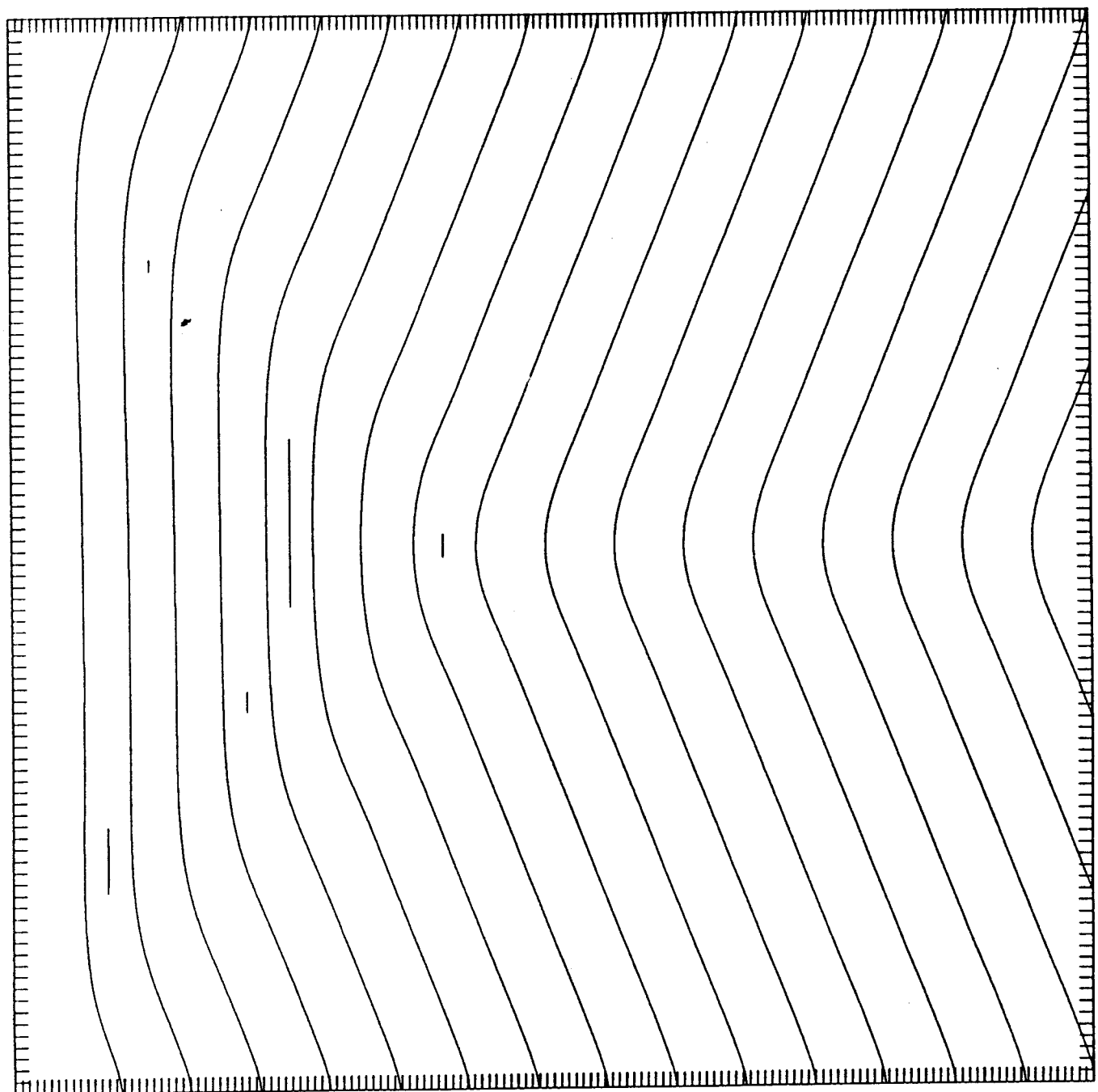
Dans l'approximation d'une onde progressive suivant x (c.f. § 4.2. et appendix A2), la coordonnée t est équivalente à $-x/c$. Alors, la figure peut être considérée aussi comme une photographie du champ de vortex: l'obstacle est placé à droite du cadre; l'écoulement vient de la droite.

L'introduction de δc_0 permet de choisir c_0 pour améliorer la précision numérique (c.f. appendix A4), tout en conservant une représentation réaliste (avec $\omega > 0$).

$$L = 48, c_0 = c_2, \delta c_0 = 0.5, c_1 = 0.25, c_2 = -0.75, dt = 0.5, pmax = 96, 0 < t < 150.$$

HT 01

-0.4460365E+00



CONTOUR FROM -1.0000 TO 1.0000 CONTOUR INTERVAL OF 1.0000 PT(3,3)= 0.45670E-01

HT 02: the chevron and its transient

Lines $\text{real}(A(t, z)) \in \{-1, 0, +1\}$ are drawn.

The field $A(t, z)$ is identical to that of HT 01, but, as δc_0 has been canceled in the visualization procedure, the resemblance with a flow photograph is lost.

$L = 48, c_0 = c_2, c_1 = 0.25, c_2 = -0.75, dt = 0.5, pmax = 96, 0 < t < 150.$

HT 02: le chevron et son transitoire

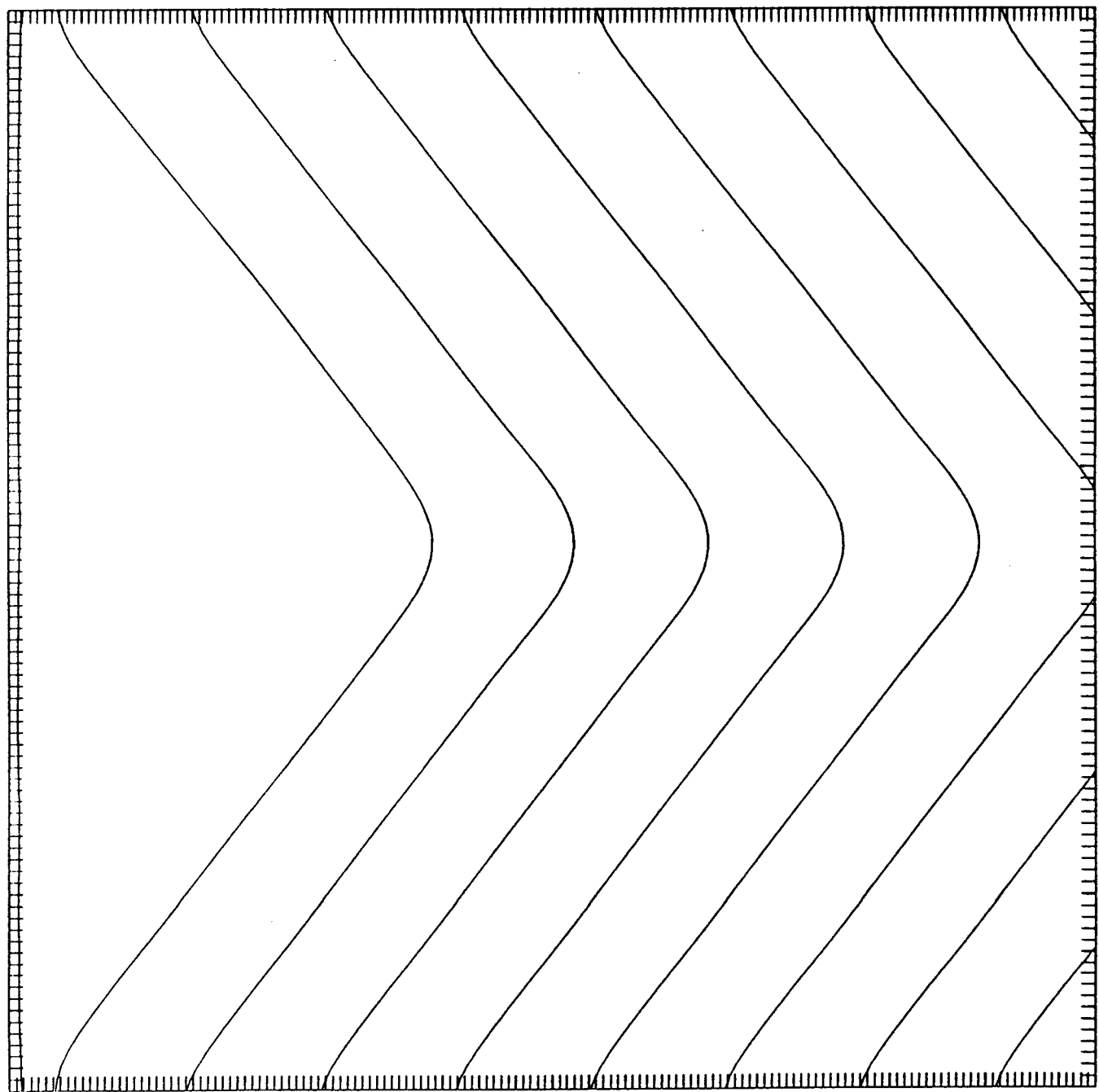
On trace les lignes d'équation $\text{real}(A(t, z)) \in \{-1, 0, +1\}$.

Par rapport à HT 01, le champ $A(t, z)$ est inchangé, mais, comme δc_0 a été supprimé de la procédure de visualization, la ressemblance avec une photographie de l'écoulement est perdue.

$L = 48, c_0 = c_2, c_1 = 0.25, c_2 = -0.75, dt = 0.5, pmax = 96, 0 < t < 150.$

HT 02

0.4219640E+00



CONTOUR FROM -1.0000 TO 1.0000 CONTOUR INTERVAL OF 1.0000 PT(3,3)=-0.92860E-02

HT 03 to HT 06: wake patterns at stages i2, i3, i4, i5 of the chevron instability development with (c_1 , c_2)

Lines $\text{real}(A(t, z)\exp(i \delta c_0 t)) \in \{-1, 0, +1\}$ are drawn.

$L = 48$, c_0 adapted, $c_1 = -0.3, -0.175, -0.12, -0.1$, $c_2 = -2$, $dt = 0.2$, $pmax = 96$,
 $\delta c_0 = 0.5$, $0 < t < 240$ (HT 03: 120).

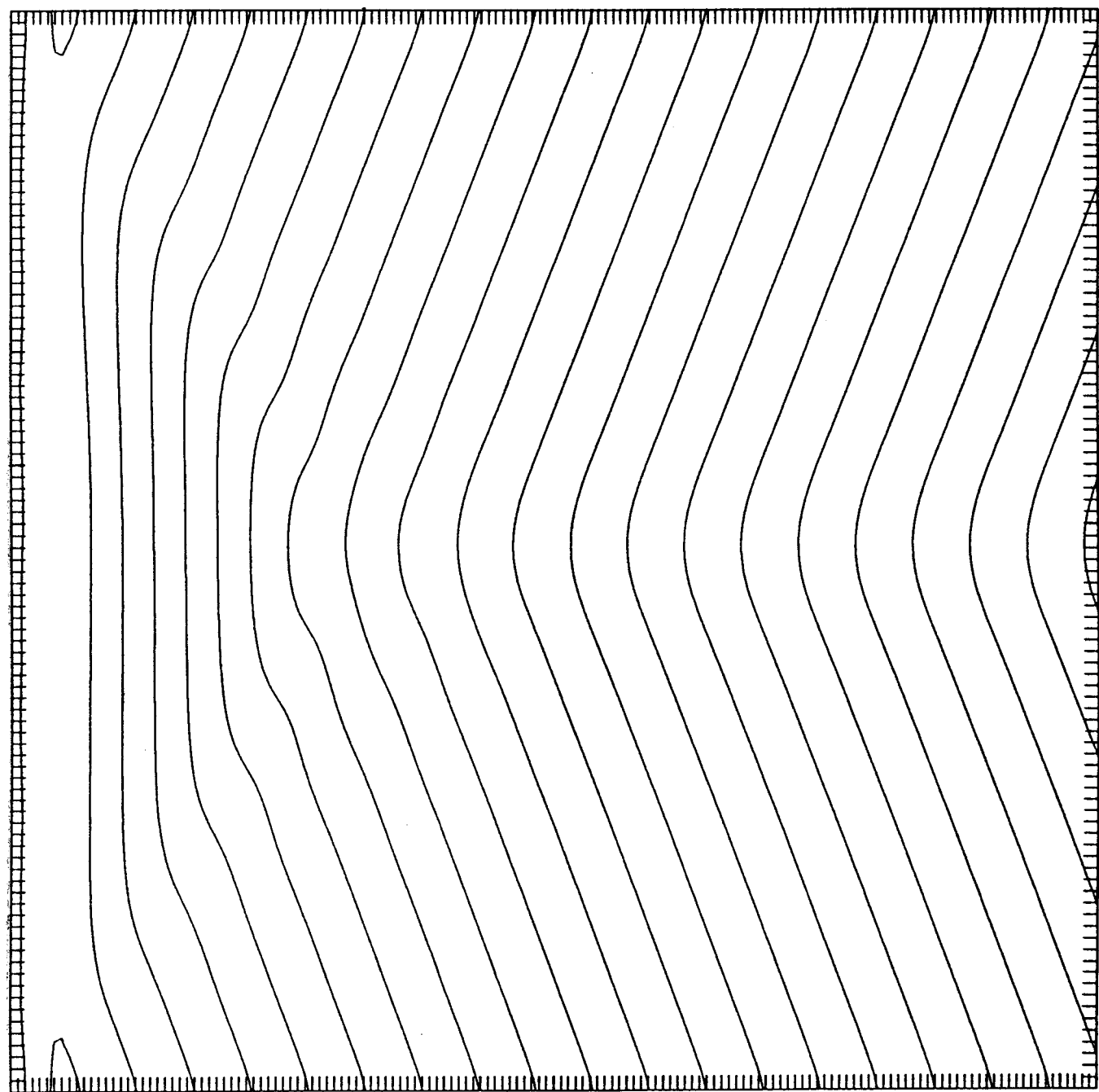
HT 03 à HT 06: stades i2, i3, i4, i5 du développement de l'instabilité du chevron au cours d'une variation de (c_1 , c_2)

On trace les lignes d'équation $\text{real}(A(t, z)\exp(i \delta c_0 t)) \in \{-1, 0, +1\}$.

$L = 48$, c_0 adapté, $c_1 = -0.3, -0.175, -0.12, -0.1$, $c_2 = -2$, $dt = 0.2$, $pmax = 96$,
 $\delta c_0 = 0.5$, $0 < t < 240$ (HT 03: 120).

HT 03

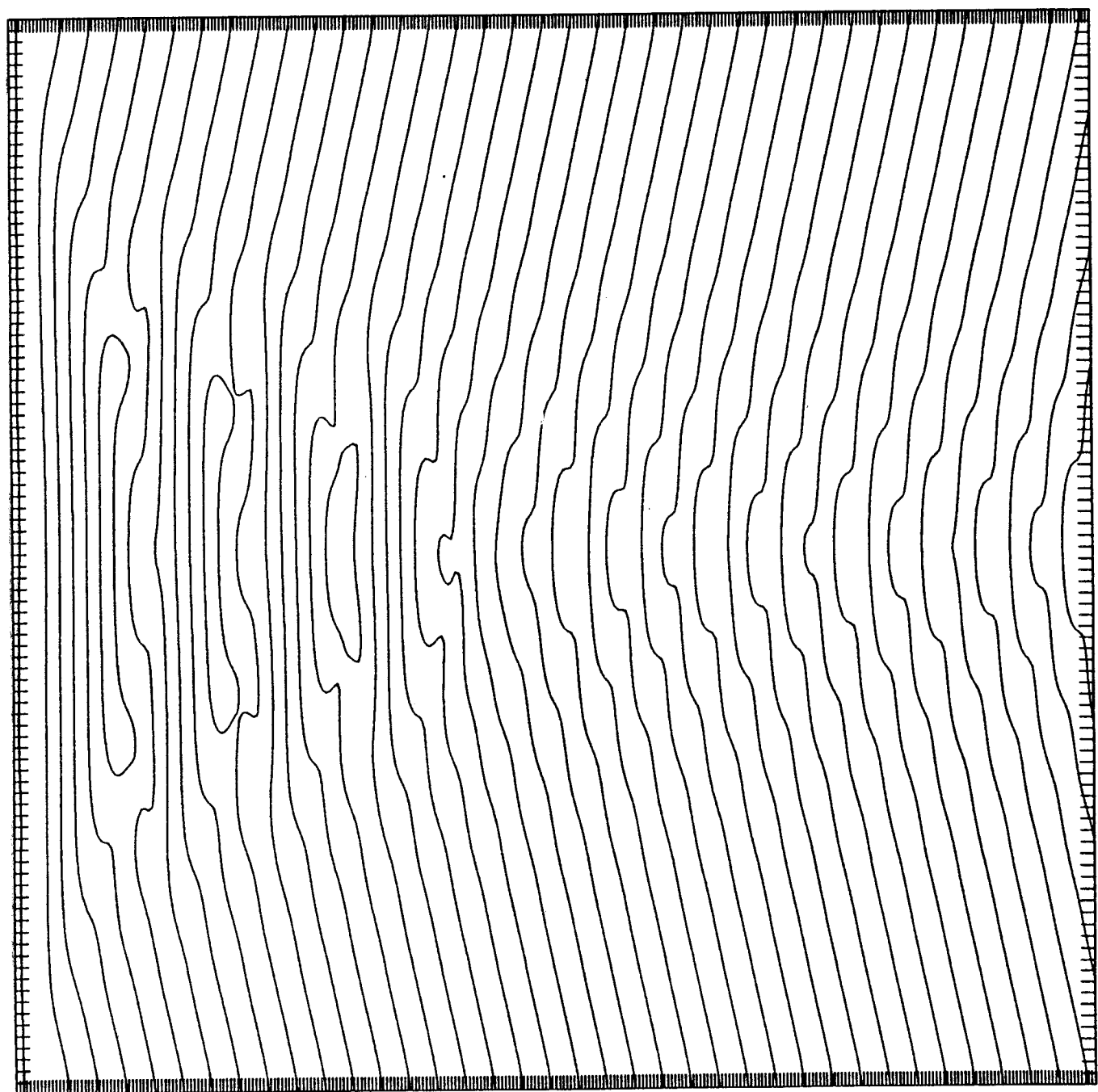
0.6739968E+00



CONTOUR FROM -1.0000 TO 1.0000 CONTOUR INTERVAL OF 1.0000 PT(3,3) = -0.84020E-03

HT 04

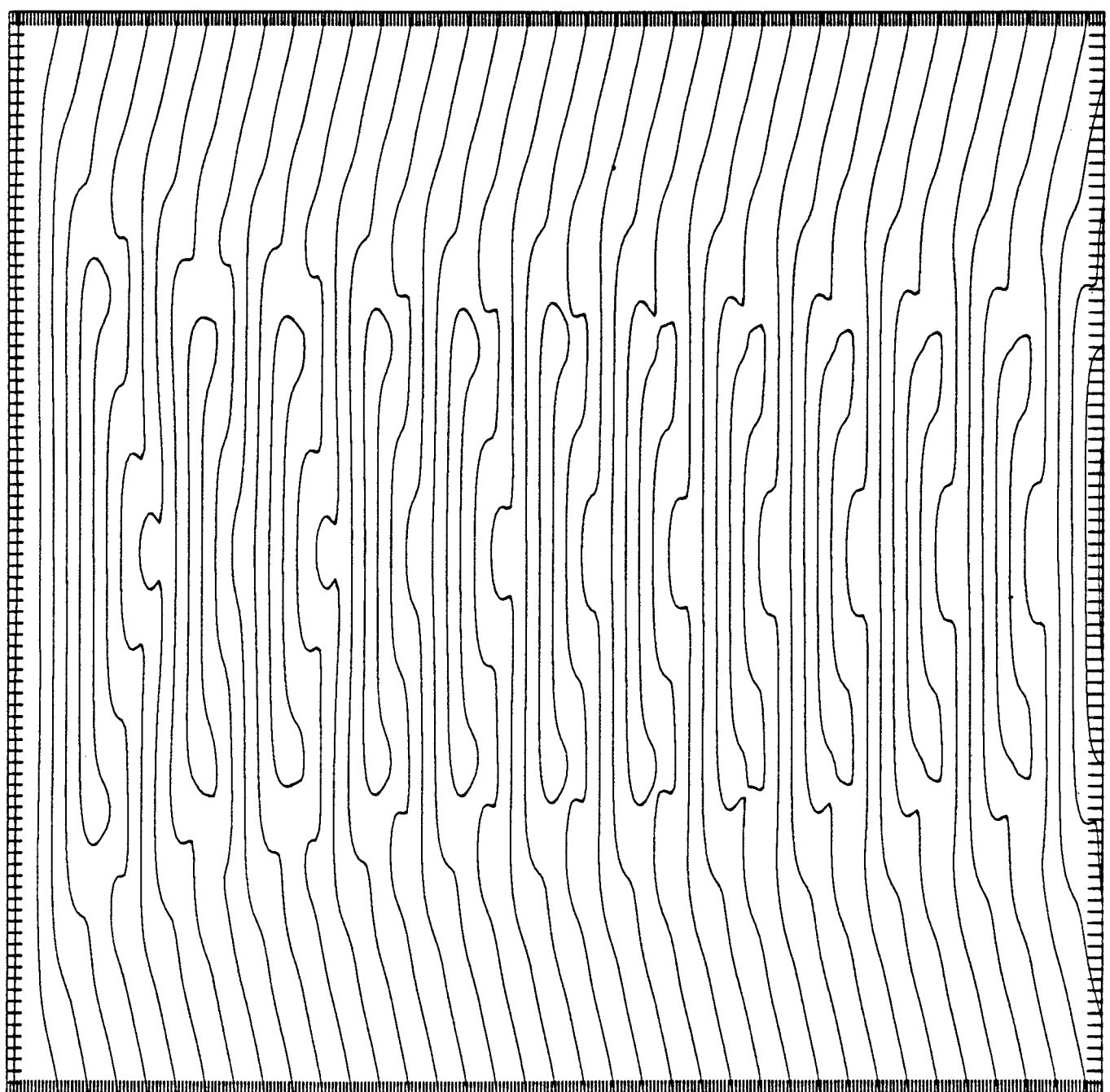
-0.2415689E+00



CONTOUR FROM -1.0000 TO 1.0000 CONTOUR INTERVAL OF 1.0000 PT(3,3)= 0.65924E-02

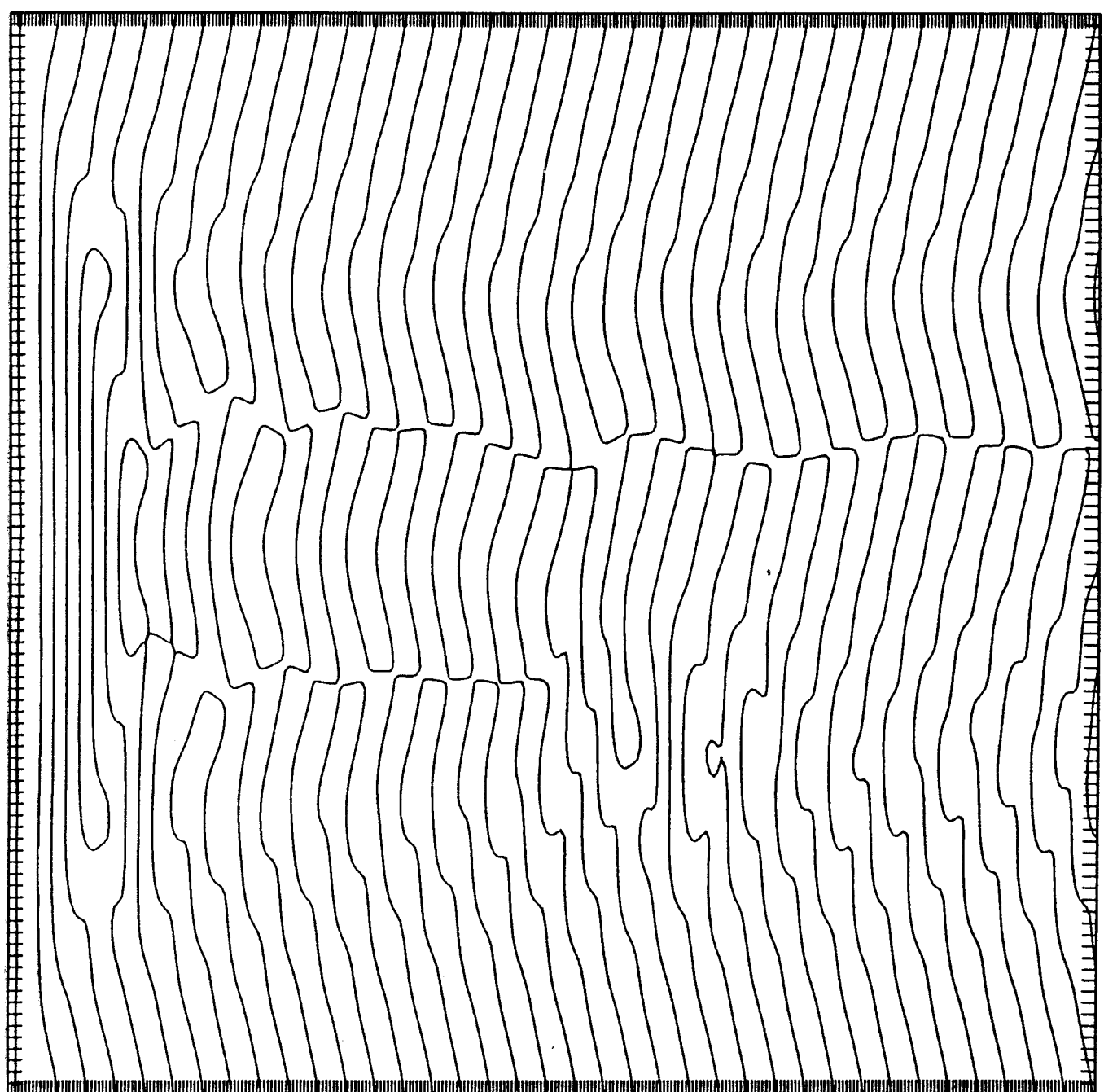
HT 05

-0.7727550E+00



HT 06

0.1285564E+00



CONTOUR FROM -1.0000 TO 1.0000 CONTOUR INTERVAL OF 1.0000 PT(3,3)= 0.59605E-02

HT 07 to HT 10: grey tones of real($A(t, z)$) at stages i2, i3, i4, i5 of the chevron instability development with (c_1, c_2)

The reorganization of “vortices” yielding the broken chevron is provisional in stage i3 (HT 08) and permanent in stage i4 (HT 09).

$L = 48$, c_0 adapted, $c_1 = -0.3, -0.175, -0.12, -0.1$, $c_2 = -2$, $dt = 0.2$, $pmax = 96$, $0 < t < 120$.

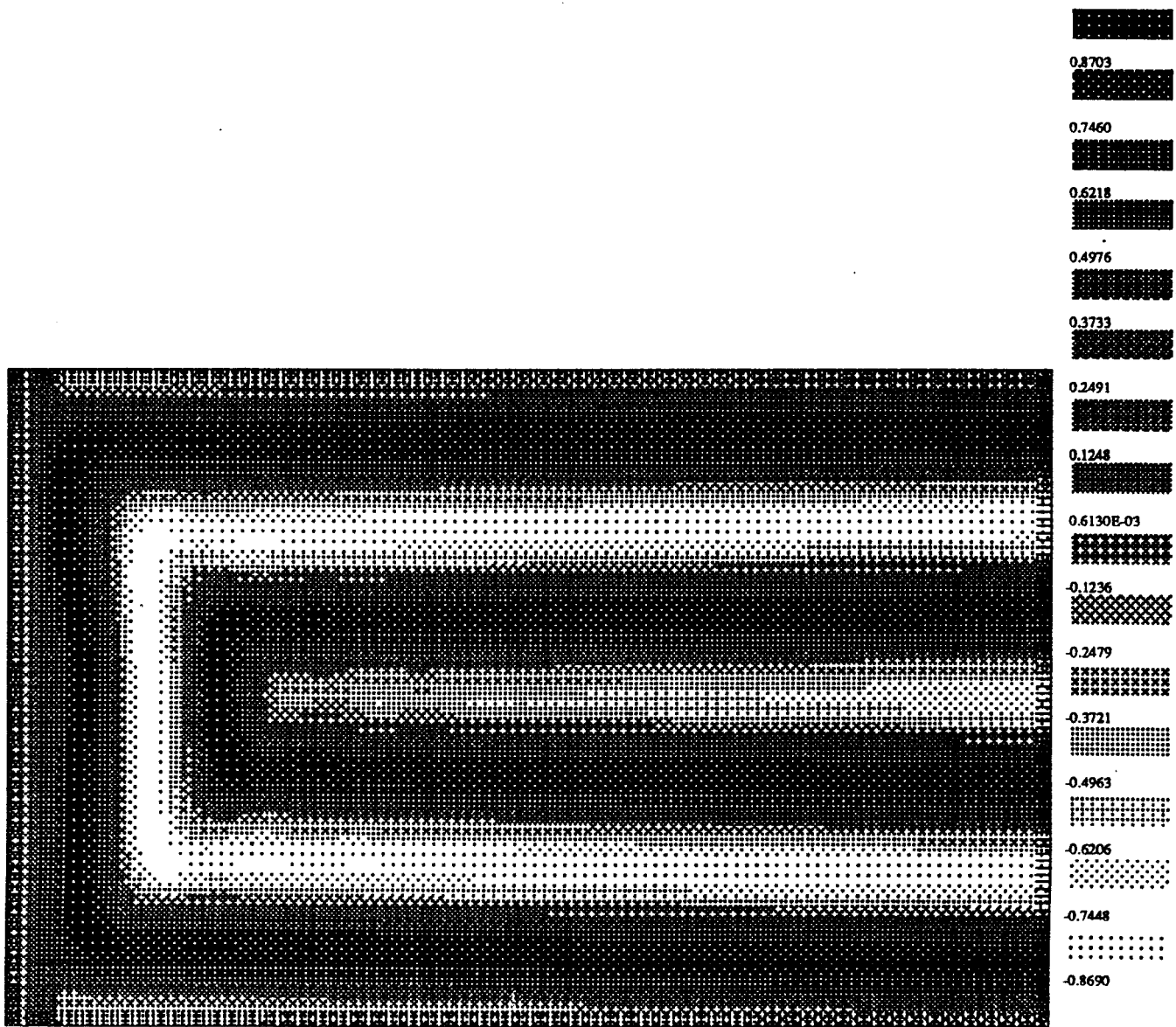
HT 07 à HT 10: tons de gris de $\text{real}(A(t, z))$ aux stades i2, i3, i4, i5 du développement de l'instabilité du chevron au cours d'une variation de (c_1, c_2)

La réorganisation de “vortex” responsable de la brisure du chevron est provisoire au stade i3 (HT 08) et permanente au stade i4 (HT 09).

$L = 48$, c_0 adapté, $c_1 = -0.3, -0.175, -0.12, -0.1$, $c_2 = -2$, $dt = 0.2$, $pmax = 96$, $0 < t < 120$.

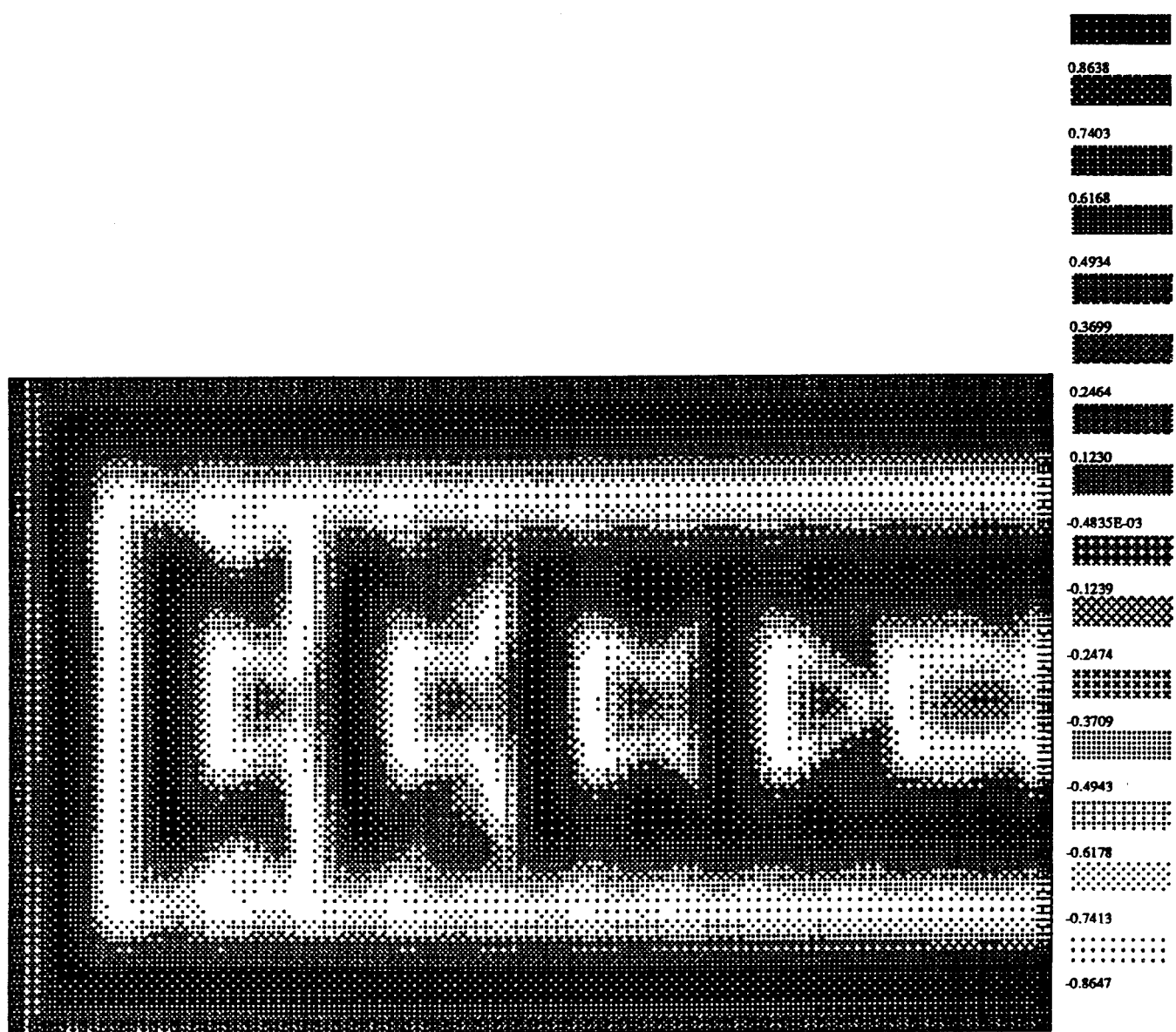
HT 07

-0.7316620E+00



HT 08

-0.3315220E+00



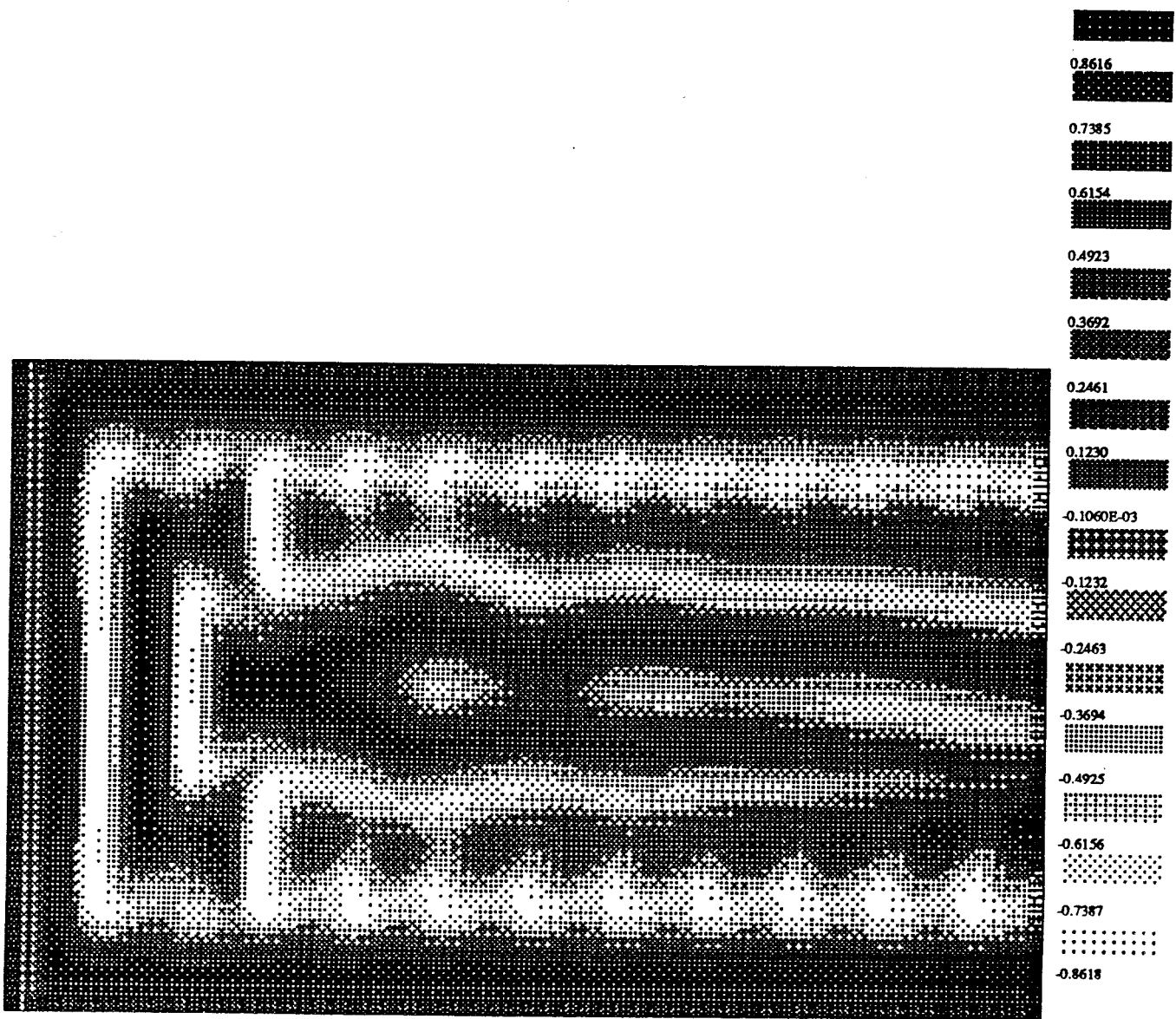
HT 09

0.4182790E+00



HT 10

0.2256470E+00



HT 11 to HT 20: development of the chevron instability with increasing L

$L = 24$ (HT 11, HT 16), 36 (HT 12, HT 17), 60 (HT 13, HT 18), 84 (HT 14, HT 19), 96 (HT 15, HT 20). The case $L = 48$ is presented on HT 05, HT 09.

Variable L , $c_0 = -1.41$ (adapted), $c_1 = -0.120$, $c_2 = -2.$, $dt = 0.2$, $pmax = 2 L$, $0 < t < 240$.

HT 16, HT 17, HT 18, HT 19, HT 20: lines $\text{real}(A(t, z)\exp(i \delta c_0 t)) \in \{-1, 0, +1\}$ are drawn with $\delta c_0 = 0.5$.

HT 11 à HT 20: développement de l'instabilité du chevron avec L croissant

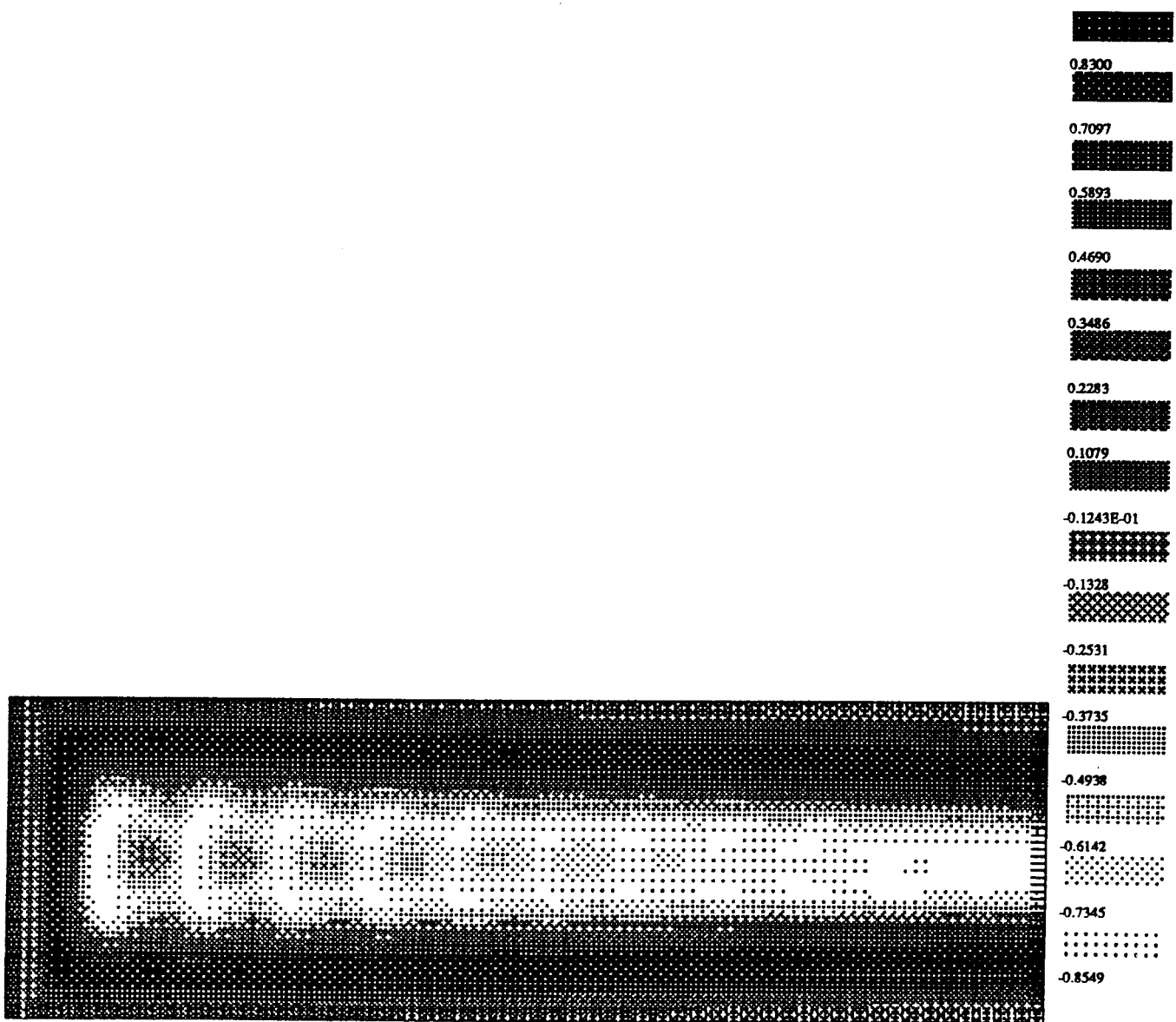
$L = 24$ (HT 11, HT 16), 36 (HT 12, HT 17), 60 (HT 13, HT 18), 84 (HT 14, HT 19), 96 (HT 15, HT 20). Le cas $L = 48$ est présenté en HT 05, HT 09.

Variable L , $c_0 = -1.41$ (adapté), $c_1 = -0.120$, $c_2 = -2.$, $dt = 0.2$, $pmax = 2 L$, $0 < t < 240$.

HT 16, HT 17, HT 18, HT 19, HT 20: on trace les lignes d'équation $\text{real}(A(t, z)\exp(i \delta c_0 t)) \in \{-1, 0, +1\}$, avec $\delta c_0 = 0.5$.

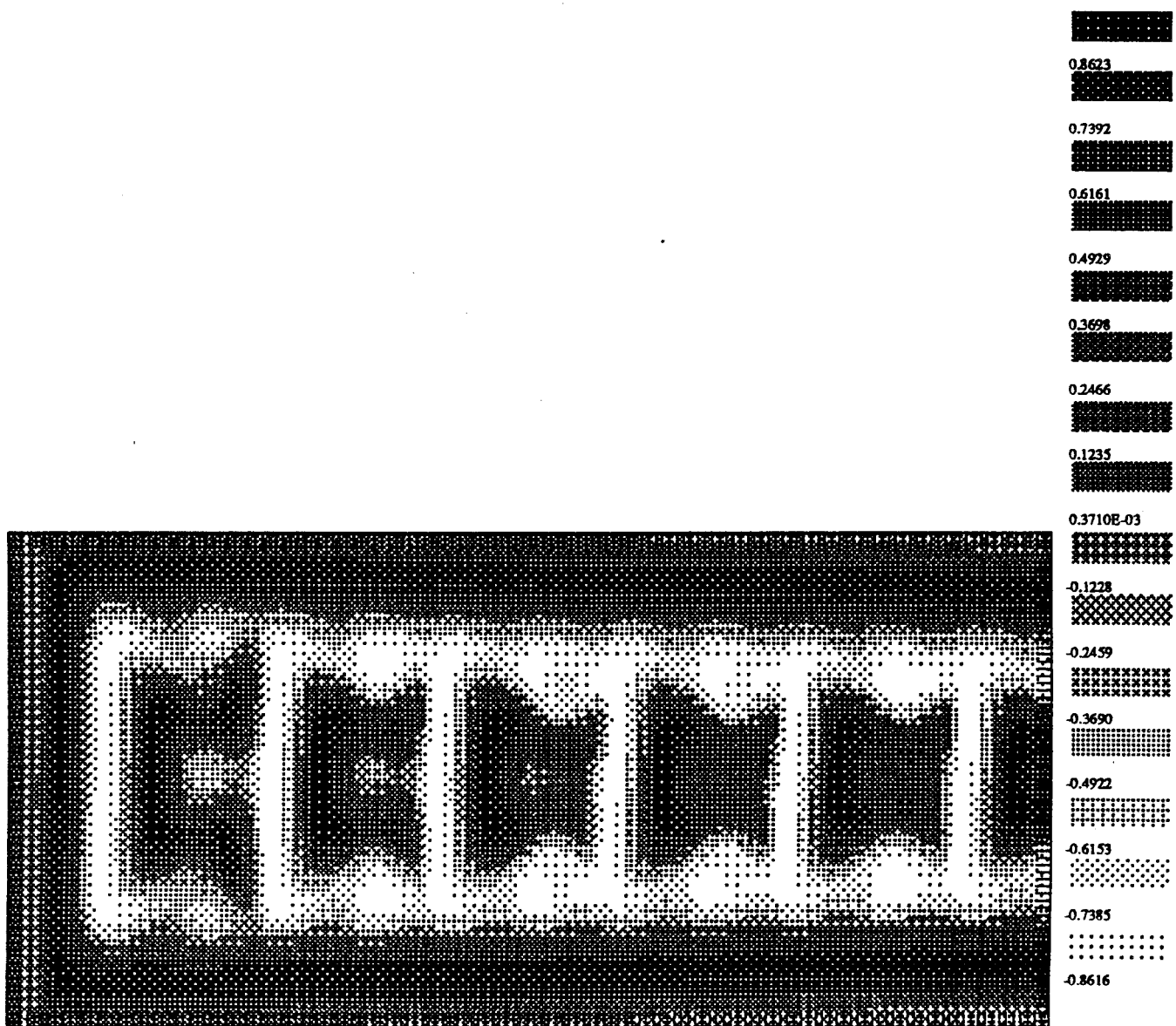
HT 11

-0.9007420E+00



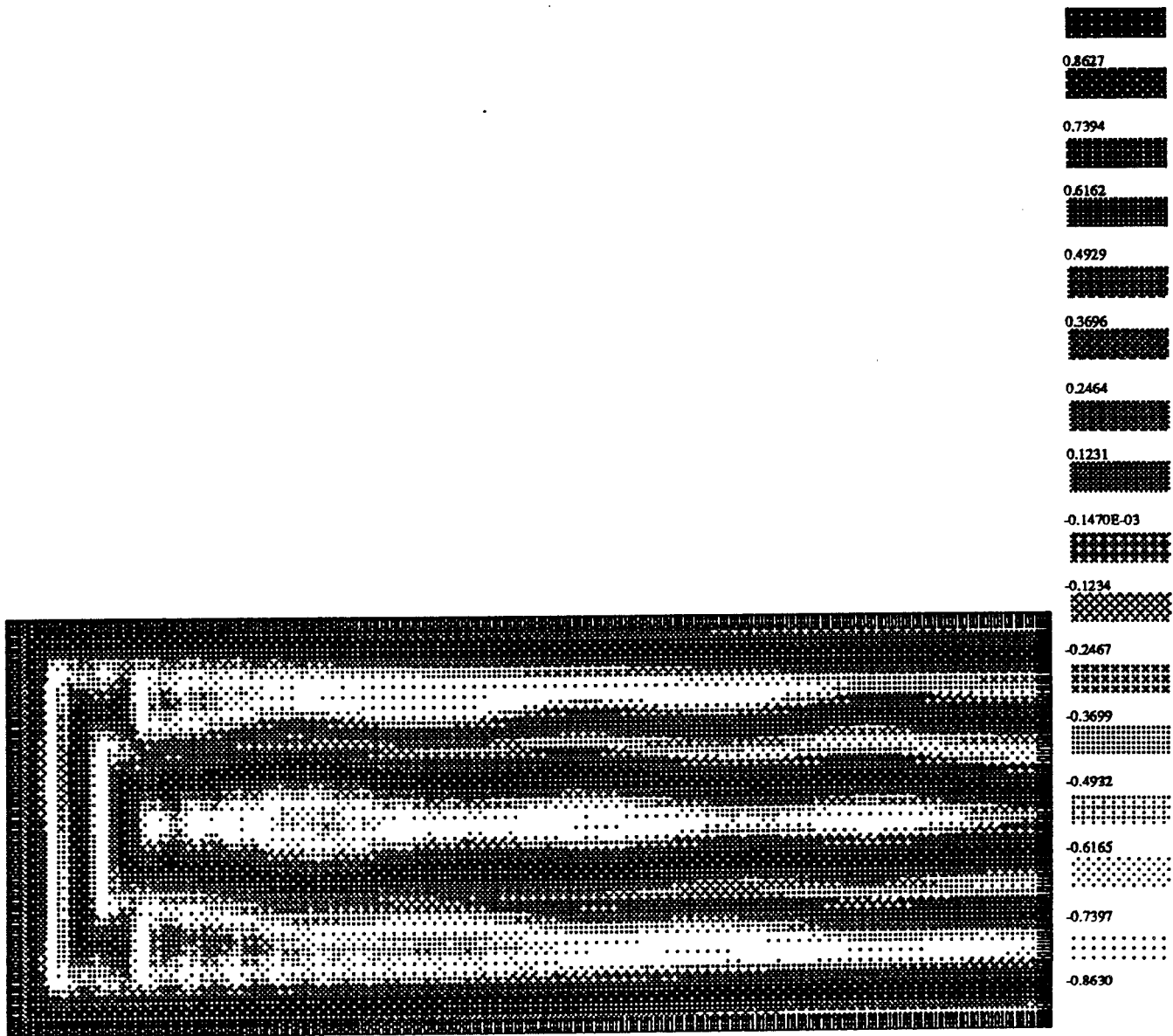
HT 12

0.3020400E+00



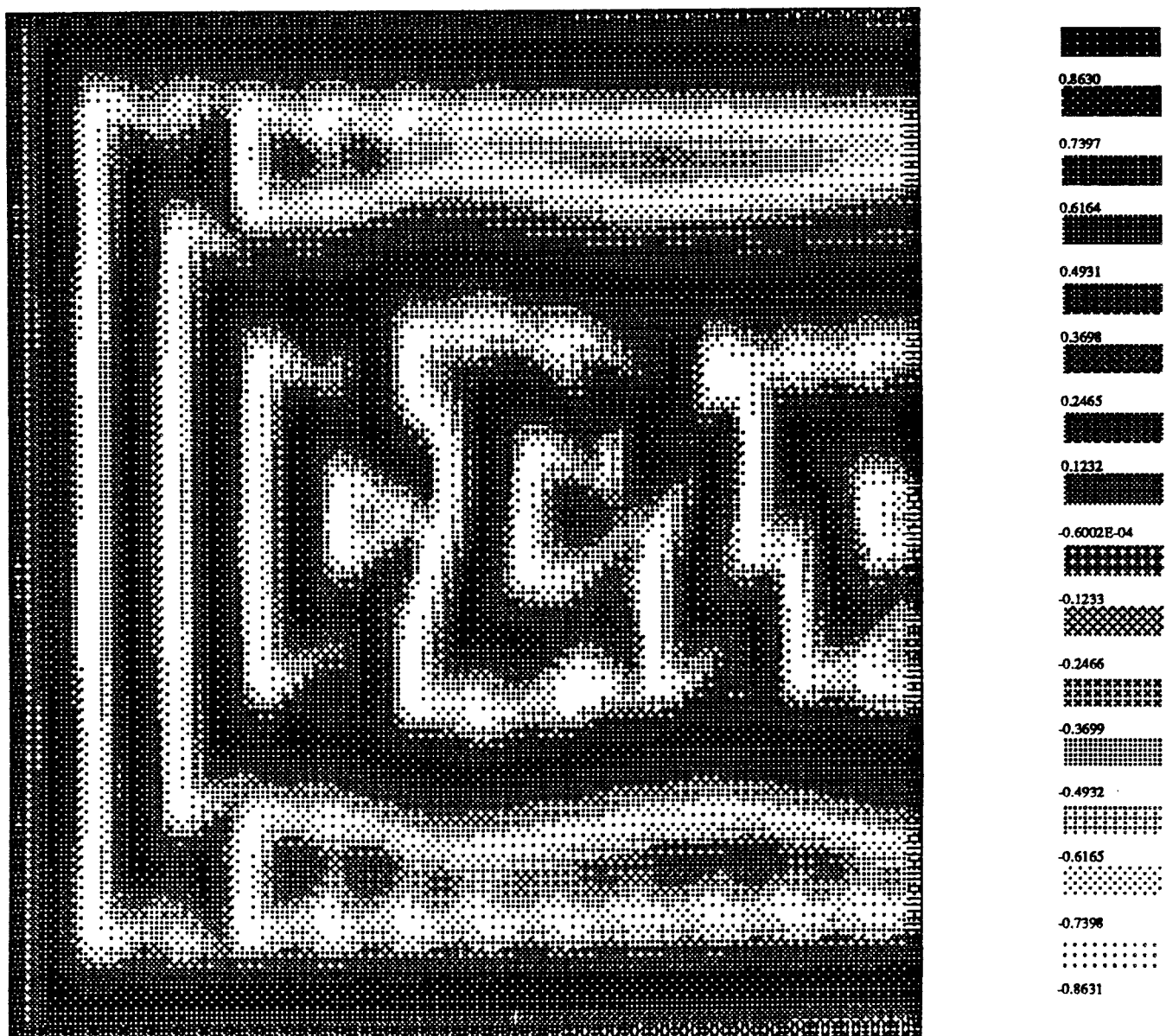
HT 13

-0.3279760E+00



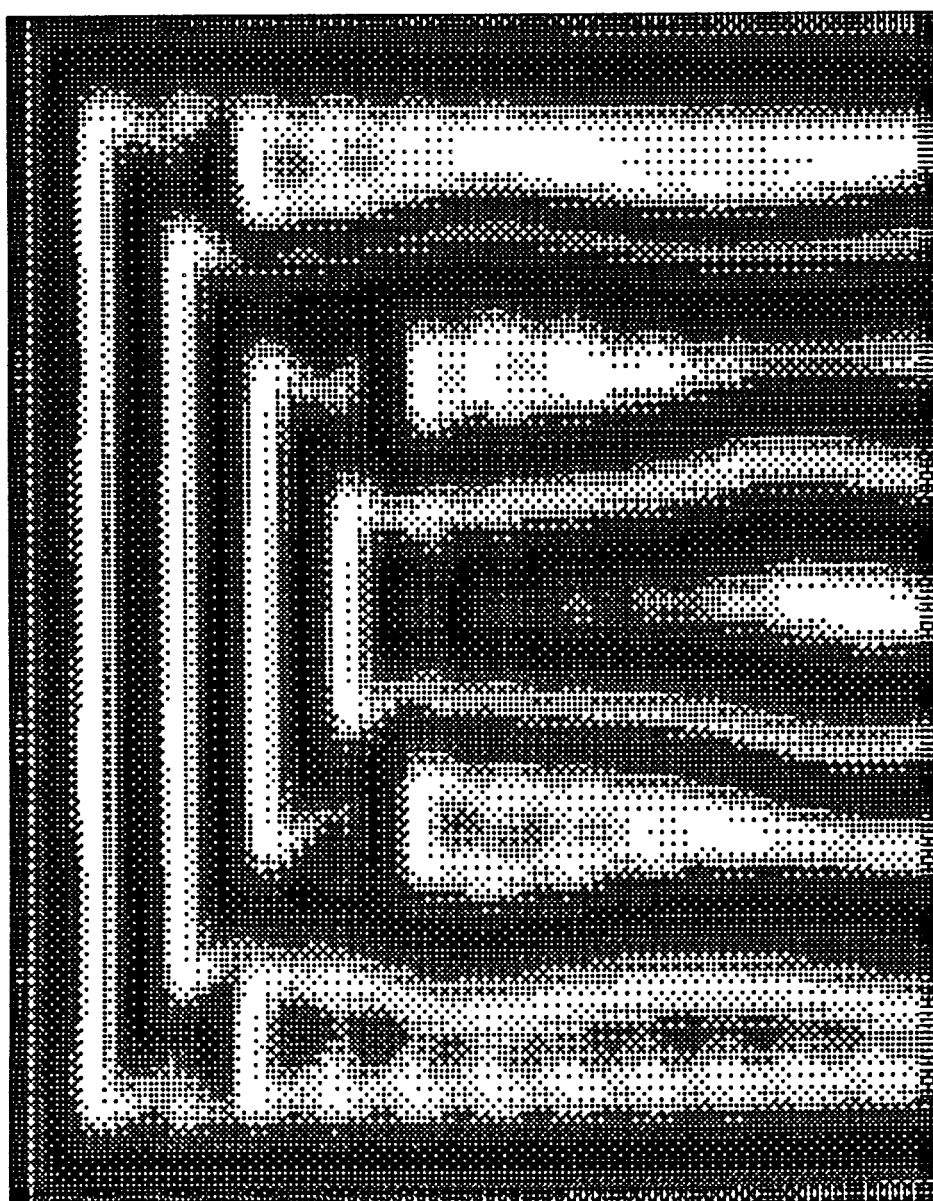
HT 14

-0.7956080E+00



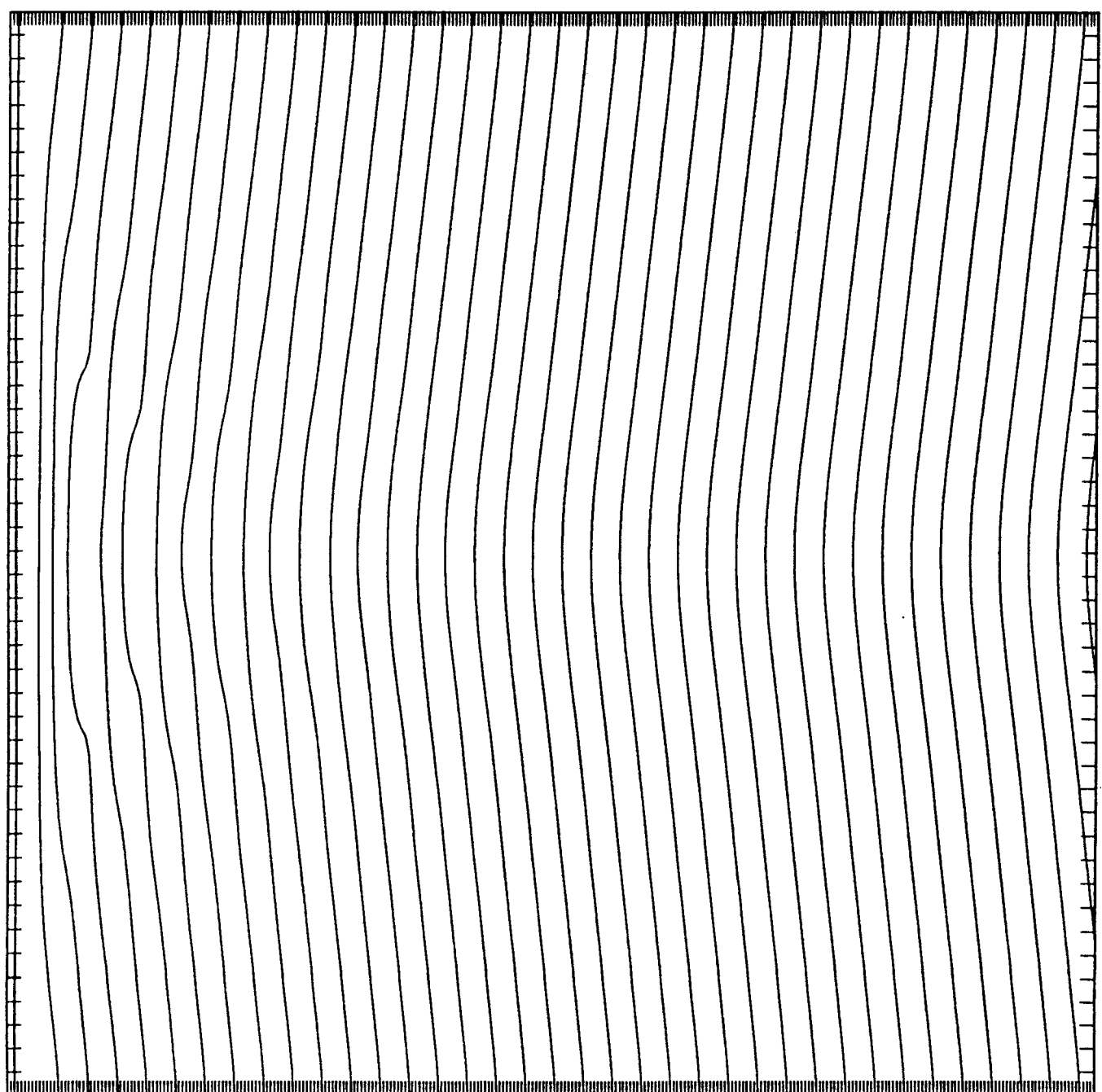
HT 15

-0.8395960E+00



HT 16

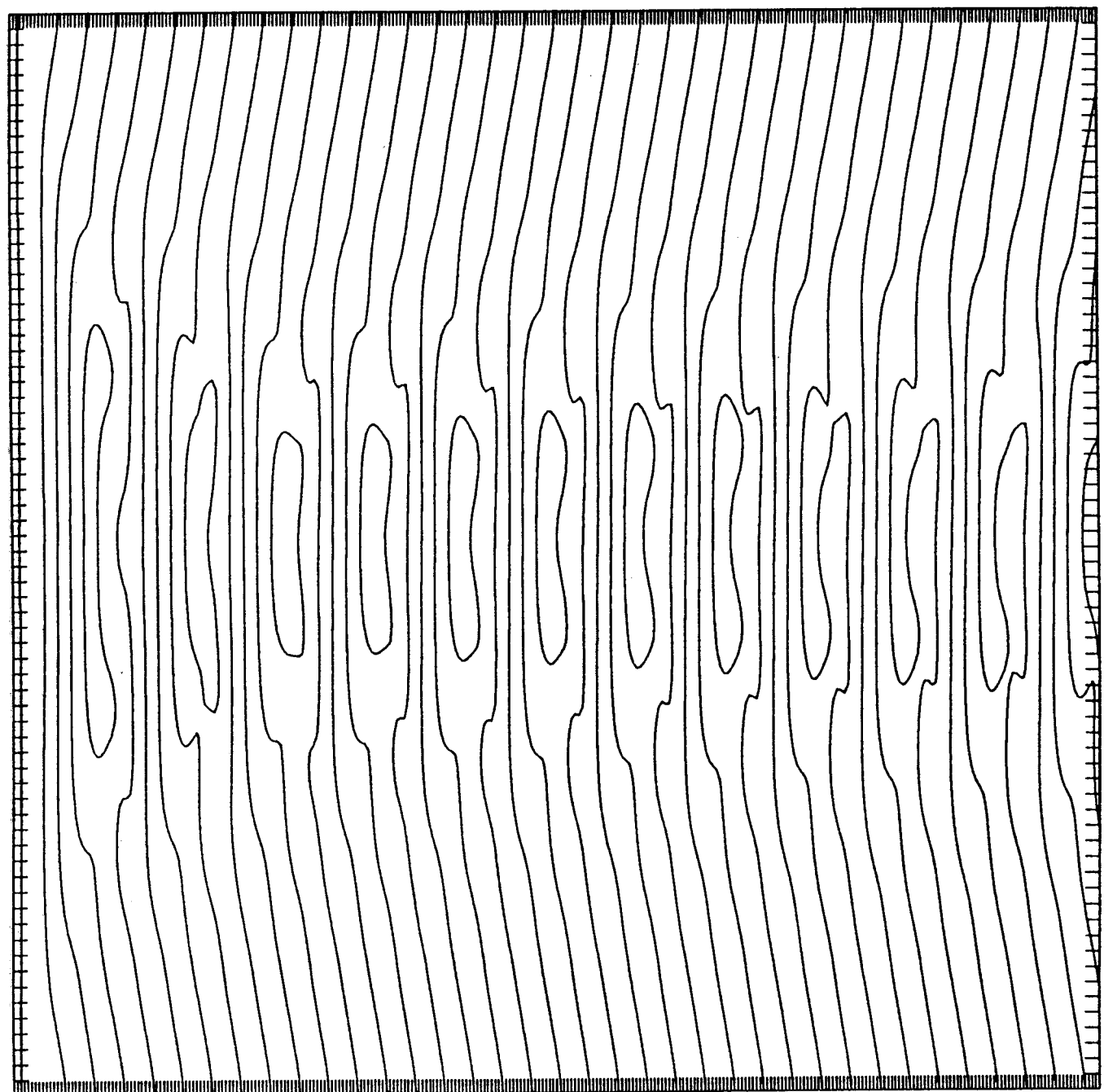
-0.8130994E+00



CONTOUR FROM -1.0000 TO 1.0000 CONTOUR INTERVAL OF 1.0000 PT(3,3)= 0.42222E-02

HT 17

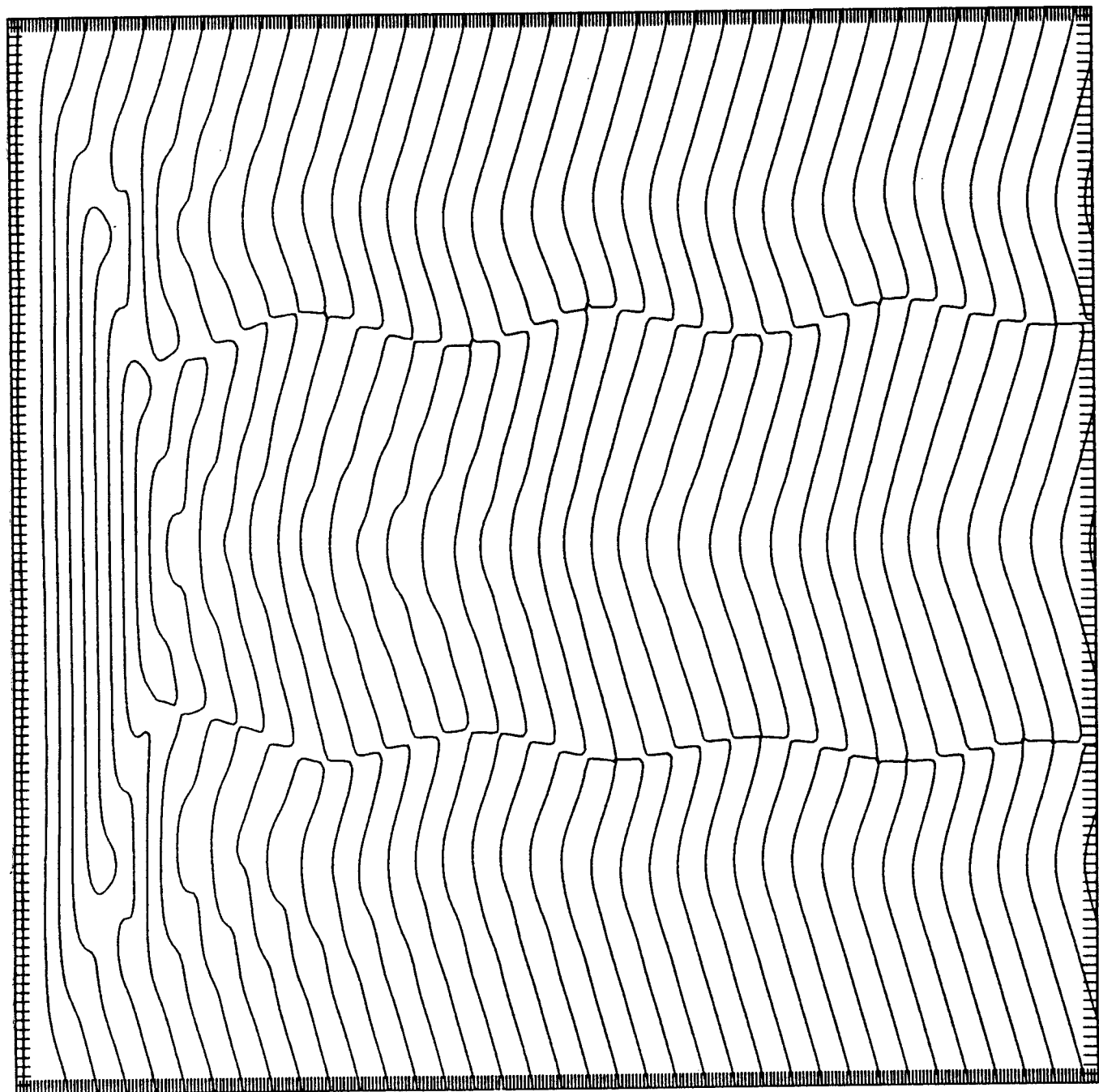
0.8728315E+00



CONTOUR FROM -1.0000 TO 1.0000 CONTOUR INTERVAL OF 1.0000 PT(3,3)= 0.422228-02

HT 18

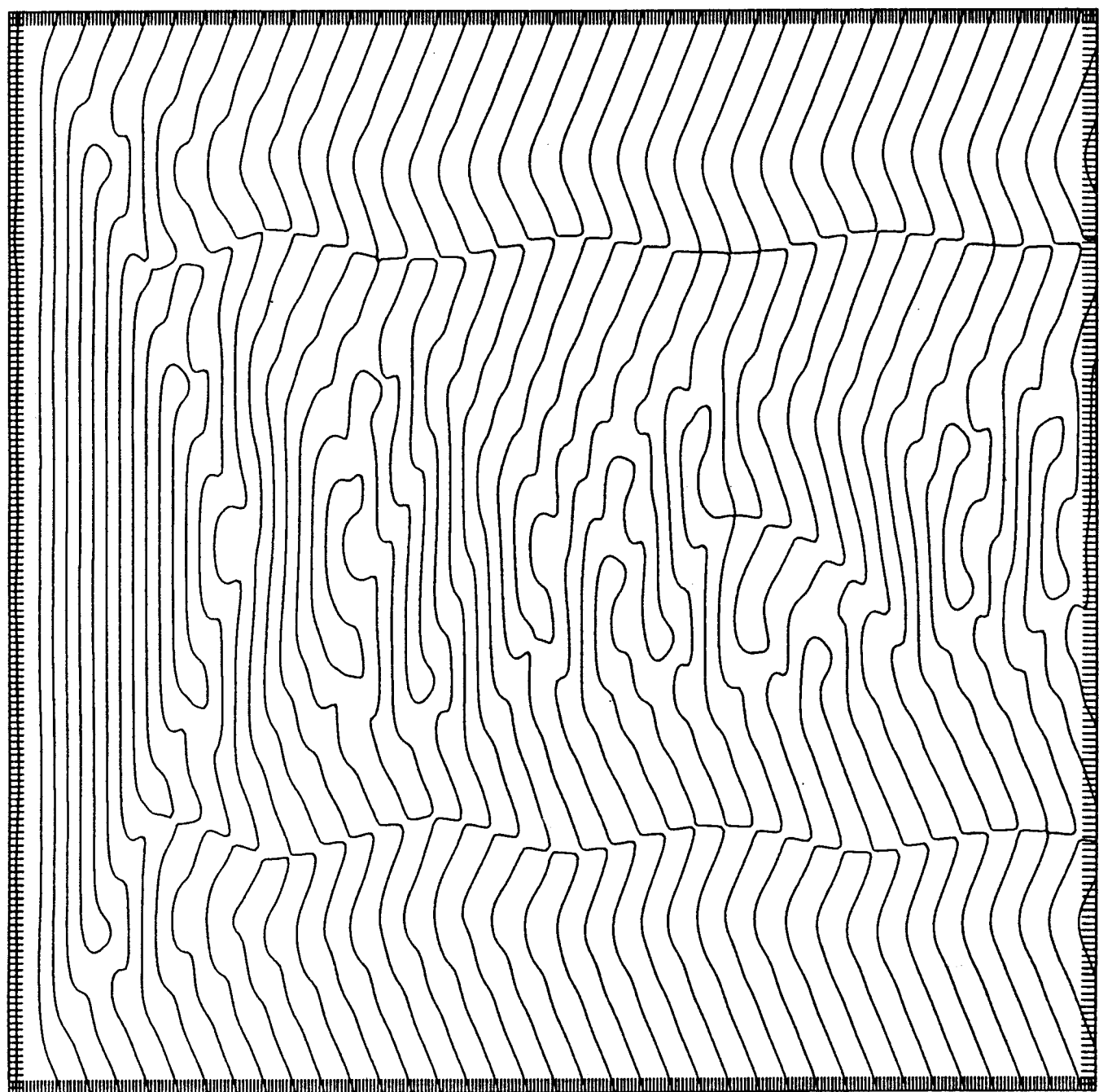
-0.5109238E+00



CONTOUR FROM -1.0000 TO 1.0000 CONTOUR INTERVAL OF 1.0000 PT(3,3)= 0.42222E-02

HT 19

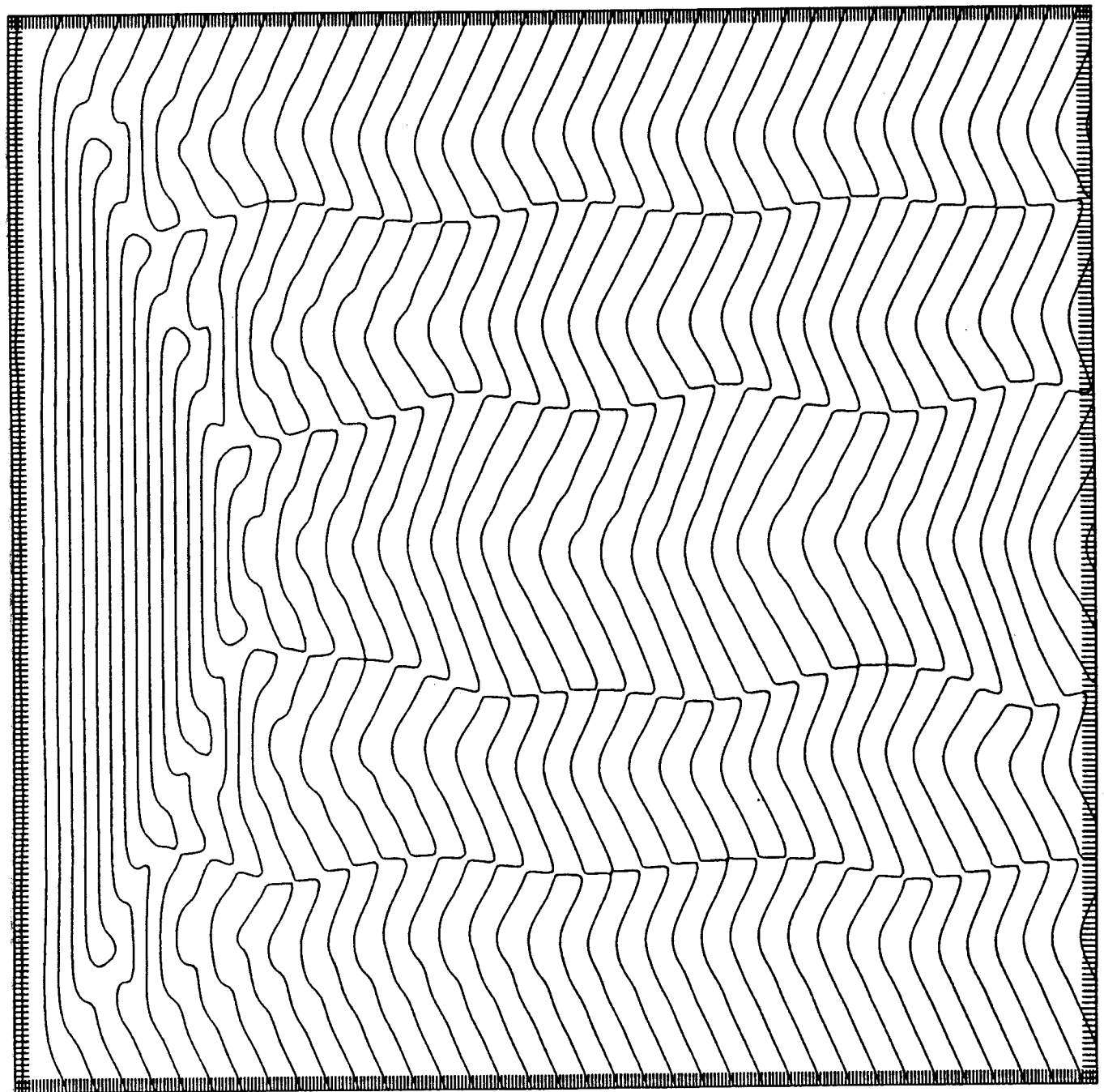
-0.8224109E+00



CONTOUR FROM -1.0000 TO 1.0000 CONTOUR INTERVAL OF 1.0000 PT(3,3)= 0.42222E-02

HT 20

-0.6582398E+00



CONTOUR FROM -1.0000 TO 1.0000 CONTOUR INTERVAL OF 1.0000 PT(3,3)= 0.42222E-02

HT 21: an unstable oblique plane wave with periodic boundary conditions ($\epsilon = 1$)

$q = 0.5$, $L = 2\lambda = 25.1327$, $c_0 = -1.46$, $c_1 = -0.175$, $c_2 = -2$, $dt = 0.2$, $pmax = 48$,
 $0 < t < 120$.

HT 21: une onde plane oblique avec des conditions aux limites périodiques ($\epsilon = 1$)

$q = 0.5$, $L = 2\lambda = 25.1327$, $c_0 = -1.46$, $c_1 = -0.175$, $c_2 = -2$, $dt = 0.2$, $pmax = 48$,
 $0 < t < 120$.

HT 21

-0.1563140E+00

